



مجلة فصلية محكمة تختص بالعلوم الطبيعية والهندسية

تصدر عن
العتبة العباسية المقدسة
مركز العميد الدولي للبحوث والدراسات

جازة من
وزارة التعليم العالي والبحث العلمي معتمدة لأغراض الترقية العلمية

السنة الثالثة، المجلد الخامس، العددان التاسع والعشر
رمضان ١٤٣٨ هـ، حزيران ٢٠١٧ م



الترقيم الدولي

ردمد: ٢٣١٢ - ٥٧٢١

ردمد الالكتروني: ٢٣١٣ - ٠٠٨٣

رقم الاداع في دار الكتب والوثائق العراقية ١٩٩٦ لسنة ٢٠١٤

كربغة المقدسة - جمهورية العراق

Mobile: +9647602355555

+9647719487257

<http://albahir.alkafeel.net>

Email: albahir@alkafeel.net

المشرف العام

السيد أحمد الصافي

رئيس التحرير

السيد ليث الموسوي

رئيس قسم الشؤون الفكرية والثقافية

المِيَاهُ الْأَسْتَشَارِيَّةُ

أ.د. رياض طارق العميدى - جامعة بابل - كلية التربية

أ. د. كريمة مجید زیدان - جامعة البصرة - كلية العلوم

أ.د. أحمد محمود عبد اللطيف - جامعة كربلاة - كلية العلوم

أ.د. سرحان حفاظ سلمان - جامعة القadesia - كلية التربية

أ. د. إيمان سمير عبد على دهية - جامعة بابل كلية التربية للعلوم الصرفة

أ. د. فاضل اسماعيل شراد الطائي - جامعة كربلاء - كلية العلوم

أ.د. شامل هادي - جامعة أوكلاند - الولايات المتحدة الأمريكية

مديري التحرير

أ. د. نورس محمد شهيد الدهان - جامعة كربلاء - كلية العلوم

سكرتير التحرير التنفيذي

م.م. حيدر حسين الاعرجي

سكرتير التحرير

رضوان عبد الهادي السلامي

هيئة التحرير

أ. د. افتخار مضر طالب الشرع - جامعة بابل - كلية التربية للعلوم الصرفة

أ. د. وسام سمير عبد علي بهية - جامعة بابل - كلية تكنولوجيا المعلومات

أ. د. شوقي مصطفى علي الموسوي - جامعة بابل - كلية الفنون الجميلة

أ. حيدر غازى الموسوى - جامعة بابل - كلية التربية

أ.م. د. حيدر حميد محسن الحميداوي - جامعة كربلاء - كلية العلوم

Prof. Dr. Zhenmin Chen

Department of Mathematics and Statistics, Florida International University, Miami, USA.

Prof. Dr. Adrian Nicolae BRANGA

Department of Mathematics and Informatics, Lucian Blaga University of Sibiu, Romania.

Prof. Dr. Akbar Nikkhah

Department of Animal Sciences, University of Zanjan, Zanjan 313-45195Iran, Iran.

Prof. Dr. Khalil EL-HAMI

Material Sciences towards nanotechnology University of Hassan 1st, Faculty of Khouribga, Morocco, Morocco.

Prof. Dr. Wen-Xiu Ma

Department of Mathematics at University of South Florida, USA.

Prof. Dr. Mohammad Reza Allazadeh

Department of Design, Manufacture and Engineering Management, Advanced Forming Research Centre,
University of Strathclyde, UK.

Prof. Dr. Norsuzailina Mohamed Sutan

Department of Civil Engineering, Faculty of Engineering, University Malaysia Sarawak, Malaysia.

Prof. Ravindra Pogaku

Chemical and Bioprocess Engineering, Technical Director of Oil and Gas Engineering, Head of Energy Research Unit, Faculty of Engineering, University Malaysia Sabah (UMS), Malaysia.

Prof. Dr. Luc Avérous

BioTeam/ECPM-ICPEES, UMR CNRS 7515, Université de Strasbourg, 25 rue Becquerel, 67087, Strasbourg Cedex 2, France, France.

Asst. Prof Dr. Ibtisam Abbas Nasir Al-Ali

College of Science, University of Kerbala, Iraq.

Prof. Dr. Hongqing Hu

Huazhong Agricultural University, China.

Prof. Dr. Stefano Bonacci

University of Siena, Department of Environmental Sciences, Italy.

Prof. Dr. Pierre Basmaji

Scientific Director of Innovatecs, and Institute of Science and technology, Director-Brazil, Brazil.

Asst. Prof. Dr. Basil Abeid Mahdi Abid Al-Sada

College of Engineering, University of Babylon, Iraq.

Prof. Dr. Michael Koutsilieris

Experimental Physiology Laboratory, Medical School, National & Kapodistrian University of Athens. Greece.

Prof. Dr. Gopal Shankar Singh

Institute of Environment & Sustainable Development, Banaras Hindu University, Dist-Varanasi-221 005, UP, India, India.

Prof. Dr. MUTLU ÖZCAN

Dental Materials Unit (University of Zurich, Dental School, Zurich, Switzerland), Switzerland.

Prof. Dr. Devdutt Chaturvedi

Department of Applied Chemistry, Amity School of Applied Sciences, Amity University Uttar Pradesh, India.

Prof. Dr. Rafat A. Siddiqui

Food and Nutrition Science Laboratory, Agriculture Research Station, Virginia State University, USA.

Prof. Dr. Carlotta Granchi

Department of Pharmacy, Via Bonanno 33, 56126 Pisa, Italy.

Prof. Dr. Piotr Kulczycki

Technical Sciences; Polish Academy of Sciences, Systems Research Institute, Poland.

Prof. Dr. Jan Awrejcewicz

The Lodz University of Technology, Department of Automation, Biomechanics and Mechatronics, Poland, Poland.

Prof. Dr. Fu-Kwun Wang

Department of Industrial Management, National Taiwan University of Science and Technology , Taiwan.

Prof. Min-Shiang Hwang

Department of Computer Science and Information Engineering, Asia University, Taiwan, Taiwan.

Prof. Dr. Ling Bing Kong

School of Materials Science and Engineering, Nanyang Technological University Singapore Singapore.

Prof. Dr. Qualid Hamdaoui

Department of Process Engineering, Faculty of Engineering, Badji Mokhtar-Annaba University, P.O. Box 12, 23000 Annaba, Algeria, Algeria.

Prof. Dr. Abdelkader azarrouk

Mohammed First University, Faculty of Sciences, Department of Chemistry, Morocco.

Prof. Dr. Khalil El-Hami

Laboratory of Nano-sciences and Modeling, University of Hassan 1st, Morocco, Morocco.

Assist. Prof. Dr. Abdurahim Abduraxmonovich Okhunov

Department of Science in Engineering, Faculty of in Engineering, International Islamic University of Malaysia, Uzbekistan.

Dr. Selvakumar Manickam

National Advanced IPv6 Centre, University Sains Malaysia, Malaysia.

Dr. M.V. Reddy

1Department of Materials Science & Engineering, 02 Department of Physics, National University of Singapore, Singapore.

التدقيق اللغوي

أ.م.د . أمين عبيد الدليمي -جامعة بابل - كلية التربية - مقوم اللغة العربية

الادارة المالية

الادارة الالكترونية

سامر فلاح الصافي

محمد جاسم عبد إبراهيم

عقيل عبد الحسين الياسري
ضياء محمد حسن النصراوي

التصميم والإخراج الفني

حسين علي شمران

الادارة التنفيذية

محمد جاسم شعلان

حسنين صباح العكيلي

قواعد النشر في المجلة

مثلياً يرحب العميد أبو الفضل (عليه السلام) بزائريه من أطيف الإنسانية، تُرحب مجلة الباهر بنشر البحوث العلمية على وفق الشروط الآتية:

١. ان يكون البحث في مجالات العلوم المتنوعة التي تلتزم بمنهجية البحث العلمي وخطواته المتعارف عليه عالمياً ومكتوبة بإحدى اللغتين العربية أو الانكليزية.

2. أن لا يكون البحث قد نشر سابقاً وليس مقدماً إلى أية وسيلة نشر أخرى، وعلى الباحث تقديم تعهد مستقل بذلك.

3. أن تحتوي الصفحة الأولى من البحث على عنوان البحث، واسم الباحث أو الباحثين، وجهة العمل، ورقم الهاتف باللغتين العربية والإنكليزية والبريد الإلكتروني مع مراعاة عدم ذكر اسم الباحث أو الباحثين في متن البحث أو اية اشارة إلى ذلك. وفي حالة كون البحث باللغة العربية تأتي بعد الفقرات اعلاه الخلاصة باللغة الإنكليزية تتبعها الكلمات المفتاحية باللغة الإنكليزية، ومن ثم الخلاصة باللغة العربية تتبعها الكلمات المفتاحية باللغة العربية ثم بقية فقرات البحث، أما اذا كان البحث باللغة الإنكليزية ف تكون بعد فقرات العنوان والاسماء والعنوانين الخلاصة باللغة العربية تتبعها الكلمات المفتاحية باللغة العربية ايضاً، ثم الخلاصة باللغة الإنكليزية تتبعها الكلمات المفتاحية باللغة الإنكليزية ثم بقية فقرات البحث.

٤. ترسل البحوث الى المجلة الكترونياً على الموقع الالكتروني للمجلة albahir.alkafeel.net او albahir@alameedcenter.iq .
عبرَ ملء إستمارة إرسال البحوث بنسختين الأولى كاملة والثانية محذوف منها الاسم والعنوان للباحث (الباحثين) بصيغة مستند Word .

5. اعداد الصفحة (2 سم للجهات الاربع للصفحة).

6. يكون نوع الخط Time new roman للغة الانكليزية و Simplified Arabic للغة العربية، وحجم الخط لعنوان البحث الرئيس (16 غامق) اما العناوين الثانوية (14 غامق) ومادة البحث (14).

7. نوع الفقرة single مسافة بادئة خاص (بلا) قبل النص : (0) بعد النص (0) تباعد الاسطر (مفرد) قبل النص (0) بعد النص (0).

8. عدم استعمال الاطارات و الزخارف وتكون جميع الارقام باللغة الانكليزية حتى في البحوث المكتوبة باللغة العربية .

٩. عند كتابة رقم في متن البحث يكون الرقم بين قوسين، وبعده وحدة القياس بدون اقواس مثلاً cm (10) أو (10) سم.

10. تذكر المصادر في البحث باتباع اسلوب الترقيم بحسب اسبقية ذكر المصدر وتذكر المصادر في نهاية البحث، حسب التسلسل

- واعتهد طريقة كتابة البحوث حسب الطريقة (MLA) كما في المثال التالي:-

اسم المؤلف / المؤلفون، اسم المجلة رقم المجلد، الصفحات من - إلى، (السنة).

وللغة الانكليزية تكون نفس الصيغة اعلاه بمجرد البدأ من اليسار. أما في متن البحث فلا يكتب رقم المصدر بصيغة الـ **Superscript** وإنما يكتب بنفس نمط الكتابة بالشكل [رقم المصدر]. وفي حالة كتابة أكثر من رقم بحث في نهاية الفقرة

الواحدة تكتب جميعها داخل القوس مع وضع فوارز بينها [رقم المصدر ، رقم المصدر] .

- 11. اسم الشكل يكتب تحته متمركزاً بحجم خط (12 غامق) ويكون للغتين الانكليزية والعربية كما يلي:-

اسمها أو توضيح محتواه: (رقم الشكل)

شكل (رقم الشكل): اسمه او توضيح محتواه

-اما الجدول فيكون عنوانه فوقه متمركاً بحجم خط (12 غامق) ويكون للغتين الانكليزية والعربية كما يأتي:-

اسمه أو توضيح محتواه: (رقم الجدول)
جدول (رقم الجدول): اسمه أو توضيح محتواه

12. تكون الرسوم والصور والمخططات ملونة واضحة ذات دقة عالية مع مراعاة وضعها في مربع نص ويراعى عدم استعمال scan في الاشكال البيانية.

13. تكتب الموسماً ان وجدت في نهاية البحث قبل المصادر.

14. اينما وردت الكلمة Figure في متن البحث تكتب بالشكل Fig. وبعدها رقم الشكل بين قوسين وتكتب الكلمة table بحرف T كبير اينما وردت ايضاً.

15. لا تتجاوز عدد الصفحات (25) صفحة.

16. تكتب معادلات الرياضيات على وفق برنامج Math Type

17. تعبّر الأفكار المنشورة في المجلة عن آراء كاتبيها ولا تعبر بالضرورة عن وجهة نظر جهة الإصدار ويخضع ترتيب البحوث المنشورة لوجبات فنية.

18. تخضع البحوث لبرنامج الاستلال من الانترنت وكذلك لتقويم سري لبيان صلاحيتها للنشر وتكون الآلية كما يأتي:-

أ- يبلغ الباحث بتسلّم بحثه خلال مدة أقصاها أسبوعان من تاريخ التسلّم .

ب- يعاد البحث إلى الباحث فوراً في حال عدم مطابقته لشروط اعلاه.

ت- يخطر أصحاب البحوث المقبولة للنشر بموافقة هيئة التحرير على نشرها .

ث- البحث التي يرى المقومون وجوب إجراء التعديلات أو إضافات عليها قبل نشرها، تعاد إلى أصحابها مع الملاحظات المحددة كي يعملوا على إجراء التعديلات بصورة نهائية خلال مدة أقصاها (أربعة أسابيع) من تاريخ إرسال التعديلات.

ج- يبلغ الباحث في حال الإعتذار عن نشر بحثه.

ح- يمنح كل باحث نسخة واحدة من العدد الذي نشر فيه بحثه .

19. يراعى في أسبقيّة النشر :

أ- البحوث المشاركة في المؤتمرات التي تقيمها جهة الإصدار .

ب- تاريخ استلام البحث.

ت- تاريخ قبول البحث للنشر.

ث- أهمية البحث وأصالته.

ج- تنوع اختصاصات البحوث الصادرة في العدد.

20. على الباحثين إجراء التعديلات المطلوبة من قبل الخبراء العلميين واللغويين

21. ملء التعهد الخاص بالجامعة الذي يتضمن حقوق النشر الخاصة بمجلة الباهر العلمية ومراعاة شروط الأمانة العلمية في كتابة البحث.

No:

٤٠٢١ / ب ت ٤

Date:

٢٠١٥/٥/١٨

العتبة العباسية المقدسة / مركز العميد للدراسات والبحوث

م / مجلة الباهر

السلام عليكم ورحمة الله وبركاته...

استناداً إلى آلية اعتماد المجلات العلمية الصادرة عن مؤسسات الدولة، وبناءً على توافر شروط اعتماد المجلات العلمية لأغراض الترقية العلمية في "مجلة الباهر" الصادرة عن مركزكم تقرر اعتمادها كمجلة علمية محكمة ومعتمدة للنشر العلمي والترقية العلمية .

... مع التقدير



نسخة منه إلى //

- مكتب السيد المدير العام / إشارة إلى موافقة سعادته بتاريخ ٢٠١٥/٥/١٧ / للتفضل بالاطلاع ... مع التقدير .
- قسم الشؤون العلمية/ شعبة التأليف والنشر والترجمة
- الصادرة

بِسْمِ اللَّهِ الرَّحْمَنِ الرَّحِيمِ

كلمة العدد

رب اشرح لي صدري، ويسر لي امري، واحلل عقدة من لسانني يفقهوا
قولي والحمد لله رب العالمين وصل اللهم على محمد وال محمد الطيبين
الطاہرین.

هذا عدد جديد من مجلة الباهر العلمية المحكمة، وقد تضمن مجموعة
من الابحاث ذات الصلة بالعلوم الطبيعية والهندسية، ونأمل منها ان تسد
ثغرة علمية يرقبها المتخصصون، وتؤشر ظاهرة علمية تستحق العناية
يتأملها الباحثون. وقد حرصنا على تنوع الموضوعات بتتنوع البحوث
والخصائص تلبية لطموح القراء والتابعين لهذه المجلة، التي باتت اليوم
وهيئه القائمين عليها اشرافا وتحريرا تسعى - وقد قطعت شوطا لا يأس به
- الى تحقيق امال الباحثين ولا سيما من يجتهد للنشر في مجلة الباهر للاهتمام
بدار نشر عالمية لتلتتحق بمصاف المجالات العلمية العالمية.

ونحن في هذه المناسبة نجدد العهد والوفاء لكل من يراقب بمحبة واهتمام
اصداراتنا - في مركز العميد الدولي للبحوث والدراسات التابع الى قسم
الشؤون الفكرية والثقافية في العتبة العباسية المقدسة - على السعي الحيث
والدائى للوصول الى كل ما ينشط الحراك العلمي والبحث الاكاديمي في
ربوع عراقنا والامة املا بخلق جيل جديد من البحث يواكب تطورات
المراحل العلمية الراهنة ويلبي طموح الباحثين والمتخصصين داخل العراق
وخارجه.

والحمد لله رب العالمين من قبل ومن بعد.

عمر حمد شهاب *, تغريد هاشم النور
قسم الكيمياء، كلية التربية للبنات، جامعة
الأنبار، العراق.
*قسم الكيمياء، كلية التربية ابن الهيثم، جامعة
بغداد، العراق.

استخدام الأطيان المحلية في العراق (طين الخاوة) في صناعة الصابون
وكريمات الوجه وأصباغ الشعر 17

علي خلف حسن، نجم عبد عسکوري، وفاء سالم طكب
قسم الفيزياء، كلية التربية للبنات، جامعة
الковفة، العراق.

تهجين إشعاعات كاما المنبعثة من نوافذ الانشطار (^{90}Sr , ^{60}Co) من
وقود UO_2 المحترق داخل مفاعل PWR 27

احمد علي محسن
متوسطة الرياض للبنين، مديرية التربية ببغداد
الرصفة الاولى، بغداد، العراق.

تحليل الاستقرارية الكلية لنظام رياضي يصف ظاهرة إنتشار
وباء التدخين بين طلاب المدارس الثانوية والمتضمن مصادر
خارجية مؤثرة ومساعدته على إنتشار الوباء 51

إسراء عبد الحسن حمدان و فرحان علي عبيد
قسم علوم الحياة، كلية التربية للعلوم الصرفة،
جامعة المثنى، المثنى، المثنى، العراق.

تأثير نوع الولادة وجنس الحمل في التركيب الكيميائي
لحليل الأغنام العربية 65

سفيان هزاع علي
قسم الكهرباء، كلية الهندسة، جامعة تكريت،
العراق.

تحليل عمل المرشح المتكيف وتميز المنظومات باستخدام
خوارزمية مربع المتوسط الأصغر (LMS) 73

وفاء صادق ألوzioni و سلطان كريم سلطان
قسم علوم الحياة، كلية العلوم، جامعة كربلاء،
العراق.

تأثير بعض المضادات الديوية على مستوى الكلاوبيولين
Ag في إدراز مرضي خمج السبيل البولي 83

غافل كريم اسود و محمد نعمه احمد الغانمي
قسم الهندسة المدنية، كلية الهندسة، جامعة
كربلاء، العراق

بناء نموذج رياضي للتنبؤ بعدد أيام التوقف عن العمل في
مشاريع المدارس في محافظة بغداد 97

الله



استخدام الأطيان المحلية في العراق (طين الخاوة) في صناعة الصابون وكريمات الوجه وأصباغ الشعر

عمر حمد شهاب ، * تغريد هاشم النور

قسم الكيمياء، كلية التربية للبنات، جامعة الانبار، العراق.

*قسم الكيمياء، كلية التربية ابن الهيثم، جامعة بغداد، العراق.

تاريخ الاستلام: 2015 / 8 / 23

تاريخ قبول النشر: 2016 / 9 / 15

Abstract

The research includes the used of the most clay available in Iraq (in the Western Region and Northern Region) is Mud Khaoh which cheap and available in the market and there are two Types (white color and type green color) have been working on making a number of mixtures important therapeutic kind of white color which gave amazing results compared with those imported and sold high amounts and mixtures of these can be summarized as follows:

Aseptic and antiseptic soap that gave results against pathogenic bacteria.

Face cream which is used to moisturize the skin, lightening color, remove red pimples and give freshness to the face.

Hair cream is used to soften the hair, give it shine, helps with lengthened treatment of skin infections and allergies that affect the scalp.

Keywords

Montmorillonite, Clay, Soap, Hair Cream

الخلاصة

تضمن البحث على استخدام أهم الأطيان المتوفرة في العراق (المنطقة الغربية والمنطقة الشمالية) وهو الطين خاوية والتي تكون رخيصة ومتوفرة في الأسواق وهناك نوعين (النوع الأبيض اللون والنوع الأخضر اللون) تم العمل على صناعة عدد من الخلطات المهمة علاجياً من النوع الأبيض اللون التي أعطت نتائج مذهلة مقارنة بمثيلاتها المستوردة والتي تباع بـمبالغ مرتفعة ويمكن تلخيص هذه الخلطات كما يلي:

- (A) صابون مطهر ومعقم وأعطى نتائج ضد البكتيريا المرضية.
- (B) كريم للوجه الذي يستخدم لترطيب الجلد مع تفتيح اللون وتنعيمه وإزالة الحبوب الحمراء البشرة فيعطي صفاءً ونضاراً للوجه.
- (C) كريم للشعر يستعمل لتنعيم الشعر وإعطاءه لمعاناً ويساعد على إطالته مع علاج الالتهابات الجلدية والحساسية التي تصيب فروه الرأس.

الكلمات المفتاحية

طين الخاوية، الطين، الصابون، كريمة الشعر

نواعين بأساسين معدنيين أما صوديوم أو كالسيوم والأول هو الأفضل ذو فوائد عديدة بعكس الثاني الذي تكون تطبيقاته أقل ويمكن تحويله بسهولة باستبدال الكالسيوم بالصوديوم بعملية سهلة بمعاملة البنتونايت الخام ذو أساس الكالسيوم بالصودا الكاوية فيتحول إلى النوع المرغوب والصناعات التي يدخل بها (الشامبو، الزجاج، الاسمنت، شحوم التزليق، مواد حفر الآبار، الأعلاف، الدهانات، الورق، المطاط، الأسمدة، المبيدات والصناعات الدوائية) [3-6].

البنتونايت

Bentonite, Sodium montmorillonite
 $(\text{Na}-\text{M})[\text{Na} \text{ or } \text{Ca}(\text{Al or Mg})_2\text{Si}_4\text{O}_{10}(\text{OH})_2.\text{nH}_2\text{O}]$
 البنتونايت، اسم تجاري لنوع خاص من الصلصال يتكون بشكل أساسي من معادن السمنتايت والمعدن السائد هو المونتموريولونايت. ويتكون البنتونايت (متعدد السليكات phyllosilicate) أساساً من سيليكات الألミニوم المائية مع إمكانية إحلال المغنيسيوم وال الحديد محل الألミニوم. فضلاً عن وجود العناصر القلوية والعناصر القلوية الترابية ضمن تركيبه الداخلي وتختلف نسبة الخلط حسب مصدره أول استعمال له كان في عام (1847) في فرنسا قبل اكتشافه في الولايات المتحدة إذ وجد بمناطق عديدة وبأسماء أخرى. وكما مبين في الشكل (1):

1. المقدمة: Introduction

تعد الأطيان العراقية من أغنى الأطيان تنوعاً في المنطقة والعالم لأنها تشكلت منذ آلاف السنين في هذا البلد العربي نتيجة التنوع الجغرافي من الشمال إلى الجنوب وبصورة عامة فالأطيان تكون بصورة أساسية من السليكا والألミニوم والماء غالباً ما تحوي أيضاً على الحديد والمغنيسيوم وعناصر قلوية أخرى، وتشكل نسبة كبيرة من مكونات بعض الصخور الرسوية مثل الصلصال والطفل والتي تعد من المكونات الأساسية للترابة، ويهم العديد من الباحثين بالخواص الفيزيائية والكيمائية لأهمية ذلك في مجالات تطبيقية واسعة مثل هندسة البناء وصناعة السيراميك وخصوصية التربة والزراعة وغيرها [1,2].

إن طين الخواوة المادة الرئيسية التي كانت شائعة الاستعمال قبل أكثر من قرن واستخدمة لتنعيم الشعر للمرأة وتلين البشرة ولم يكن الشامبو معروفاً آنذاك، وكانت هذه المادة الطبيعية تلعب دوراً مهماً بين النساء في المجتمع العراقي برمتها ولتعريف هذه المادة، فهي نوع من التربة التي تمتاز بنعومة عالية تكون خالية من المواد الكلسية التي تشكل تأثيراً على البشرة والجلد وتحول بسهولة إلى مسحوق ناعم جداً وتشكل مع الماء محلول غروي جيلاً تيني القوام يبقى عالقاً منتشرًا في أرجاء المحتوى المائي لمدة طويلة فضلاً عن النقاوة العالية لهذه التربة فهي تلعب دوراً مهماً في إدامة البشرة والشعر. وللتعرف على هذه المادة بموقعها العلمي والتكنولوجي من خلال الدراسات التي تمت من قبل الشركة العامة للمسح الجيولوجي والتحري المعدني العراقي فقد وجدت المادة بشكل منجم في منطقة قرة تبه في قضاء كفرى ومنها جاءت التسمية للطين بالعربية وخواوة بالكوردية وتعني ناعم أو لين أي خاوي. ولمعرفة الموصفات العلمية لهذا النوع من الخامات وجب هنا استبدال التسمية من طين خواة إلى الاسم العلمي وهو البنتونايت، والبنتونايت الخام يكون على



Composition: Molecular Weight = 549.07 gm/mol

Sodium 0.84 % Na 1.13 % Na₂O

Calcium 0.73 % Ca 1.02 % CaO

Aluminum 9.83 % Al 18.57 % Al₂O₃

Silicon 20.46 % Si 43.77 % SiO₂

Hydrogen 4.04 % H 36.09 % H₂O

Oxygen 64.11 % O

Total = %. 100.58 %. 100.00

Empirical Formula: Na_{0.2}Ca_{0.1}Al₂Si₄O₁₀(OH)₂(H₂O)₁₀

الشكل (1): شكل يوضح انواع البنتونايت

يستخدم في المجال الصيدلاني كعامل ممتر (مذصل) عن طريق التصوير بالرنين المغناطيسي Magnetic Adsorbed resonance imaging (MRI)، وعامل مستحلب، وعامل مثبت، وعامل مستحلب، وعامل معلق، ورافق للزوجة. حيث يُستعمل بشكل رئيسي في تحضير الملعقات والهلامات والمحاليل الغروية المخصصة للتطبيق الموضعي كما يستخدم في المستحضرات المائية ولتحضير الكريمات التي يحتوي أساسها على عوامل مستحلبة من [7,8].

$$\text{LD}_{50} (\text{rat,IV}) = 0.52 \text{ g/kg}$$

ان ما تم العمل عليه في هذا البحث الأطيان العراقية (الطين خاوية) والتي لا تقل أهمية من الناحية العلاجية والتجميلية عن الطين المستخرج من البحر الميت والذي تم الاستثمار فيه بماليين الدولارات وتسوق منتجاته لكل دول العالم في حين أن الطين العراقي (الطين خاوية) ومن خلال بعض الأدوية واكتُشف حديثاً للبنتونايت دور تشخيصي

Hair cream: 3.2. كريم للشعر

- أ. تتضمن الخلطة المواد الآتية (900) غم فازلين، (60) غم ماء، (40) غم طين خاوية.
- طريقة العمل: تخلط المكونات أعلاه جيدا بعد مزج الماء بالطين ليضاف الفازلين فتخلط جيدا فتصبح جاهزة لوضعه على الشعر مباشرة.
- ب. يمكن عمل الخلطة أعلاه بدون فازلين وتعطي نفس النتائج المرجوة.

البحث هو أفضل بالمقارنة مع العديد من المستحضرات التي يتم تداولها اليوم في السوق العراقية وبأسعار باهظة الثمن وبأسماء مختلفة للعناية بالشعر أو البشرة لذا فمتى نجنا يتميز بكونه رخيص الثمن ومتوفر سهل الاستعمال وليس فيه أي محاذير أو آثار جانبية وحسب الاختبارات التي تم إجراءها سواء لليد أو الوجه أو الشعر.

2. طرائق العمل:

Soap antiseptic and purification: 2.1. صابون مطهر ومعقم

2.4. تصنيع صبغة طبيعية من الطين خاوية:

تم عمل صبغتين طبيعيتين وكما مبين أدناه:

1. الصبغة الصفراء: حيث تم مزج (50) غم من البابونج في (150) مل من الماء المغلي لمدة نصف ساعة وبعد أن يبرد المزيج يضاف إليه (50) غم من الطين خاوية وبياض بيضتين ثم تخلط المكونات جيدا للحصول على عجينة متمسكة يتم وضع العجينة على الشعر لمدة ساعة واحدة ثم يتم غسل الشعر بالماء الدافئ سيظهر لون أصفر طبيعي وإذا كان اللون باهتا يتم تكرار العملية أكثر من مرة للحصول على اللون المطلوب.

2. الصبغة السوداء: يتم وضع (50) غم من ورق الغار في الماء ويُسخن لحد الغليان بعدها تضاف (50) غم من الطين خاوية ويترك المزيج إلى أن يبرد بعدها يتم استعماله على الشعر لمدة ساعة واحدة ثم يتم غسله بالماء الدافئ سيظهر لون أسود طبيعي خفيف على الشعر.

تتضمن الخلطة المواد الآتية :

(400) غم صابون مبشرور، (250) غم طين خاوية، عطر أما (10) قطرات نعناع أو (50) غم عسل حسب الرغبة.

طريقة العمل: يسخن الصابون المبشور على نار هادئة ويقلب جيدا لحين الذوبان الكلي ثم يضاف طين الخاوية لمدة (9-7) دقائق ثم يخلط جيدا وأخيرا يضاف العطر سواء العسل أو النعناع مع التقليل لنحصل على خليط سميك ثم يرفع الإناء من النار ويصب في وعاء مناسب الشكل ليجف ليعطي صابون يمتاز بمفعول مطهر للجلد وملين ومرطب للبشرة.

Face cream: 2.2. كريم للوجه

تتضمن الخلطة المواد الآتية :

(160) غم طين خاوية، (40) غم مسحوق السكر، (50) مل ماء.

طريقة العمل: تنقع الطين خاوية بالماء إلى أن تذوب كلها تخلط جيدا ثم يضاف إليها السكر المطحون جيدا وتحلط ليصبح مادة متجانسة يمكن استخدامها على الوجه بطبقة رقيقة جدا فيترك إلى أن يجف ثم تغسل بالماء.

2.5. اختبار المستحضرات على الأمراض الجلدية:

تم إجراء التقييم الأولي للمستحضرات على المtribرات من الإناث اللاتي يعاني من مشاكل جلدية (الطفح الجلدي، النمش، الكلف، البهاق، التعلبة، تشقق الجلد، ترهل الجلد) فقد تم اختبار تأثير المستحضرات على المtribرات والمtribعين.



Results and: Discussion

أن طين الخواوة كونها مادة طبيعية كنوع من التربة التي تمتاز بنعومة عالية وحالية من المواد الكلسية التي تشكل تأثير سلبي على البشرة، إذ يتحول طين الخواوة بسهولة إلى مسحوق ناعم جداً ويتشكل مع الماء محلول غروي جلا تيني القوام يبقى عالقاً ومنتشرًا في أرجاء المحتوى المائي لمدة طويلة بالإضافة إلى النقاوة العالية لهذه التربة لاحتواءها على الكاؤولين [1] التي تكاد تكون عديمة الفعالية وبذلك تكون عديمة التأثير على البشرة لاسيما عندما تكون خالية من المواد الكلسية وبكل هذه المميزات فإنها لعبت دوراً مهماً في إدامة البشرة بنضارتها وللشعر بنعومته.

اختبار تفاعل الجلد مع مستحضرات الطين خاوية على أيدي المترعين:

اجري اختبار الجلد لكل فرد من أفراد العينة الـ(30) شخص والمؤلفة من (10) ذكوراً و(20) أنثى وأفراد السيطرة (10) شخصاً وحسب طريقة حك الجلد Scratch (Pepys Test 1975) [9]، إن هذا الاختبار يجري بوضع كمية قليلة من المستحضر على الواجهة الاصحicia للذراع (volar Aspect of the Forearm) أو على ظهر اليد، ومقارنتها مع أفراد السيطرة ولمدة (15-25) دقيقة علماً أن (15) شخصاً من العينة كان مصاباً بالحساسية ويتضمن التفاعل الموجب ظهور حلقة مثالية ترى وتحس بسهولة، ويتم حسابها على أساس مساحة الدائرة.

3. صناعة الصابون: Industry Of Soap

عرفت صناعة الصابون منذ أكثر من ألفي عام ولم تتبدل أسس هذه الصناعة جوهرياً من ناحية المواد الأولية وفي منتصف القرن العشرين حلّت المنظفات محل (80%) من احتياجات الصابون إذا استعملت بعض المواد الأولية الجديدة واستعمل الشحم الحيواني Tallow كمادة أساسية في صناعة الصابون والمنظفات بإماراتها بعمليات كيميائية لإنتاج الصابون الذي يكون غير فعال في المياه العسرة بعكس المنظفات الجديدة [11].

الصابون عبارة عن أملاح الصوديوم أو البوتاسيوم لمختلف الحماض الشحومية أما المنظفات فهي خليط معقد لعدة مركبات مختارة لكل منها عمل معنوي بالتنظيف منها رباعي بروبيل سلفونات البنزين (TPBS) Tetra Propyl Benzene Sulphonate الذي تبين فيما بعد أن هذه المادة لا تتحلل باليولوجياً بفعل البكتيريا لذلك تم التوجه إلى إنتاج مركبات مشابهة تتحلل باليولوجيا منها Arenes (ABS) Bentene Sulphonate [12]

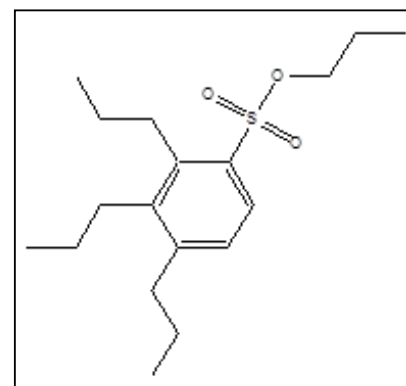
2. اختبار الفعالية البيولوجية Biological Activity Test

تم اختبار الفعالية البيولوجية بإتباع طريقة الحفرة للمستحضرات المحضرية باستخدام نوعين من البكتيريا المرضية الموجبة لصبغة الكرام (gram positive) Staphylococcus aurous والسلبية لصبغة الكرام (gram negative), Escherichia coli (gram positive). إذ تم تحضير أطباق مستعمرات البكتيريا المذكورة أعلاه وتم عمل حفر داخل هذه الأطباق (المستعمرات) بقطر (0.6) سم بعدها ملئت هذه الحفر بالمستحضرات المراد فحص الفعالية الحيوية لها وترك في الحاضنة بدرجة حرارة (37)° م لمدة (24) ساعة وبعدها تم قياس نطاق أو قطر التشيط للبكتيريا والشكل (3) يوضح قياسات الفعالية البيولوجية للمستحضرات المحضرية تجاه البكتيريا المرضية [10].

يشكل مستحضر دهني يعطي حماية شخصية ضد البعوض. تم إجراء التقييم الأولي لمستحضرات الطين خاوية على المtributين والمtribرات من اللذين يعانون من مشاكل جلدية (الطفح الجلدي، النمش، الكلف، البهاق، الشعلة، تشدق الجلد وترهل الجلد) فقد تم عمل الاختبار كما مبين في الجزء العملي وعند استخدامه على المtributين والمtribرات تبين تأثيراً ملحوظاً لكل المستحضرات وبنسبة متقاربة جداً على المtributين فقد أعطت النتائج الآتية فقد كانت الخلطات منعمة للجلد ومرطبة للبشرة وتعالج تشدق الجلد ومنظفة للبشرة من الكلف وتجدد الجلد وتعطيه نضارة كما أعطى للشعر لمعاناً ويريقاً وأعطى نتائج إيجابية لبعض المرضي المصابين بالشعلة والبهاق مما يحتاج مزيداً من الدراسات في هذا المجال فهو لا يقل أهمية عن طين البحر الميت من حيث المحتويات والاستخدامات لذا يعد ثروة وطنية هامة يمكن استغلالها إن تم توظيفها بالصورة الاستثنائية الصحيحة.

3. دراسة الفعالية الحيوية للمستحضرات المحضررة:

إن العديد من المركبات الكيميائية الدالة في المنظفات لها القدرة على قتل الميكروبات وتدفع المركبات النشطة السطوح Surface Action Agent والممنظفات عموماً نشطة السطوح وإضافة للتنظيف والتبييض هناك القابلية على قتل بعض أنواع الأحياء المجهرية مثل البكتيريا المسببة لمرض السفلس أو التهاب الرئة ومكورات السحايا ومكورات السل وعصيات الخناق وبكتيريا السل وتزداد هذه القابلية مع زيادة درجة الحرارة لذا تغسل اليدين بالصابون والماء الحار تقضي على جزء كبير من البكتيريا المرضية [16] إن كيفية قتل الصابون للأحياء المجهرية ما زالت غير واضحة وبالتالي فإن هذه الفعالية لا تعود إلى القلوبيات المتحركة من الصابون إذ أن كمية هذه المواد قليلة جداً بحيث أنها لا توثر إطلاقاً في هذه الأحياء. لكن الاعتقاد الشائع هو أن



شكل (2): يوضح التركيب له (Tetra Propyl Benzene Sulphonate)

أما المنظفات الجديدة فهي خلطة كبيرة نسبياً من المواد المختلفة لكل منها دوره في عملية التنظيف والمضادات وتحتفي في نوعيتها وكميتها وأهم أسباب إدخال هذه المنظفات هي الدعاية والمنافسة التجارية [13]. إن الكثير من المنتجات التي تشمل الصابون والمنظفات Detergents و المستحلبات Emulsion والماء المرطبة Wetting agent والماء الناشر Penetrants تحتوي في تركيبها على مادة أساسية من المواد ذات الفعالية السطحية أو الماء المشطط للسطح Surfactant وتعود Surface Active Agent فعاليتها إلى تبديل خواص طبقات السطح بين طورين يفصلان بعضهما [12,13].

3.2. اختبار المستحضرات على الأمراض الجلدية:

اختبار تفاعل الجلد:

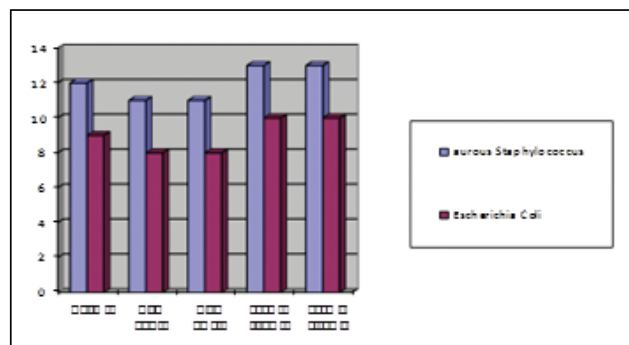
أظهرت نتائج مسح منطقة الواجهة السطحية لأيدي المtributين بالمستحضرات وعدهم (30) فرد ومن ضمنهم (15) فرداً مصاباً بالحساسية، ظهر عدم تحسس جميع الأفراد سواء المصابين بالحساسية أو غير المصابين، وهذا يتطرق مع ما نشر بان هذه الطريقة يمكن استخدامها وتطبيقها بالاختبارات على الجلد إذ تم استخدامها من قبل العالم (Kim. 2004) [14] بنفس الطريقة بعد أن تم إجراء تفاعل الجلد عليه، كذلك وجد (Dua 1995) [15] أن زيت النيم



المصادر:

- [1] Odom, I. E., «Smectite clay Minerals: Properties and Uses». Philosophical Transactions of the Royal Society A: Mathematical, Physical and Engineering Sciences 311(1517):391-409, (1984).
- [2] Hydraulic behavior of bentonite based mixtures in engineered barriers: The Backfill and Plug Test at the Äspö HRL (Sweden). Tdx.cesca.es, (2003).
- [3] Lagaly G., "Surface and interlayer reactions: bentonites as adsorbents. In Churchman, G.J., Fitzpatrick, R.W., Eggleton R.A. Clays Controlling the Environment. Proceedings of the 10th International Clay Conference, Adelaide, Australia. CSIRO Publishing, Melbourne. pp. 37–144, (1995).
- [4] Robertson R.H.S, Fuller's Earth. A History of calcium montmorillonite. Volturna, Press, U.K, (1986).
- [5] Guyonnet, D.; Gaucher, E.; Gaboriau, H.; Pons, Charles-Henri; Clinard, Christian; Norotte, Véronique; Didier, Gérard, »Geosynthetic Clay Liner Interaction with Leachate: Correlation between Permeability, Microstructure, and Surface Chemistry». Journal of Geotechnical and Geoenvironmental Engineering 131 (6): 740, (2005).
- [6] الأبطح، محمد البنتونايت. المصادر الطبيعية، (1996).
- [7] الطاهات، عمر، ومحمد الأبطح، ومنال اللوزي، البنتونايت. المجلس الأعلى للعلوم والتكنولوجيا، (2000).

الصابون من المواد التي تقلل الشد السطحي وبذلك فهي من مواد مستحلبة جديدة تعمل على المواد الدهنية مذيبة إياها على شكل رغوة وعند معاملة المواد هذه مع الصابون فإن الأحياء المجهرية تنجرف ضمن القطرات ثم تطرد عند الشطف فضلاً عن أن تأثير الصابون يمتد إلى دهونات الخلية الميكروبية نفسها مما يؤدي إلى زيادة نضو حية هذه الخلايا وبالتالي موتها [17] والشكل (4,3) يوضح قياسات الفعالية البيولوجية لمستحضرات طين الخواوة المحضررة تجاه البكتيريا المرضية والتي تبين فعالية مهمة جداً وتفسير ذلك ببساطة شديدة هو احتواءها على العناصر المعدنية التي يفتقر إليها الصابون بدون دعمه بطين الخواوة.



الشكل (3): يوضح نسبة التثبيط لمستحضرات من طين الخواوة ضد البكتيريا المرضية المختلفة



شكل (4): صور تأثير المركبات على أنواع من البكتيريا



- Sci., 60(11): 1125-30, (2004).
- [15] Dua, J.K., Naypal, N. and Sharma V.P., "Repellent action of neem cream against mosquito", Indian. J. of Malaria L., 32:47-53, (1995).
- [16] حداد جاسب جاسم، علم الأحياء المجهرية البيطرية، الطبعة الأولى، جامعة الموصل، (1991).
- [17] Al-Anbuki M.S., and Kirma Miss L., "Raw Materials and Their substitutes", The general Company for vegetable oils, (1975).
- [8] Abed, A. M., "Geology and Sepiolite Formation in the Taba Continental Sabkha, southern Dead Sea-Araba Rift, Jordan. Dirasat, 18B, 41-65, (1992).
- [9] Sageska y. M., Uemura T."Anti-microbial and anti- inflammatory actions of tea le aves Saponin", YaugakuZasshi, Mar.,(1997), 116(3):238., Pepys, j., Skin test in diagnosis in : Gell, P.G.H., Coombs, R.R.A. and Lachmann, P.J., Clinical aspects of immunology (3ed),oxford: Black well Scientific pup., 55-80, cited by : Burrows, B., Martines, F., Halonen,M. et.al,(1989)., Associated of asthma with serum IGE levels and skin test reactivity to allergens, N. Eng. I.J. Med. ,320:271-277, (1975).
- [10] الزيدي حامد مجيد، علم الأحياء المجهرية، جامعة بغداد، الطبعة الأولى، (1988).
- [11] الخفاجي جواد كاظم، (1989) الكيمياء الصناعية. جامعة بغداد ، بيت الحكمة، (1989).
- [12] Ali al-fatahi , Nabeel.Y.J, Abdullah H.K., J. Of anbar. Univ. For pure science. Vol.2, No.1, (2010).
- [13] الزيدي حامد ، سعيد عبد الكريم اهمام، محمود إبراهيم ضمياء، علم الأحياء المجهرية العملي ، جامعة بغداد، (1977).
- [14] Kim, S. I., Chang, K. S., Yang, Y.C., Kim, B.S and Ahn, Y.J., "Repellency of aerosol and cream products containing fennel oil to the mosquitoes under laboratory and field conditions". Pest.Manag.



تهيئ إشعاعات كاما المنبعثة من نواج الانشطار (^{90}Sr , ^{60}Co) من وقود UO_2 المحترق داخل مفاعل PWR

علي خلف حسن، نجم عبد عسکوري، وفاء سالم صكب
قسم الفيزياء، كلية التربية للبنات، جامعة الكوفة، العراق

تاريخ الاستلام: 11 / 9 / 2015

تاريخ قبول النشر: 9 / 6 / 2016

Abstract

In this paper, a computer study by a program written in a language (MATLAB) to study attenuation of gamma- rays produced by nuclear fission process that occurs ceramic fuel UO_2 inside the burning power plants burning inside power plants that light water, where it was noted that the amount of radiation attenuation emitted from radioactive isotopes less when increasing the thickness of the material used as a shield and visor, as well as at least increase linear attenuation coefficient of the material,(Any the intensity of radiation be less in the lead of concrete and therefore less of water).

Keywords

Attenuation of gamma, Ceramic fuel UO_2 , Linear attenuation coefficient.

الخلاصة

تم في هذا البحث إجراء دراسة حاسوبية بواسطة برنامج كتب بلغة الماتلاب لدراسة توهين إشعاعات كاما الناتجة من عملية الانشطار النووي التي تحدث للوقود السيراميكي UO_2 المحترق داخل محطات القدرة التي تعمل بالماء الخيف حيث لوحظ أن كمية توهين الاشعة المبعثة من النظائر المشعة تقل عند زيادة سمك المادة المستعملة كدرع واقي وكذلك تقل عند زيادة معامل التوهين الخطبي للهادة (اي ان شدة الاشعة تكون اقل في الرصاص من الكونكريت وبالتالي اقل من الماء)

الكلمات المفتاحية

توهين إشعاع اتكاما، الوقودالسيراميكي UO_2 ، معامل التوهين الخطبي.

المحاط بالدرع الواقي shield الكونكريتي لمنع تسرب المواد المشعة [5] ان اغلب نواتج الانشطار الاساسية التي تكون غنية بالنويوترونات ستبقى غير مستقرة وسوف تضمحل الى حالة اكثرا استقراراً من خلال اشعاع ييتا [6] بعد اكتشاف عملية الانشطار النووي عام (1939) استمرت دراسته بصورة مفصلة وتم وضع النظريات العلمية لتفسيره استناداً لتطوير تركيب النواة اذ قام الباحث "Tsuruta" [7] بدراسة نسبة فعالية كما من نواتج الانشطار من ^{235}U و ^{239}Pu . كما قام الباحث "Champion" [8] و مجموعته بقياس طيف اشعاع كما اسفل وعاء مفاعل الماء المضغوط عند قدرة 900 MW. كذلك استخدم الباحث المعموري طريقة المسح الاشعاعي لإشعاعات كما لدراسة نواتج الانشطار في عمود الوقود النووي السيراميكي (UO_2) [9]. كما قام الباحث "Sanderson" [10] و مجموعته بقياسات تجريبية ومحاكاة حاسوبية لطيف أشعة كما من نواتج الانشطار [10].

2. الجزء النظري Theoretical part

العديد من التفاعلات النووية، الانحلالات المشعة وتفاعلات الجسيمات تؤدي الى ابعاث اشعة كما وهي موجات كهرومغناطيسية او فوتونات ذات طاقة عالية تتراوح طاقتها (من keV الى MeV) وأطواها الموجية قصيرة جداً من 10^{-13} to 10^{-11} m [11] اذا ان اشعة كما المنبعثة من الانشطار الحراري لـ ^{235}U تنقسم الى مجموعتين، فورية prompt اذا ابعاث خلال فترة زمنية قدرها اقل من (0.1) وبمعدل طاقة (1) MeV ومتاخرة delayed اذا ابعاث خلال مدة زمنية اكبر من (0.1) من انحلال شظايا الانشطار الطويلة العمر [12]. فاذا مرت اشعة كما خلال المادة فأن كل فوتون في الاشعة سوف يكون امامه اما الا

1. المقدمة Introduction

ان عملية الانشطار النووي التي تحدث للوقود السيراميكي UO_2 داخل مفاعل الماء المضغوط تولد نواتج مشعة تتراوح انصاف اعمارها من أجذاء من الثانية إلى عدة سنين منها ^{90}Sr الذي عمر النصف له (28.8) سنة. اما ^{60}Co الذي عمر النصف له (5.3) سنة فينتج من تفاعل النيوترونات مع مواد المفاعل المحتوية على هذا العنصر مثل اعمدة السيطرة.اكتشف النيوترون عام (1932) من قبل العالم Chadwick عندما قذف البريليوم بجسيمات الفا كالتفاعل $^{12}\text{C}(\alpha, n)^{13}\text{N}$. كما يمكن أن يتولد النيوترون من تفاعلات الاندماج النووي nuclear fusion أو نتيجة الانشطارات التلقائية spontaneous fission. اذ تقسام فيها النواة إلى جزأين متباين الكتلة إذ لاحظ العلمان (Hahn and Strassman) انه عند قذف اليورانيوم بالنويوترونات ينشطر إلى شظتين مع تحرر قدر كبير من الطاقة وابعاث النيوترونات واسعة كما [2]. تتم عملية الانشطار النووي داخل وعاء خاص يدعى بالمفاعل النووي nuclear reactor وتنقسم المفاعلات النووية الى نوعين مفاعلات الاندماج التي تعتمد على اندماج النوى الخفيفة ومفاعلات لانشطار التي تعتمد على انشطار ^{235}U الموجود بالوقود النووي الطبيعي [3] اذ يعد وقود UO_2 الذي يحتوي على ^{235}U المخصب قليلاً من انواع الوقود السيراميكي الذي يستخدم في مفاعل الماء المضغوط Pressurized Water Reactor (PWR) (وهو مفاعل حراري يستعمل الماء الخفيف كمبرد ومهدئ Moderator) [4] ويكون من قلب المفاعل reactor core الذي يحتوي على الوقود والمهدئات ويمثل الجزء المركزي والمبردات التي تعمل على سحب الحرارة من المفاعل وكذلك من قضبان التحكم وتقع جميعها داخل وعاء الضغط pressure vessel الفولاذية

وبما ان التوهين يتم بثلاث تأثيرات منفصلة فأننا يمكن

ان نكتب [13]

$$\mu = \mu_{ph} + \mu_{comp} + \mu_{pp} \quad (4)$$

إذ ان كل معامل توهين جزئي يتنااسب طردياً مع احتمال حدوث ذلك التأثير الجزئي وكذلك مع عدد الذرات الموجودة في وحدة حجم الوسط المتصض، اما معامل الامتصاص الكتلي mass absorption coefficient فيعرف بالكمية (ρ/μ) إذ تمثل ρ تمثل كثافة الوسط.

3. الحسابات والنتائج

Calculations and Results

يمكن توهين شدة اشعة كاما المبعثة من نواتج الانشطار بعد استخراج منظومات وقود UO_2 المحترق من المفاعل ووضعها في بئر الخزن الموضح في الشكل (1) الذي يتكون من حواجز مختلفة من الماء ذات معاملات توهين cm^{-2} (2.4×10^{-2})، الكونكريت cm^{-2} (0.209) والرصاص cm^{-2} (1.6) باستعمال المعادلة (3) كما موضح في الاشكال البيانية (2-7) على التالي.

يتفاعل على الاطلاق او انه سوف يتم حذفه كلياً من الخزمة بواسطة الامتصاص او الاستطارة وهذا يؤدي الى تضعيف او توهين (Attenuation) اسي بزيادة سمك الوسط المتصض بواسطة ثلاثة عمليات رئيسية هي (تأثير كومبتن والتأثير الكهروضوئي وانتاج الزوج) [13]. اذ يتم التوهين على وفق الآتي:

اذا فرضنا يمثل كمية الاشعة لكل وحدة زمن قد سقطت بصورة عمودية على وسط متصض سمكه x فإن التغير الحاصل في شدة الاشعة dI خلال وسط سمكه dx يمكن كتابته وفق المعادلة الآتية [14]:-

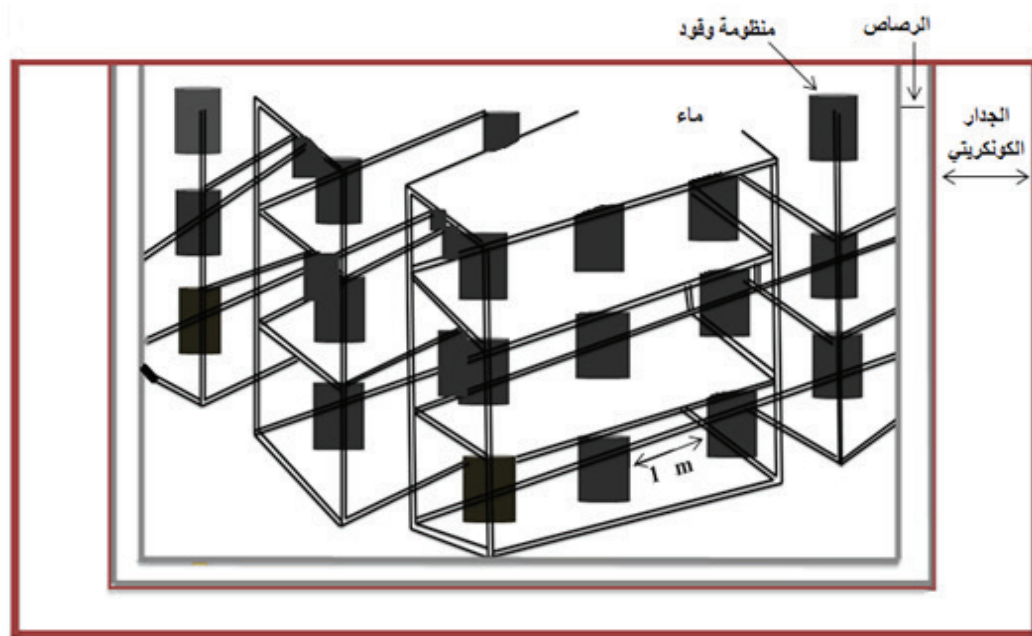
$$dI = -\mu I dx \quad (1)$$

حيث ان μ يسمى بمعامل التوهين الخططي coefficient linear attenuation ان شدة الاشعة تتناقص مع زيادة السمك x

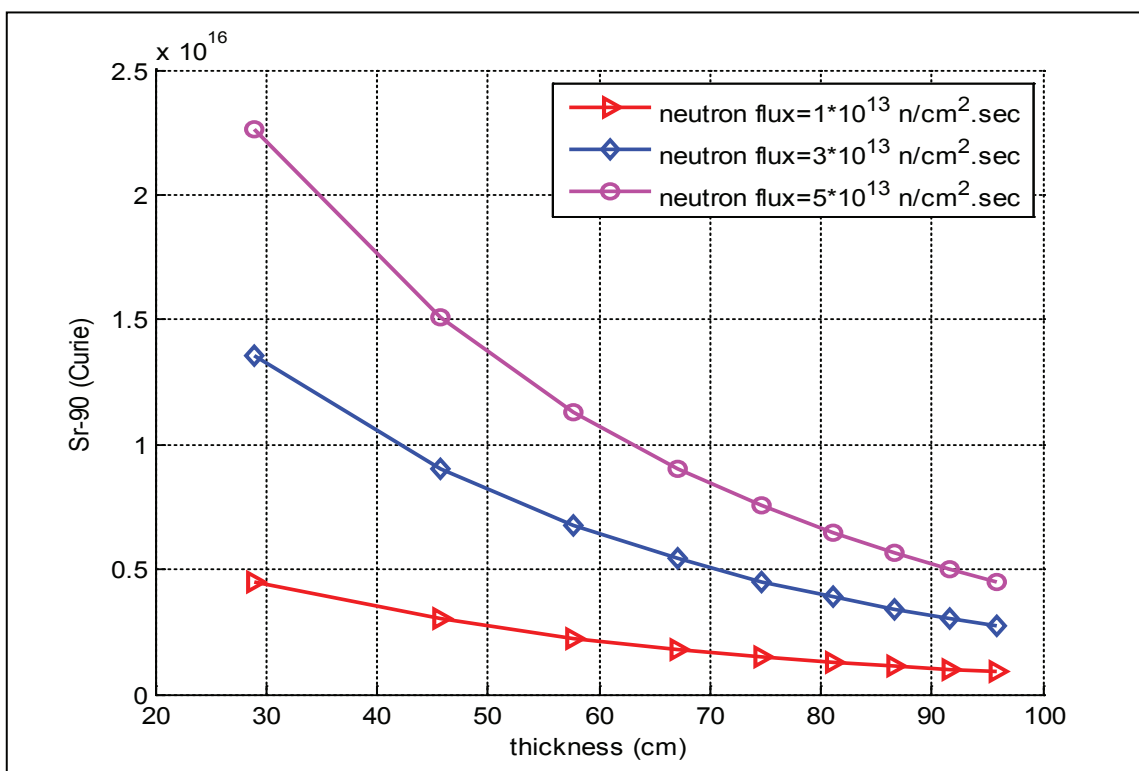
$$-\frac{dI}{I} = \mu dx \quad (2)$$

وبإجراء التكامل للالمعادلة (2) وبوضع عند سمك 0 عند سمك x نحصل على (3)

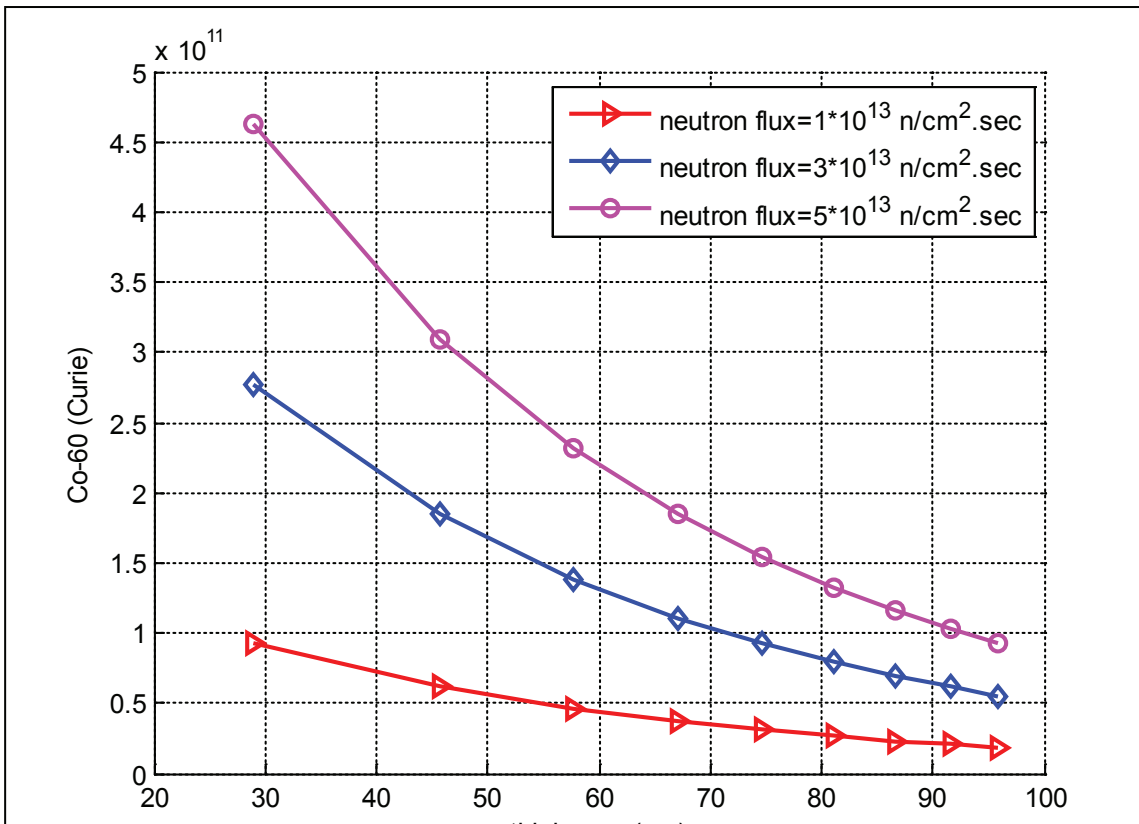
$$I = I_0 e^{-\mu x} \quad (3)$$



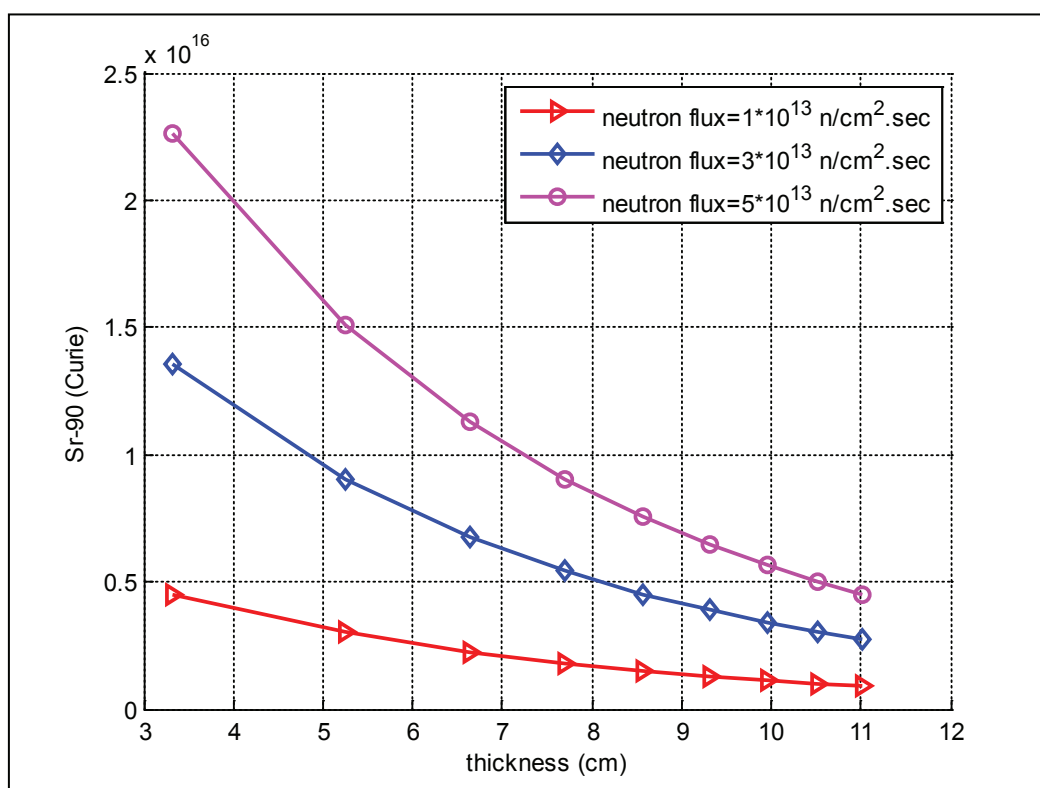
الشكل (1): مستودع خزن منظومات وقود UO_2



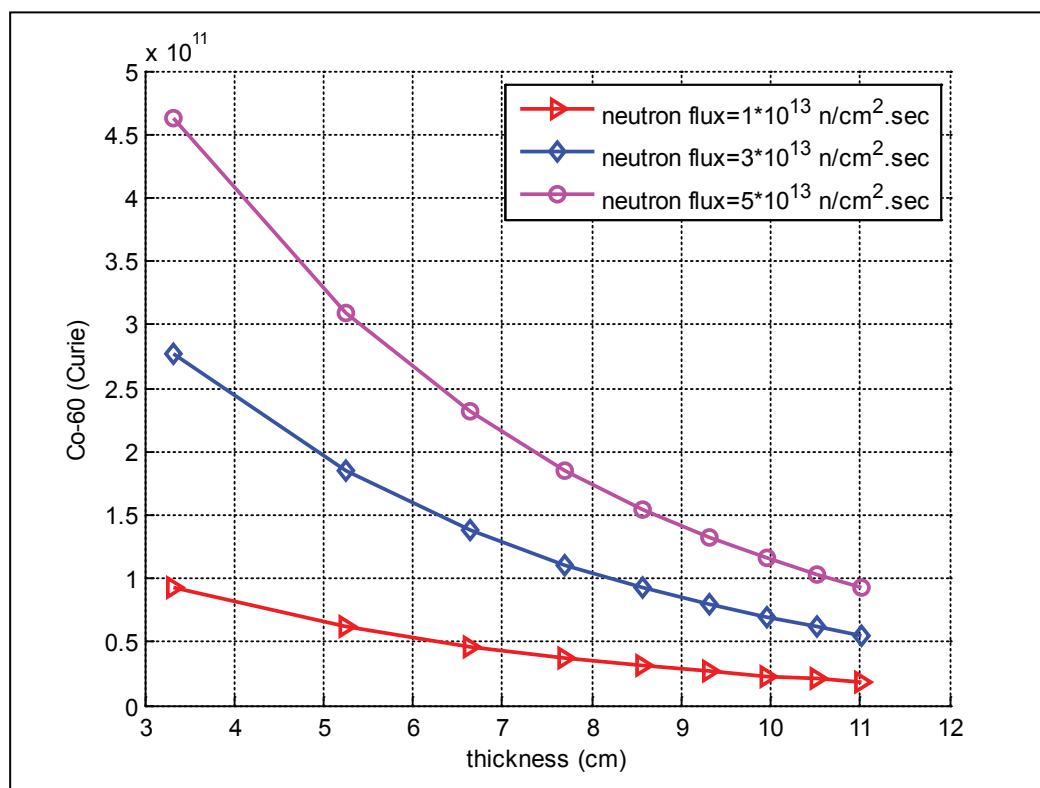
الشكل (2): توهين اشعة كاما المبعثة من النظير (Sr-90) بواسطة الماء.



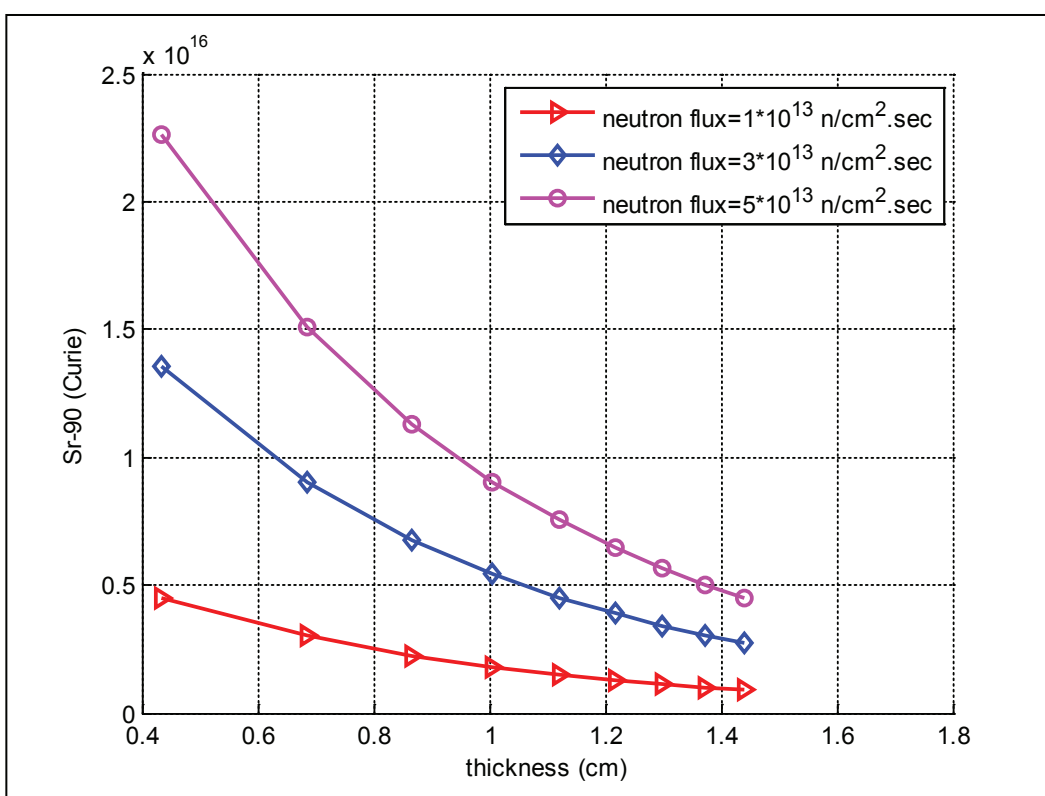
الشكل (3): توهين اشعة كاما المبعثة من النظير (Co-60) بواسطة الماء.



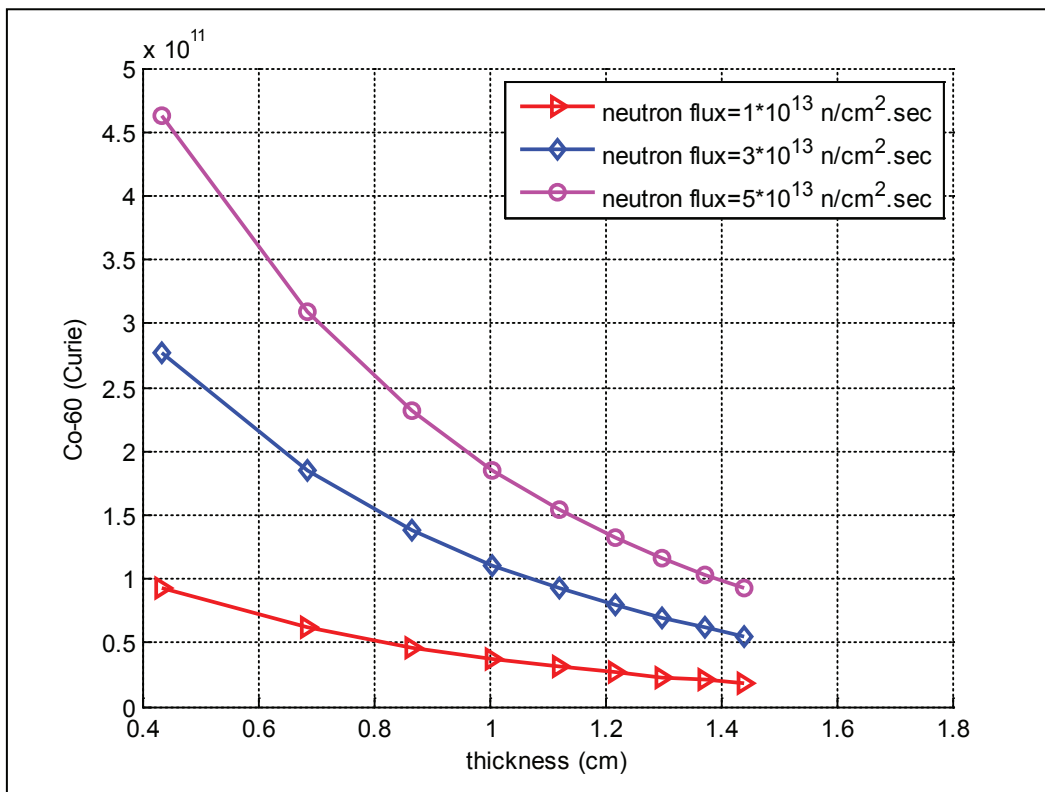
الشكل (4): توهين اشعة كاما المبعثة من النظير ($\text{Sr}-90$) بواسطة حاجز كونكريتي.



الشكل (5): توهين اشعة كاما المبعثة من النظير ($\text{Co}-60$) بواسطة حاجز كونكريتي.



الشكل (6): توهين اشعة كاما المبعثة من النظير (Sr-90) بواسطة الرصاص.



الشكل (7): توهين اشعة كاما المبعثة من النظير (Co-60) بواسطة الرصاص.

الدائم ومنها الى معامل معالجة الوقود حيث تفصل نواتج الانشطار عن الوقود المتبقى فيها.

5. الاستنتاجات Conclusions

تزداد شدة اشعة كاما المنبعثة من نواتج الانشطار المشعة عند زيادة الفيض النيوتروني، إذ كلما زاد الفيض النيوتروني يزداد انتاج النظائر الباعثة لأشعة كاما. تناسب شدة اشعة كاما طردياً مع سمك المادة. تقل شدة اشعة كاما عند زيادة معامل التوهين للمادة المستخدمة كدرع واقي.

6. المصادر References

- [1] علي عبد الحسين سعيد و سهام عبدالجبار الجاسم، اسس الكيمياء النووية و ظاهرة النشاط الاشعاعي، دار الميسر للنشر والتوزيع، عمان، (2001).
- [2] J. R. Lamarsh, “Introduction To Nuclear Reactor Theory”, Addison-Wesley, (1966).
- [3] سعدي جعفر حسن و سعيد سليمان كمون، ”مبادئ الفيزياء النووية“، دار الشؤون الثقافية العامة، بغداد، (1989).
- [4] JNES, “The pressurized Water Reactor” , Japan Nuclear Energy Safety Organization, (2011).
- [5] R. L. Murray, “Nuclear Energy”, Raleigh, North Carolina, (2000).
- [6] H. Van, T. H. J. J. Hagen, and J. E. Hoogenboom, “Nuclear Reactor Physics”, Delft University of Technology, (2005).
- [7] H. Tsuruta, J. Nucl. Sci. and Technology, Vol. 10, No. 9, P.550 – 565, (1973).
- [8] G. Champion, A. Dubail, C. Marsigne, A.

4. المناقشة Discussion

الاشكال البيانية (2-7) توضح توهين شدة اشعة كما خلال حواجز مختلفة فمقدار التوهين يعتمد على نوع الدرع الواقي وعلى سمكه وعلى طاقة الفوتون اذا تعد المواد الھیدروجينیة کالماء والکونکریت والرصاص دروع واقیة فعاله والغرض من استخدام المواد الھیدروجينیة هو لتبطئه النيوترونات خلال مسافة قصیرة من مصدرها ومن ثم امتصاصها بعد ان تصبح طاقتها حراريۃ اذا كلما قل تدفق النيوترونات تقل كمية الاشعاع الصادرة من النظائر المشعة. كذلك نلاحظ من خلال الاشكال ان شدة اشعة كاما تكون اقل باستخدام حاجز الرصاص منه في الحاجز الكونكريتي واقل منه في الماء وهذا ناتج عن كون معامل التوهين الخططي للرصاص اكبر من الكونكريت و اكبر من الماء اذا كلما زاد معامل التوهين قلت كمية الاشعة المارة خلال المادة أضافة الى ذلك كلما زاد سمك الدرع الواقي كلما قلت كمية الاشعة المارة خلاله. فمن ملاحظة الاشكال الخاصة بالتوهين نجد ان شدة الاشعة تكون نصف الشدة الاصلية عندما يكون سمك الحاجز 28.8811cm (3.31649) بالنسبة للماء و 0.43322cm بالنسبة للجدار الكونكريتي و 11.0172cm (95.941) بالنسبة للرصاص و 1.43912cm بالنسبة للحاجز الكونكريت وهكذا. والمهم ان يكون بئر الخزن مصمماً على احتواء الاشعاعات النووية بداخله والحيولة دون خروجها الى المحيط الخارجي وهذا يمثل الخزن المؤقت، لأن منظومات الوقود بعد ان يستنفذ النظير ^{235}U فيها من خلال احتراقها بحسب نوع المحطة وهي عادة تتراوح بين (3) الى (4) سنوات تشغيل لكل منظومة. وعندما يقل الاشعاع النبعث من كل منظومة الى حوالي العشر من الفعالية الاصلية تنقل الى محطات الخزن



L. D. D. Ville and I. Vergnaud, “Measurements of The Gamma Radiation Spectrum Under The Vessel of A 900 MW PWR”, Report, CEA-C0NF-7467, Chicago, IL (USA), (1984).

[9] عباس فاضل عيسى المعموري، ”حساب وقياس نواتج الانشطار وتوزيعها في الوقود النووي السيراميكي الطبيعي“، رسالة ماجستير، الجامعة التكنولوجية، (1990).

[10] D. C. W. Sanderson, A. Cresswell, J. D. Allyson and P. Meconville, “Experimental Measurements and Computer Simulation of Fission Product Gamma-ray Spectra”, Report No: DETR/RAS/97.002, (1997).

[11] T. Jevremovic, “Nuclear Principles in Engineering”, Springer, (2005).

[12] محمد شحاته الدغمة وعلي محمد جمعة، ”الفيزياء النووية“، مكتبة الفلاح للنشر والتوزيع، بيروت، (2000).

[13] ماير هوف، ”مبادئ الفيزياء النووية“، ترجمة، عاصم عبد الكريم عزوز، جامعة الموصل، (1982).

[14] A. Das and T. Ferbel, “Introduction to Nuclear and Particle Physics”, World Scientific Publishing, (2003).



دالة الانتشار الخطية لفتحة بيضوية مائلة بزاوية $(\pi/4)$ مع المحور السيني

وداد حمزة طرخان العامري، سندس ياسين حسن الأسد

قسم الفيزياء، كلية التربية للبنات، جامعة الكوفة، العراق

تاريخ الاستلام: 6 / 1 / 2016

تاريخ قبول النشر: 12 / 3 / 2016

Abstract

In this work, The inclined ellipse aperture at an angle ($\pi/4$) with x-axis, have been studied defining new coordinates, m and n, which are at angle ($\pi/4$) to the original orthogonal coordinates.

The diffraction pattern in the exit pupil formed by this aperture were studied when the object was, an infinite line (Line spread Function LSF). And a comparison has been made with the results of horizontal ellipse aperture, both for diffraction limited system

Also, the effects of adding aberrations like adding focus error with spherical aberration and tilt aberration with coma aberration was studied, which resulted in larger Strehl ratio and hence better image.

Keywords

The inclined ellipse aperture, Line spread Function LSF, focus error, coma aberration.

الخلاصة

تم في هذا البحث، دراسة الفتحة البيضوية المائلة بزاوية $(4/\pi)$ مع المحور السيني، وذلك بواسطة تعريف إحداثيات جديدة وهي m و n . والتي تكون مائلة بزاوية $(4/\pi)$ مع الإحداثيات الأصلية المتعامدة. إن نمط الحيود المتكون في مستوى الالخراج بوجود هذه الفتحة درس في حالة كون الجسم عبارة عن خط لانهائي الطول (دالة الانتشار الخطية LSF). بعد ذلك قُورنت النتائج مع نتائج الفتحة البيضوية الأفقية، عندما يكون النظام محدد بالحيود. درس أيضاً تأثير إضافة أنواع من الزيء، مثل إضافة الخطأ البؤري مع الزيء الكروي وزيء الإمالة مع الزيء المذنبي وهذا يؤدي إلى أن تكون نسبة سترييل أكبر وبذلك تكون جودة الصورة أفضل.

الكلمات المفتاحية

الفتحة البيضوية المائلة، دالة الانتشار الخطية LSF، الخطأ البؤري، زيء المذنبي.

كفاءة بصرية مثل لعين الإنسان [5].

هناك أيضاً باحثون عراقيون قاموا بدراسة دالة الانتشار الخطية، ففي عام (1998)، درس الباحث حسين حكمت القزار تقييم نوعية الصورة لجسم خطى بأسعمال فتحات مختلفة، كذلك في عام (1999)، قام الباحث صفاء مصطفى الجنابي بدراسة تأثير الإضاءة المتشاكهة على الصورة للاجسام في بعد واحد، وفي عام (2012)، قام الباحث ازهرا بدراسة تأثير الفتحة المركبة المضاعفة على دالة الانتشار الخطية بأسعمال نظام بصري يحتوي على مراتب عالية من الزيغ، وكذلك عام (2013)، درس الباحث ازهرا أيضاً تأثير الفتحة المربعة المركبة على الشدة لصورة جسم خطى ومقارنتها بالفتحة المربعة لنظام بصري مثالي أو يحتوي على الخطأ البؤري أو الزيغ الكروي أو الزيغ المذنبي [6,7,8,9].

2. اشتقاء معادلة دالة الانتشار الخطية

Deriving the Equation of Line Spread Function

ان اشتقاء دالة الانتشار الخطية في مستوى الارجاع لمصدر خطى، يتوجب اولاً معرفة توزيع السعة العقدي ل نقطة من المصدر الخطى في مستوى الارجاع. إذ ان هذه السعة تعطى بالمعادلة الآتية [11,10]:

$$F(u, v) = \frac{1}{A} \int_y \int_x f(x, y) e^{2\pi i(ux+vy)} dx dy \quad (1)$$

إذ أن: (A) تمثل مساحة بؤر الإرجاع، (u,v) الإحداثيات المختزلة للصورة و (f(x,y)) دالة البؤر ويمكن كتابتها بالمعادلة الآتية [12]:

$$f(x, y) = \tau(x, y) e^{ikW(x, y)} \quad \text{اذ ان: } \tau(x, y) \text{ تمثل توزيع السعة الحقيقى (real ampli-tude) عند فتحة الارجاع، ويطلق عليه مصطلح شفافية}$$

1. المقدمة (Introduction)

ان قياس دالة الانتشار الخطية يمكن ان يقلل من الصعوبات التقنية التي ترافق قياس دالة الانتشار النقطية. وكما يشير الاسم، فإن دالة الانتشار الخطية يمكن الحصول عليها من شق متناهي الطول في جسم معتم، وهذا افضل من فتحة نقطية متناهية الصغر.

ان دالة الانتشار الخطية (LSF) هي تعبير بعد واحد لدالة الانتشار النقطية (PSF) ببعدين. ولما كان افتراض ان (PSF) لنظام التصوير هي ثابت مكانياً (space in-space) فيمكن قياس شكل (LSF) بجهاز (micro-variant densitometer) لضوء يمر خلال صورة الشق وبصورة عمودية على طول الشق. [1]

فعندما يكون المصدر الضوئي عبارة عن خط مستقيم لنهائي الطول، فإنه يعبر عن توزيع الشدة او السعة في مستوى الارجاع لهذا المصدر الخطى بدالة الانتشار الخطية (Line Spread Function) (LSF) [2]، وقد درست الشدة لهذا المصدر من قبل العديد من الباحثين، ففي عام (1952)، استعمل ستيل (Steel) ثلاث صيغ لحساب توزيع الشدة لتصوير المصدر الخطى غير المتشاكه في مستوى الارجاع [3]، وفي عام (1987)، اشتق دالاس وأخرون (W. J. Dallas et.al) صيغة لحساب دالة الانتشار النقطية لنظام صورة متناظرة دورانياً من قياسات على طول خط مار من صورة مصدر منفصل عشوائياً، واشتق حالة خاصة لهذه الصيغة عندما يكون الجسم عبارة عن شق بطول محدد [4]. وفي عام (2008)، قام يرونج يانج وآخرون (Yi-rong-Yanget.al) بدراسة الدوال الرياضية (المرشحات) ذات خصائص التمير المزدوج (double-pass) لدالة الانتشار الخطية لعين الإنسان. ان تحديد الدوال التحليلية التي تمثل التمير المزدوج لدالة الانتشار الخطية مهمة، إذ انها تعطي



والاستكماترم وتكور المجال و التشوہ) على التوالي وتمثل عيوب الدرجة الثالثة [19].

وان دالة الانتشار النقاطية أو الشدة تعطى من خلال تربع السعة العقدية في الصورة (المذكورة في المعادلة (1)),

$$W = W(\sigma, r, \Phi) = \sum_{kld} W_{kld} \sigma^k r^l \cos^d \Phi \quad (2)$$

$$G(u,v) = |F(u,v)|^2 \quad (5)$$

وبذلك تكون السعة المعقدة لجسم خطى هي مجموع السعات المعقدة الناتجة من جميع نقاط الجسم [20].

$$L(u,v) = \int_v G(u,v) dv \quad (6)$$

ومن خلال استعمال المعادلتين (5) و (6) نحصل على المعادلة الآتية:

$$L(u,v) = \int_v \left| \int_y \int_x f(x,y) e^{2\pi i(ux+vy)} dx dy \right|^2 dv \quad (7)$$

وبفك القيمة المطلقة باستعمال التعريف $A^* A = |A|^2$ يتوج:

$$L(u,v) = \int_v \int_y \int_x \int_{y_1} \int_{x_1} f(x,y) f^*(x_1,y_1) \cdot e^{2\pi i(ux+vy)} \cdot e^{-2\pi i(ux_1+vy_1)} dx_1 dy_1 dx dy dv \quad (8)$$

$$L(u,v) = \int_y \int_x \int_{y_1} \int_{x_1} f(x,y) f^*(x_1,y_1) \cdot e^{2\pi iux} \cdot e^{-2\pi iux_1} dx_1 dy_1 dx dy \int_v e^{2\pi iv(y-y_1)} dv \quad (9)$$

وبهذا:

$$\int_v e^{2\pi iv(y-y_1)} dv = \delta(y - y_1) \quad (10)$$

δ : تمثل دالة دلتا-كرونكر والتي تساوي

$$\delta = \begin{cases} 1 & \text{عندما } y = y_1 \\ 0 & \text{عندما } y \neq y_1 \end{cases}$$

تصبح المعادلة (9) بالشكل الآتي:

$$L(u) = \int_y \int_x \int_{x_1} f(x,y) \cdot e^{2\pi iux} \cdot e^{2\pi iux_1} dx_1 dx dy \int_{y_1} f^*(x_1,y_1) \delta(y - y_1) dy_1 \quad (11)$$

وبهذا:

$$\int_{y_1} f^*(x_1,y_1) \delta(y - y_1) dy_1 = f^*(x_1,y) \quad (12)$$

البؤر (pupil transparency) وهو ثابت محسب يكون مساويا للواحد في حالة كون الإضاءة منتظمة،

اما $e^{ikW(x,y)}$ فهو يعتمد على الزيغ حيث تعطى دالة الزيغ المتسلسلة آلاية [13,14]

$$W_{kld} \text{ معامل الزيغ}$$

r المسافة نصف القطرية للموجة E' بـ' عند مستوى

الإخراج

Φ الزاوية بين المتغير r والمحور السيني

σ مقدار ارتفاع الشعاع الرئيسي (Principall ray) عن المحور البصري في مستوى الصورة، (k, l, d) مثل قوى

كل من المتغيرات (σ و r و $\cos\Phi$) على التوالي.

ويمكن كتابة المعادلة (2) بالصورة الآتية [15,13]:

$$W = W(\sigma^2, r^2, \sigma r \cos\Phi) = W_{000} + W_{020} r^2 + W_{111} \sigma r \cos\Phi + W_{040} r^4 + W_{131} \sigma r^3 \cos\Phi + W_{222} \sigma^2 r^2 \cos^2\Phi + W_{220} \sigma^2 r^2 + W_{311} \sigma^3 r \cos\Phi \quad (3)$$

وبالتحويل الى الاحداثيات المتعامدة (x, y) باستعمال العلاقات الآتية نحصل على:

$$x = r \sin\Phi, \quad y = r \cos\Phi$$

$$r^2 = (x^2 + y^2)$$

وعند تدوير المحاور بزاوية (ψ) باتجاه عقارب الساعة

نحصل على المعادلات الآتية:

$$x_1 = x \cos\psi - y \sin\psi \quad (4)$$

$$y_1 = x \sin\psi + y \cos\psi$$

ان الحد الاول من المعادلة يجب ان يكون صفر إذ ان الموجة المرجعية وجبهة الموجة متىسان على المحور البصري [16] ،

اما الحد الثاني فيمثل الازاحة الطولية للبؤرة، والحد الثالث يمثل الازاحة المستعرضة للبؤرة [17,18].

والحدود الخمسة الاخيرة تمثل الزيغ (الكريوي و المذنبي

لتكن الاحداثيات الجديدة هي m و n ، إذ ان:

$$m = y+x$$

$$n = y-x$$

ومن هذه المعادلة يكون:

$$m+n=2y$$

$$y=(m+n)/2$$

$$x=(m-n)/2 \quad m-n=2x$$

ولتحويل dx و dy الى dm و dn ، تستعمل طريقة

. [21] (Jacobian method) جاكوبين

$$\frac{dmdn}{dxdy} = \begin{vmatrix} \frac{dm}{dx} & \frac{dm}{dy} \\ \frac{dn}{dx} & \frac{dn}{dy} \end{vmatrix} = \begin{vmatrix} 1 & 1 \\ -1 & 1 \end{vmatrix} = 2$$

أي إن:

$$dxdy = \frac{1}{2} dmdn$$

4. اشتقاق معادلة دالة الانتشار الخطية لفتحة بيضوية مائلة

(Deriving the Equation of Line Spread

Function for Inclined

Ellipse Aperture)

قبل اشتقاق دالة الانتشار الخطية لفتحة البيضوية المائلة

سوف تحول المعادلة (15) لتكون ملائمة لفتحة البيضوية

الافقية، وبذلك تصبح المعادلة (15) بالصورة الآتية :

$$\text{LSF} = (1/(5.333 * b_1)) \int_{-\infty}^{\infty} (-b_1)^{b_1} | \int_{-\sqrt{(1-y^2/b_1^2)}}^{\sqrt{(1-y^2/b_1^2)}} [f(x,y) \cdot e^{izx}] dy |^2 dx \quad (16)$$

فتصبح المعادلة (2-12) بالشكل الآتي:

$$L(u) = \int_y \int_x \int_{x_1} f(x,y) f^*(x_1,y) \cdot e^{2\pi i ux} \cdot e^{2\pi i ux_1} dx_1 dx dy \quad (13)$$

$$\text{وفرض ان } z=2\pi u$$

$$L(z) = \int_y [\int_x f(x,y) \cdot e^{izx} dx \int_{x_1} f^*(x_1,y) \cdot e^{izx_1} dx_1] dy \quad (14)$$

فتكون دالة الانتشار الخطية المعايرة بالصيغة الآتية :

$$LSF = L(z) = N \int_y \left| \int_x f(x,y) \cdot e^{izx} dx \right|^2 dy \quad (15)$$

حيث ان: (N) يمثل عامل المعايرة للدالة، ويحسب من

$$\text{جعل } L(z=0)=1 \text{ للنظام المحدد بالحيود}$$

3. إحداثيات الفتحة البيضوية المائلة

(Coordinates of Inclined Ellipse Aperture)

في البحث الحالي درست الفتحة البيضوية المائلة بزاوية $\pi/4$ ، مع المحور السيني (x-axis) والذى يكون محورها الرئيسي يساوى وحدة واحدة كما في الشكل (1). وللسهولة سوف تؤخذ احداثيات جديدة هي (m,n) مائلة على المحاور (x,y) على التوالي بزاوية $\pi/4$.

ان معادلة المحور الرئيسي، والذي يميل بزاوية $\pi/4$ ،

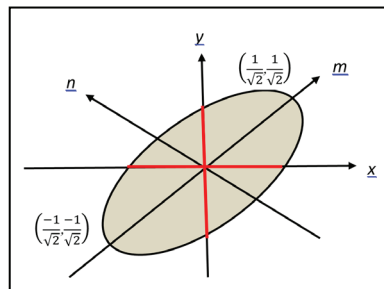
مع المحور السيني هي

$$y = x - 0x$$

بينما معادلة المحور الثانوي، والذي يميل بزاوية $\pi/4$

مع المحور الصادي

$$y = -x + 0x$$



الشكل (1): الفتحة البيضوية المائلة بزاوية $\pi/4$ ، مع المحور السيني



إذن:

$$\int_v e^{2\pi i v \frac{(m+n-m_1-n_1)}{2}} dv = \delta(m+n-m_1-n_1) \quad (24)$$

$$L(u) = \int_m \int_n \int_{m_1} \int_{n_1} \frac{1}{4} f(m, n) f^*(m_1, n_1) e^{2\pi i u \frac{(m-n-m_1+n_1)}{2}} \delta(m+n-m_1-n_1) dm_1 dn_1 dm dn \quad (25)$$

وبما ان:

$$\begin{aligned} \int_{n_1} f^*(m_1, n_1) e^{2\pi i u \frac{(m-n-m_1+n_1)}{2}} \delta(m+n-m_1-n_1) dm_1 \\ = f^*(m_1, m+n-m_1) e^{2\pi i u \frac{(m-n-m_1+m+n-m_1)}{2}} \end{aligned} \quad (26)$$

$$L(u) = \int_m \int_n \int_{m_1} \frac{1}{4} f(m, n) e^{2\pi i u \frac{(m-n-m_1+m+n-m_1)}{2}} f^*(m_1, m+n-m_1) dm_1 dn dm \quad (27)$$

$$L(u) = \int_m \int_n \int_{m_1} \frac{1}{4} f(m, n) e^{2\pi i u \frac{2(m-m_1)}{2}} f^*(m_1, m+n-m_1) dm_1 dn dm \quad (28)$$

لنفرض إن: $n=k-mm+n=k$

فتصبح المعادلة (28) بالصيغة الآتية:

$$L(u) = \int_m \int_n \int_{m_1} \frac{1}{4} f(m, k-m) e^{2\pi i um} f^*(m_1, k-m_1) e^{-2\pi i um_1} dm_1 dn dm \quad (29)$$

$$LSF = L(u) = N \int_n \left| \int_m \frac{1}{2} f(m, n) e^{2\pi i um} dm \right|^2 dn \quad (30)$$

$$LSF = L(z) = N \int_n \left| \int_m \frac{1}{2} f(m, n) e^{izm} dm \right|^2 dn \quad (31)$$

حدود هذه المعادلة تُحصل من معادلة الشكل البيضوي
كالآتي:

إذ ان: (N) يمثل عامل المعايرة للدالة الانتشار الخطية.

$$\begin{aligned} m^2 &= 2 \rightarrow (1 - n^2/b^2) \frac{m^2}{(\sqrt{2})^2} + \frac{n^2}{b^2} = 1 \\ , \quad n &= \pm b \quad m = \pm \sqrt{2 * (1 - n^2/b^2)} \end{aligned}$$

حيث أن $1/(b_1 * 5.333)$ عامل المعايرة لدالة

الانتشار الخطية لفتحة بيضوية أفقية

المعادلة (16) تمثل دالة الانتشار الخطية المعايرة لفتحة
بيضوية أفقية.

ولاشتقاق دالة الانتشار الخطية في مستوى الصورة لمصدر
خطي باستعمال فتحة بيضوية مائلة بزاوية $(4/\pi)$ مع المحور
السيئي، يتوجب اولاً معرفة توزيع السعة المعقدة لنقطة من
المصدر الخطى في مستوى الصورة، إذ ان السعة المعقدة لنقطة
من المصدر الخطى للصورة تعطى بالمعادلة الآتية:

$$F(m, n) = \frac{1}{A} \int_m \int_n f(m, n) e^{2\pi i [u \frac{(m-n)}{2} + v \frac{(m+n)}{2}]} dndm \quad (17)$$

وان دالة الانتشار النقطية أو الشدة تعطى من خلال

تربيع السعة المعقدة كما في المعادلة الآتية:

$$G(u, v) = |F(m, n)|^2 \quad (18)$$

$$G(u, v) = n.f \left| \int_m \int_n \frac{1}{2} f(m, n) e^{2\pi i [u \frac{(m-n)}{2} + v \frac{(m+n)}{2}]} dndm \right|^2 \quad (19)$$

إن السعة المعقدة لجسم خطى هي مجموع السعات
المعقدة الناتجة من جميع نقاط الجسم

$$L(u, v) = \int_v G(u, v) dv \quad (20)$$

$$L(u, v) = \int_v \left| \int_m \int_n \frac{1}{2} f(m, n) e^{2\pi i [u \frac{(m-n)}{2} + v \frac{(m+n)}{2}]} dndm \right|^2 dv \quad (21)$$

$$\begin{aligned} L(u, v) &= \int_v \int_m \int_n \int_{m_1} \int_{n_1} \frac{1}{4} f(m, n) f^*(m_1, n_1) e^{2\pi i [u \frac{(m-n)}{2} + v \frac{(m+n)}{2}]} \\ &\quad . e^{-2\pi i [u \frac{(m_1-n_1)}{2} + v \frac{(m_1+n_1)}{2}]} dn_1 dm_1 dn am dv \end{aligned} \quad (22)$$

$$\begin{aligned} L(u, v) &= \int_m \int_n \int_{m_1} \int_{n_1} \frac{1}{4} f(m, n) f^*(m_1, n_1) e^{2\pi i u \frac{(m-n-m_1+n_1)}{2}} \\ &\quad \int_v e^{2\pi i v \frac{(m+n-m_1-n_1)}{2}} dv dn_1 dm_1 dn dm \end{aligned} \quad (23)$$



وتم استعمال أحدى الطرق العددية لحساب التكاملات العقدية وهي قاعدة سمبسون (Simpson Rule).

وقد تم التأكد من صحة البرامج المكتوبة في (MATLAB)، إذ ان النتائج قد تمت مقارنتها مع تلك المستحصلة من برنامج (MathCAD) وكانت مطابقة لها تماماً. وفيما يلي سوف نستعرض النتائج المحصلة في هذا البحث.

1.6. دالة الانتشار الخطية في حالة النظام المحدد بالحيود ($W=0$)

(Line Spread Function for Diffraction-Limited optical system)

تم حساب دالة الانتشار الخطية في حالة النظام المحدد بالحيود ($W=0$)، لفتحة بيضوية مائلة بزاوية ($\pi/4$) مع المحور السيني، باستعمال المعادلة (32) ومقارنتها مع تلك لفتحة البيضوية الأفقيّة باستعمال المعادلة (61)، كما في الشكل (2)، إذ لوحظ ان اعلى قيمة هي الواحد وهذا بسبب المعايرة، وايضاً نلاحظ عرض الانموذج (FWHM) لدالة الانتشار الخطية على المحور (u) يكون لفتحة البيضوية المائلة اقل من البيضوية وتحسن في قدره التحليل.

وكما هو معروف ان تأثير الزيوج سوف يقلل من قيم القمم لدالة الانتشار الخطية وهذا يؤثر على نوعية الصورة، وان هذا التأثير مختلف باختلاف الخطأ البؤري و أنواع من الزيوج وهي كما يأتي:

1.1.6. دالة الانتشار الخطية مع الخطأ البؤري (W_{020})

(Line Spread Function with Focus Error Factor)

في حالة ادراج الخطأ البؤري (W_{020}) لدالة الانتشار الخطية فإن القيم المختلفة لمعاملات الخطأ البؤري

5. النظام المحدد بالحيود

(Diffraction-Limited System)

ولإيجاد عامل المعايرة فإن $1 = L(z=0)$ في المعادلة (31).

$$LSF = 1 = N \int_{-b}^b \left| \int_{-\sqrt{2(1-\frac{n^2}{b^2})}}^{\sqrt{2(1-\frac{n^2}{b^2})}} \frac{1}{2} dm \right|^2 dn$$

$$LSF = 1 = \frac{1}{4} N \int_{-b}^b \left| \int_{-\sqrt{2(1-\frac{n^2}{b^2})}}^{\sqrt{2(1-\frac{n^2}{b^2})}} dm \right|^2 dn$$

$$LSF = 1 = \frac{1}{4} N \int_{-b}^b \left| 2 * \sqrt{2(1 - \frac{n^2}{b^2})} \right|^2 dn$$

$$1 = \frac{1}{4} * 4 * N \int_{-b}^b \left| \sqrt{2(1 - \frac{n^2}{b^2})} \right|^2 dn \rightarrow = N \int_{-b}^b 2(1 - \frac{n^2}{b^2}) dn \\ = N \left[2n - \frac{2n^3}{3b^2} \right]_{-b}^b \rightarrow 1 = N \left[4 - \frac{4}{3b^2} \right] \rightarrow 1 = N \left[\frac{12b^2 - 4}{3b^2} \right]$$

$$N = \left[\frac{3b^2}{12b^2 - 4} \right]$$

فأن معادلة دالة الانتشار الخطية المعايرة لفتحة البيضوية المائلة بزاوية ($\pi/4$) مع المحور السيني تصبح بالصيغة الآتية:

$$LSF = \left[\frac{3b^2}{12b^2 - 4} \right] * \frac{1}{4} \int_{-b}^b \left| \int_{-\sqrt{2(1-\frac{n^2}{b^2})}}^{\sqrt{2(1-\frac{n^2}{b^2})}} f(m, n) \cdot e^{2\pi i um} dm \right|^2 dn$$

6. النتائج والمناقشة (Results and Discussion)

في هذا البحث تم الأستعانتة ببرنامج الماثكاد (MathCAD) لحل المعادلات المعقده، التي تم اشتقاها في البند السابق، لدالة الانتشار الخطية (LSF). وايضاً تم حل هذه المعادلات بواسطه برمجتها بلغة الماتلاب (MATLAB)،



سوف تغير من (1) في حالة النظام المحدد بالحيود الى (0.99, 0.911, 0.959 and 0.847) على التوالي، وبتعبير آخر ان نسبة سترييل سوف تزداد وبذلك فان الصورة تكون بجودة اعلى، كما في الشكل (5).

(1) $W_{020} = 0.25 \lambda, 0.5 \lambda, 0.75 \lambda, \lambda$ إلى تناقص قيم القمم من (1) في حالة النظام المحدد بالحيود الى (0.861, 0.553, 0.291 and 0.219) على التوالي كما في الشكل (3).

4.1.6 دالة الانتشار الخطية مع الزيج المذنبي (W_{131}) (Line Spread Function with Coma Aberration)

تم حساب دالة الانتشار الخطية للفتحة البيضوية المائلة بزاوية $(\pi/4)$ مع المحور السيني عند المحور (u)، بوجود الزيج المذنبي ($W_{131}=0.25 \lambda, 0.5 \lambda, 0.75 \lambda, 1\lambda$)، $\psi=0$ (الزاوية دوران (,, $3\pi/2, 3\pi/4, \pi, 5\pi/4, \pi/2, \pi/4$ ، $7\pi/40$). فأنه في حالة الزوايا، $\psi=\pi/2$ (الزوايا، $\psi=\pi$) نلاحظ ارتفاع القمم وحصول ازاحة سالبة وموجة قليلة عن المحور على التوالي وللقيم نفسها، كما في الشكل (6) و(7)، والمنحنى يكون اقل عرضًا وهذا يعني زيادة حدة الصورة. وفي حالة الزاوية $\psi=5\pi/4$ و($\pi/4$) نلاحظ بزيادة معامل الزيج المذنبي يقل ارتفاع القمم وحصل ازاحة سالبة وموجة عن المحور اكبر من باقي الزوايا، على التوالي وللقيم نفسها كما في الشكل (8) و(9). اما في حالة الزوايا ($3\pi/4, \psi=7\pi/4$) يكون تأثير الزيج المذنبي قليلاً إذ لا توجد ازاحة عن المحور وذلك لحصول التناظر حول المحور (n) وعدم ظهور قمم ثانوية مما يؤدي الى تقليل الضوضاء كما في الشكل (10).

5.1.6 دالة الانتشار الخطية مع الزيج المذنبي (W_{131}) وزيج الإمالة (W_{111}) Line Spread Function With Coma Aberration and Tilt Aberration

2.1.6 دالة الانتشار الخطية مع الزيج الكروي (W_{040}) (Line Spread Function with Spherical Aberration)

تم حساب دالة الانتشار الخطية لفتحة بيضوية مائلة بزاوية $(\pi/4)$ مع المحور السيني في حالة وجود الزيج الكروي (W_{040}). فأأن تأثيره على الدالة سوف يكون اقل من تأثير الخطأ البؤري إذ ان معامل الزيج الكروي ($W_{040}=0.25 \lambda, 0.5 \lambda, 0.75 \lambda, 1\lambda$) سوف يؤدي الى تناقص قيم القمم من (1) في حالة النظام المحدد بالحيود الى (0.887, 0.639, 0.432, and 0.343) على التوالي كما في الشكل (4).

3.1.6 دالة الانتشار الخطية مع الخطأ البؤري (W_{020}) والزيج الكروي (W_{040}) (Line Spread Function with Focus Error Factor and Spherical Aberration)

تم حساب دالة الانتشار الخطية لفتحة البيضوية المائلة بزاوية $(\pi/4)$ مع المحور السيني بوجود الخطأ البؤري والزيج الكروي وللقيم نفسها من المعاملات ($W_{020}=0.25 \lambda, 0.5 \lambda, 0.75 \lambda, 1\lambda$) . ان تأثير هذا الخطأ سوف يكون اقل من تأثير كل من الخطأ البؤري والزيج الكروي بصورة منفردة، إذ ان قمة الـ LSF

التي الانتشار النقاطية والخطية بأدخال زيج الامالة، ففي حالة كون المعادلة $(W_{111} = -W_{131})$ فإن الإزاحة تصبح في الجهة المعاكسة لحالتها عند وجود الزيج المذنبي بمفردة، أي ان نسبة (W_{111}) التي تم إضافتها تكون كبيرة أي ان التأثير يكون سلبياً على النتائج اما عند اضافة نسبة اقل من (W_{111}) تكون النتيجة افضل فعندما تكون $(W_{131} = -0.5W_{111})$ فإن النتائج تتحسن بكثير وترتفع القمم وتقل الازاحة.

4. في حالة دالة الانتشار الخطية عند المحور(u) عند ادخال الزيج المذنبي (W_{131}) وكذلك عندما تكون $(W_{111} = -W_{131})$ ، حالة الزوايا $(\psi = 7\pi/4, 3\pi/4)$ نلاحظ الحصول على نفس النتائج وعدم وجود ازاحة وهذه الحالة من الزوايا أفضل من باقي الزوايا.

المصادر

- [1] ed., Chap6, nd2 [1] Bruce Hasegaw, «Physics of Medical X-Ray Imaging (1)(1987).
- [2] نزيهة نصار عزيزان الحمداني، رسالة ماجستير،“ تصميم ودراسة منظومة بصرية لقياس دالة الانتقال البصري (MTF) للعدسات في المنطقة تحت الحمراء”，جامعة تكريت، العراق، (2005).
- [3] W. H .Steel, “Calcul de la re'partition the la lumie'redansl'imaged'uneligne”， Rev. Opt.31, 334, (1952).
- [4] W. J. Dallas, H. H. Barrett, R. E. Wagner, H. Roehrig and C. N. West, «Finite-length line-spread function», Optical Society of America, 4, 11, 2039,(1987).
- [5] Yi-rong Yang, Justin Wanek, and Mahnaz Shahidi, “ Representing the retinal linespread shape with mathematical function”, Journal of Zhejiang University.

لتقليل تأثير الزيج تم حساب دالة الانتشار النقاطية للفتحة البيضوية المائلة بزاوية $(4/\pi)$ مع المحور السيني بوجود الزيج المذنبي وزيج الامالة المعاكس له وللقيم نفسها من المعاملات إذ ان :

$(\lambda = 0.25, 0.5, 0.75)$, $(W_{131} = -W_{111})$. لقد لاحظنا في حالة كون المعادلة $(W_{131} = -W_{111})$ فإن الإزاحة تصبح في الجهة المعاكسة لحالتها عند وجود الزيج المذنبي بمفردة، أي ان نسبة (W_{111}) التي تم إضافتها تكون كبيرة أي ان التأثير يكون سلبياً على النتائج ولا ترتفع القمم كثيراً ولا تقل الإزاحة وهذه الحالة تنطبق لجميع الزوايا، وسنأخذ الزاوية $(\psi = \pi/4)$ كمثال عن هذه الزوايا كما في الشكل(11).اما عند اضافة نسبة اقل من (W_{111}) تكون النتيجة افضل فعندما تكون $(W_{131} = -0.5W_{111})$ فإن النتائج تتحسن بكثير وترتفع القمم وتقل الازاحة وجميع حالات الزوايا كما في الأشكال (12)-(13).

وفي حالة الزوايا $\psi = (3\pi/4, 7\pi/4)$ نلاحظ عدم وجود ازاحة وهذه الحالة من الزوايا أفضل من باقي الزوايا كما في الشكل (14).

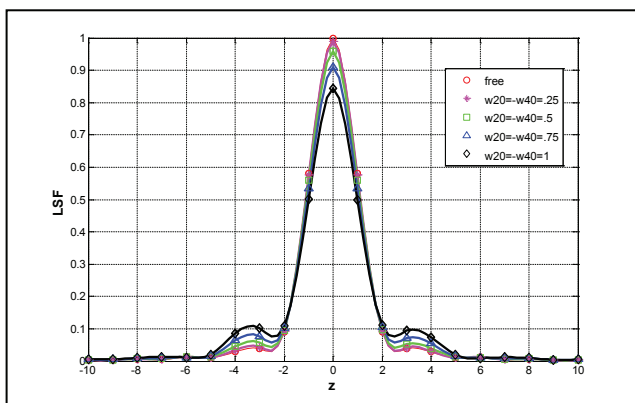
7. الاستنتاجات (Conclusions)

1. عرض دالة الانتشار الخطية عند المحور (u) يكون للفتحة البيضوية المائلة اقل من البيضوية الأفقية في حالة النظام المحدد بالحيود، وهذا يدلل على زيادة فدراة تحليل المنظومة للبيضوية
2. عند وجود الخطأ البؤري والزيج الكروي وللقيم نفسها من المعاملات فان تأثير هذا الخطأ سوف يكون اقل من تأثير كل من الخطأ البؤري والزيج الكروي بصورة منفردة، وبتعبير آخر إن نسبة ستريبل سوف تزداد.
3. يمكن التقليل من تأثير الزيج المذنبي على كل من

- liams and W. L . Wolfe»»HANDBOOK OF OPTICS», Vol. I, Fundamentals, Techniques, and Design, 2nd ed, McGraw-Hill, Inc., New York, (1995).
- [14] Antonin Miks, Jiri Novak, and Pavel Novak, " Dependence of Strehl ratio on f-number of optical system", Czech Technic al University in Prague, Optical Society of America, 51, 17, 3804, (2012).
- [15] Robert D. Guenther, " MODERN OPTICS", Chapter four, John Wiley & Sons, Inc., Canada, (2005).
- [16] F. Buech and D. Jerde, «Principles of physics», McGraw-Hill, Inc., America, (1995).
- [17] A.H. Abdul .Munaim, Ph. D. Thesis, " Numerical Evaluation of Lenses Quality for in Coherent Source Using Computer Software", Almustansiriya University, Iraq, (1997).
- [18] د. عدنان فالح حسن الجبوري, أطروحة دكتوراه، تحسين قدرة تحليل المنظومات البصرية باستخدام الفتحات الدائرية المركبة، ، الجامعة المستنصرية، العراق، (2004).
- [19] F.L. Pedrotti, S.J. Pedrotti and L.S. Pedrotti, " Introduction of Optics ", 2nd ed. Chap 5, prentice -Hall, Inc., USA, (1993).
- [20] E. W. Marchand, » From Line to Point Spread Function: The General Case », Journal Of The Optical Society of America, 55, 4, 352, New York, (1964).
- [21] G. B. Thomas « Calculus and analytical geometry », 4th ed, Addison- Wesley pub-
- Science. B, 9, 12, 996, (2008).
- [6] H.H. AlQazzaz, M. Sc Thesis, " Evaluation of the Image Quality of Line Object by Using Various Apertures ", Baghdad University , Iraq, (1998).
- [7] S.M. Aljanaby, Ph. D. Thesis, " The Effect of Coherent Illumination on Images of One Dimensional Objects ", Almustansiriya University, Iraq, (1999).
- [8] Azhr A. Raheem, « Effect the Multiple Synthetic Aperture on Linear Spread Function Using Optical System Contain High Degrees Of Aberrations », Journal of Kerbala University, 10, 4, 334, (2012).
- [9] Azhr A. Raheem, " Study of Resolution Power and Intensity Distribution for Optical System Using Synthetic Square Aperture ", Journal of Babylon University-Pure and Applied Sciences, 12, 6, 2195, (2013).
- [10] M. Bass, E.W. V. Stryland, D.R. Williams and W.L. Wolfe, » HANDBOOK OF OPTICS », Vol. II, Devices, Measurements, and Properties, 2nd ed, McGraw-Hill, Inc., Optical Society of America, (1995).
- [11] D. Malacara and Z. Malacara, « Handbook of Optical Design », 2nd ed, Marcel Dekker, America, (2004).
- [12] J.W. Goodman, " Introduction to Fourier Optics ", 2nd ed, McGraw-Hill Companies, Inc., America, (1996).
- [13] M. Bass, Eric W . V. Stryland, D.R . Wil-

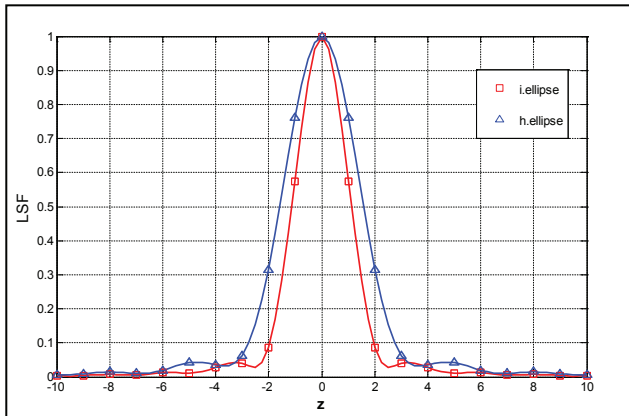


المحور السيني عند المحور (u) لقيم مختلفة من الخطأ البؤري (W_{040})

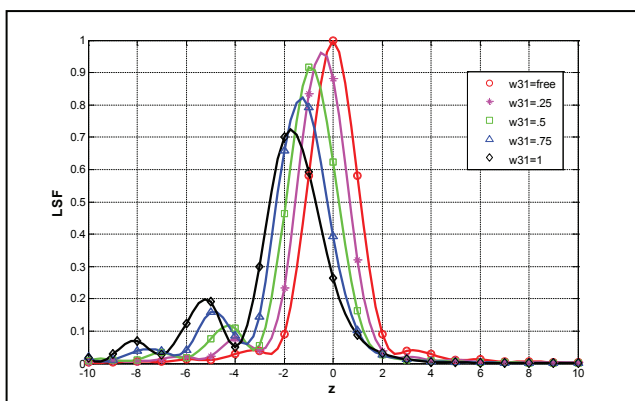


الشكل (5): دالة الانتشار الخطية لفتحة بيضوية مائلة بزاوية ($\pi/4$) مع المحور السيني عند المحور (u) لقيم مختلفة من ($W_{020} = -W_{040}$)

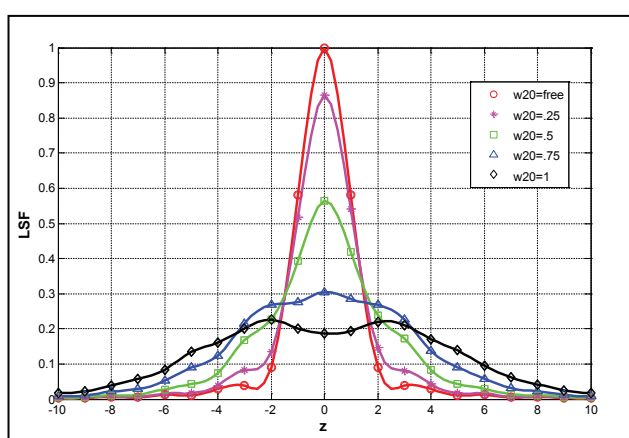
lishing company, London, (1974).



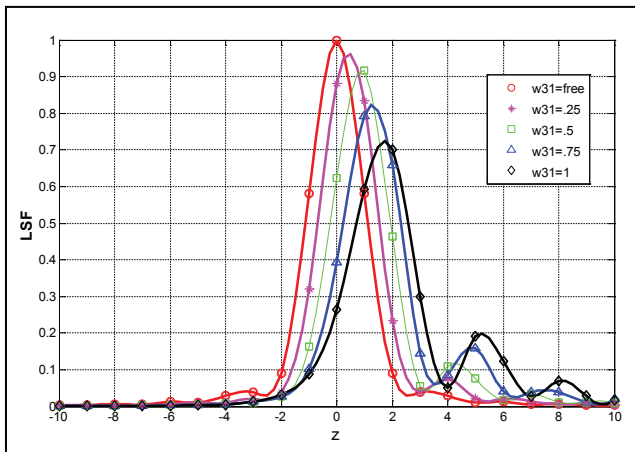
الشكل (2): دالة الانتشار الخطية لنظام محمد بالحيود، حيث ان (i.ellipse) الفتاحة المائلة، و(h.ellipse) الفتاحة الأفقية



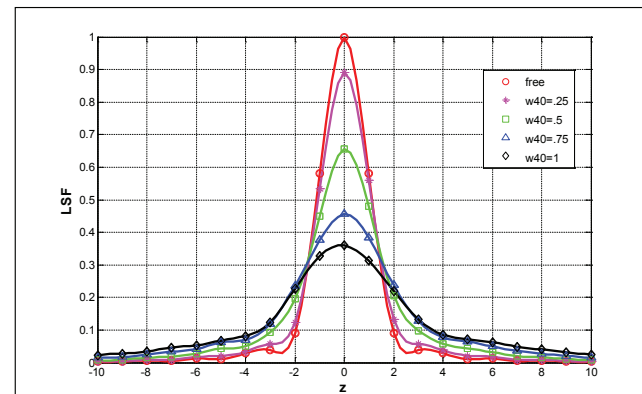
الشكل (6): دالة الانتشار الخطية لفتحة بيضوية مائلة بزاوية ($\pi/4$) مع المحور السيني عند المحور (u) لقيم مختلفة من الريغ المذنبي ($\Psi=0, \pi/2$) عندما (W_{131})



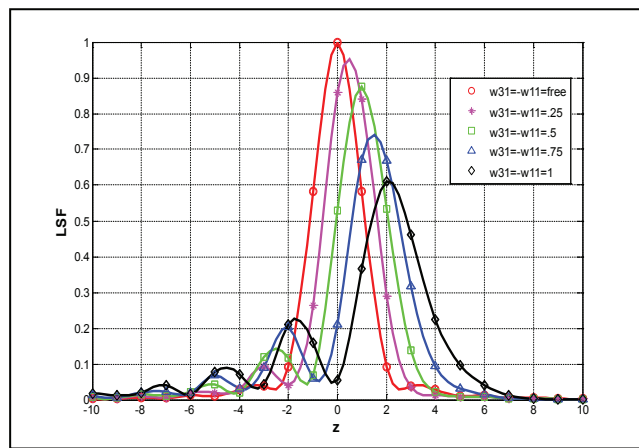
الشكل (3): دالة الانتشار الخطية لفتحة بيضوية مائلة بزاوية ($\pi/4$) مع المحور السيني عند المحور (u) لقيم مختلفة من الخطأ البؤري (W_{020})



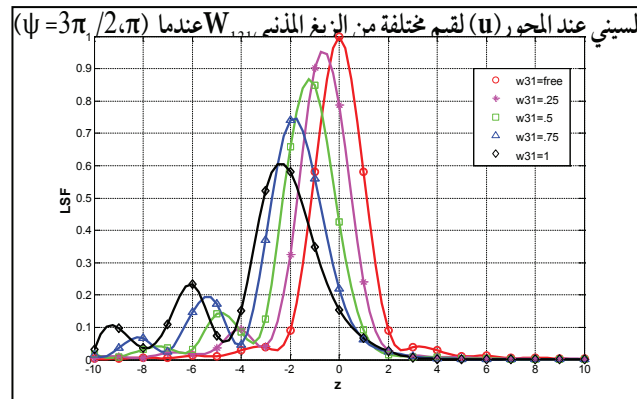
الشكل (7): دالة الانتشار الخطية لفتحة بيضوية مائلة بزاوية ($\pi/4$) مع المحور



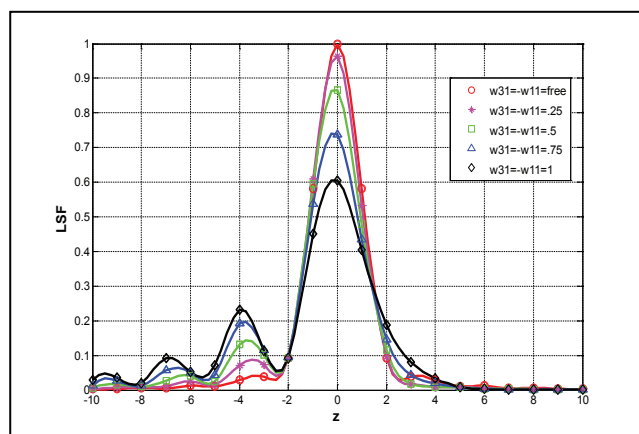
الشكل (4): دالة الانتشار الخطية لفتحة بيضوية مائلة بزاوية ($\pi/4$) مع



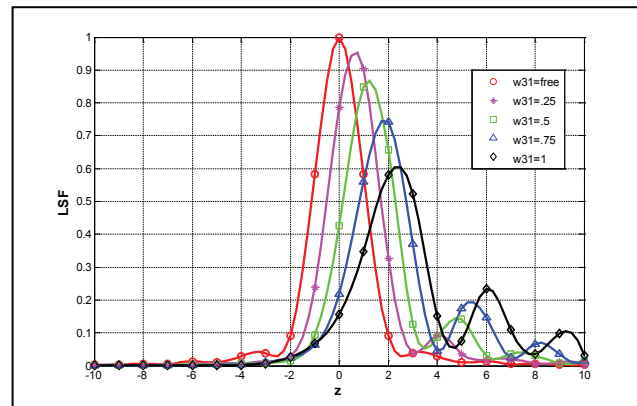
الشكل (11): دالة الانتشار الخطية لفتحة بيضوية مائلة بزاوية $(\pi/4)$ مع المحور السيني عند المحور (u) لقيم مختلفة من $(W_{131} = -W_{111})$ عندما $(\psi = \pi/4)$



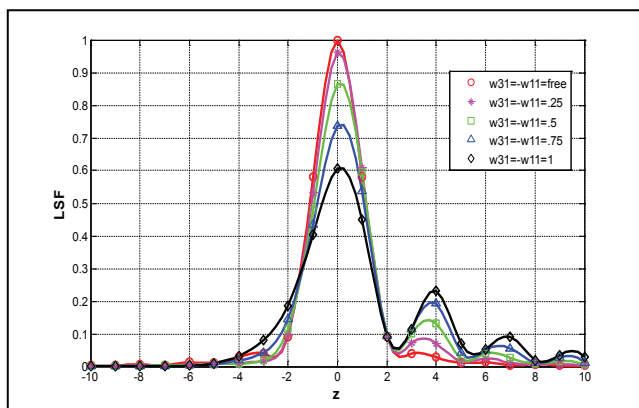
الشكل (8): دالة الانتشار الخطية لفتحة بيضوية مائلة بزاوية $(\pi/4)$ مع المحور السيني عند المحور (u) لقيم مختلفة من الزيج المذنبي $(W_{131} = \pi/4)$ عندما $(\psi = \pi/4)$



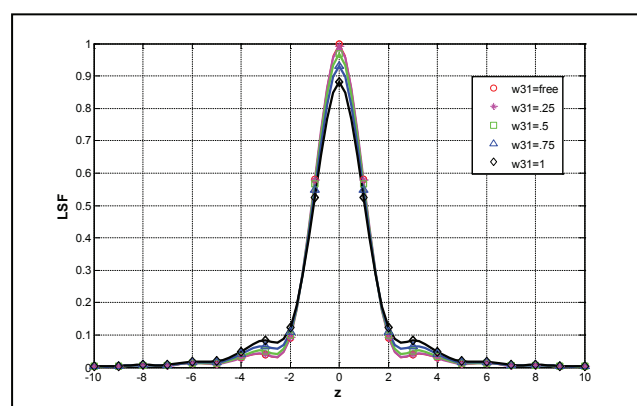
الشكل (12): دالة الانتشار الخطية لفتحة بيضوية مائلة بزاوية $(\pi/4)$ مع المحور السيني عند المحور (u) لقيم مختلفة من $(W_{131} = -0.5W_{111})$ عندما $(\psi = \pi/4)$



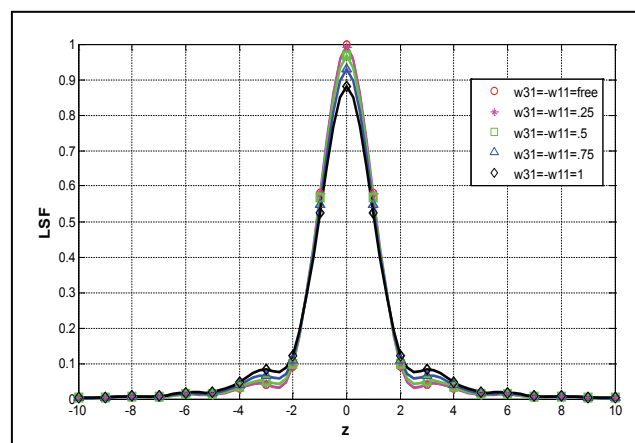
الشكل (9): دالة الانتشار الخطية لفتحة بيضوية مائلة بزاوية $(\pi/4)$ مع المحور السيني عند المحور (u) لقيم مختلفة من الزيج المذنبي $(W_{131} = 5\pi/4)$ عندما $(\psi = 5\pi/4)$



الشكل (13): دالة الانتشار الخطية لفتحة بيضوية مائلة بزاوية $(\pi/4)$ مع المحور السيني عند المحور (u) لقيم مختلفة من $(W_{131} = -0.5W_{111})$ عندما $(\psi = 5\pi/4)$)



الشكل (10): دالة الانتشار الخطية لفتحة بيضوية مائلة بزاوية $(\pi/4)$ مع المحور السيني عند المحور (u) لقيم مختلفة من الزيج المذنبي $(W_{131} = 3\pi/4, 7\pi/4)$ عندما $(\psi = 3\pi/4, 7\pi/4)$



الشكل (14): دالة الانتشار الخطية لفتحة بيضوية مائلة بزاوية $\pi/4$ مع المحور السيني عند المحور (u) لقيم مختلفة من $W_{111} = -0.5W_{131}$ ($\psi = 3\pi/4, \psi = 7\pi/4$) عندما ($\psi = 3\pi/4, \psi = 7\pi/4$)



تحليل الاستقرارية الكلية لنظام رياضي يصف ظاهرة إنتشار وباء التدخين بين طلاب المدارس الثانوية والمتنضم من مصادر خارجية مؤثرة ومساعده على إنتشار الوباء

احمد علي محسن

متوسطة الرياض للبنين، مديرية تربية بغداد الرصافة الاولى، بغداد، العراق.

تاريخ الاستلام: 16 / 3 / 2016

تاريخ قبول النشر: 8 / 9 / 2016

Abstract

There are many factors that affect the student's behavior, which also affects his health, and these factors are the addiction to smoking both types (cigarettes or water pipe). The main objective of the research is to study and determine the effect of the epidemic on students through the study of the dynamic behavior of the proposed model. We assume that the student populations divided into three classes are the first class students potentials of smoking and second class smoking students with a probability of quitting smoking permanently or temporarily last class of students quit Smoking. The existence, uniqueness and boundedness of the solution of this model are investigated. The local and global dynamical behaviors of the model are studied. Finally, in order to confirm our obtained results and specify the effects of model's parameters on the dynamical behavior, numerical simulation of the PSQ model is performed.

Keyword

The addiction to smoking, Dynamical behaviors of the model.

الخلاصة

هناك العديد من الظواهر التي تؤثر على سلوك الطالب والتي تؤثر ايضاً على صحته، ومن هذه الظواهر هو الادمان على التدخين بنوعيه اي (السکائر او الأركيلة). الهدف الرئيسي من البحث هو دراسة ومعرفة مدى تأثير هذا الوباء على الطلاب من خلال دراسة السلوك динاميكي للنموذج المقترن. افترضنا ان المجتمع الطلابي يتكون من ثلاثة اقسام الاول الطلاب المعرضين للتدخين والثاني الطلاب المدخنين مع وجود احتمال ترك التدخين بصورة نهائية او مؤقتة والقسم الاخير الطلاب التاركين للتدخين. تمت مناقشة وجود وحدانية وقيود الحل للنموذج المقترن. قمنا بدراسة السلوك المحلي الشامل له. واحيراً من اجل تأكيد نتائجنا وتحديد تأثير معلمات النموذج التربوي على السلوك динاميكي له اجرينا محاكاة عددية له.

الكلمات المفتاحية

الادمان على التدخين، السلوك динاميكي للنموذج.

الجهاز العصبي، وايضاً بينت الدراسات الطبية ان النيكوتين

يعمل على زيادة نسبة الحوامض الدهنية في الجسم. إضافة الى ذلك بين التحليل الكيميائي لدخان السجائر والاركيلة احتواه على نسبة من الكحول الميثيلي والذي يؤدي الى حدوث العمى المؤقت لدى بعض المدخنين إذا كان المدخن مصاباً بمرض السكري، حيث قد تسبب له حالة من العمى الدائم، ولا يقتصر خطر دخان السجائر والاركيلة على المدخنين بل يطال كل من يستنشق هواء ملوثاً بهذا الدخان السام والقاتل، ففي عام (1990) بينت إحدى الدراسات التي أجريت في الولايات المتحدة الأمريكية أن التدخين يتسبب سنوياً في قتل ما يزيد عن ستة أضعاف عن اللذين قتلوا في الحرب الفيتنامية، كذلك وجد انه يموت سنوياً أكثر

من (3500) شخص بسبب سرطان الرئة الناتج عن دخان السجائر. كما ويعتبر وباء التدخين واحد من أكبر التهديدات للصحة العامة في العالم من اي وباء انتشر في أي وقت مضى، فهو يقتل ما يصل الى نصف من مستخدميه تقريباً. حيث ان في كل سنة ستة ملايين شخص يموت من التدخين مقسمة الى خمسة ملايين شخص منهم من المدخنين والبقية من غير المدخين (اي المعرضين الى دخان السجائر). ومن تقرير لمنظمة الصحة العالمية عن وباء التدخين العالمي (2009) حيث ان استخدام التبغ (السجائر او الاركيلة) يسبب تعطيل وقتل كثير من الناس في سنوات عمرهم الاكثر انتاجية ويستهلك ميزانية الاسرة ويرفع تكاليف الرعاية الصحية ويعوق التنمية الاقتصادية، وكما ان الدراسات الطبية بينت بشكل قاطع ان التدخين هو المسؤول الاول عن الاصابة بمرض السرطان وامراض القلب والشرايين وغيرها من الامراض الخطيرة منها (سرطان تجويف الفم والحنجرة والرئة والمرئ والمثانة والبنكرياس والكلى والمعدة والسككتات الدماغية والذبحة الصدرية وامراض القرحة الهضمية)، وكما وان

1. المقدمة:

ان الدخان الصادر عن السجائر والأركيلة وغيرها خليطاً كيميائياً معقداً للغاية وخطيراً على صحة الانسان وعلى كافة عناصر البيئة، فهو يحتوي على اكثر من (3800) مادة كيميائية سامة، ومن أهمها ذكر أول أوكسيد الكاربون CO حيث يعتبر احد الغازات السامة والخطيرة على حياة الانسان، الامونيا NH_3 ، كبريتيد الهيدروجين H_2S ، الفورمالدهايد HCHO ، الاسيتالدهايد CH_3CHO ، وسيانيد الهيدروجين HCN بالإضافة الى عدد كبير من الاحماض من أهمها، حامض الكربونيك H_2CO_3 وحامض النيتريك HNO_3 وحامض الخليك CH_3COOH وحامض الفورميك HCOOH .

إن دخان السجائر والاركيلة الساخن يحمل ايضاً مجموعة ضخمة من المركبات العضوية المسرطنة والتي اثبتت الدراسات مدى خطورتها، بحيث صنفت عالمياً على انها من المركبات الخطيرة جداً، ومن هذه المواد ذكر مادة البنزوپيرين والتي تعمل على تدمير وإتلاف الخلايا المخاطية للجهاز التنفسى للمدخنين وايضاً تدمر القصبات الهوائية للإنسان المدخن او الفرد الذي يستنشق دخان السجائر، وهذا يؤدي الى الاصابة بالكثير من الالتهابات التي تصيب الجهاز التنفسى. كذلك اثبت التحليل المختبri لدخان السجائر والاركيلة احتواه على عنصر القطران. وايضاً يحتوى دخان السجائر والاركيلة بأنواعه على مركب النيكوتين والذي هو عبارة عن مادة منبهة للجهاز العصبي، واكدت الدراسات على ان مادة النيكوتين تحدث تغيرات كيميائية وفسيولوجية ونفسية حادة لدى المدخنين، تتسارع نبضات القلب وزيادة عددها وتضخمها بشكل كبير وارتفاع ضغط الدم وزيادة إفراز بعض هرمونات الغدد الصماء، كهرمون الادرينالين والذي يؤثر بدوره على عمل



2. النموذج الرياضي:

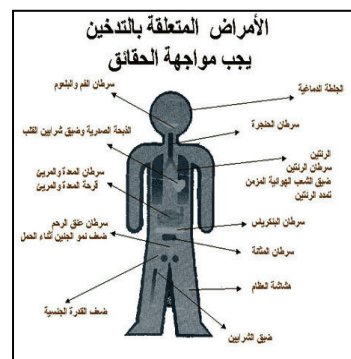
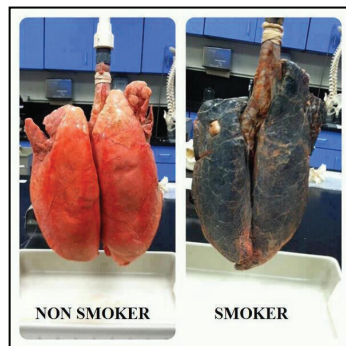
في هذا النموذج قسمنا مجتمع الطلاب الى ثلاثة اقسام (Potentials) القسم الاول الطلاب المعرضين للتدخين (Smokers) والذى يرمز لهم بالرمز $P(t)$ عند الزمن (t)، القسم الثاني (Quit Smoking) ب بصورة نهائية او مؤقتة ويرمز لهم بالرمز $Q(t)$ عند الزمن (t) والقسم الثالث الطلاب التاركين للتدخين $S(t)$ على تطوير نظام التدخين بإضافة صنف التاركين للتدخين، كما مبين أدناه:

$$\begin{aligned} \frac{dP}{dt} &= \Lambda - (\beta S + \sigma + \psi Q + \mu)P \\ \frac{dS}{dt} &= (\beta S + \sigma)P - (\mu + \alpha + \gamma)S + \theta Q \\ \frac{dQ}{dt} &= \gamma S + (\psi P - \mu - \theta)Q \end{aligned} \quad (1)$$

هنا $\Lambda > 0$ تمثل نسبة الطلاب الوافدين الجدد، $0 < \beta$ نسبة تحول الطلاب الى مدخنين عن طريق الاتصال المباشر بين الطلاب المعرضين للتدخين والطلاب المدخنين، $0 \geq \sigma$ وهي نسبة تحول الطلاب الى مدخنين ولكن بسبب مصادر خارجية مؤثرة على الطالب، $0 \geq \psi$ نسبة الطلاب اللذين لم يرغبو بالتدخين من قسم الطلاب المعرضين للتدخين عن طريق الاتصال المباشر مع الطلاب الغير مدخنين او التاركين للتدخين، $0 < \mu$ هي نسبة الموت الطبيعي من كل الاقسام اعلاه (الطلاب المعرضين للتدخين، الطلاب المدخنون والطلاب التاركين للتدخين)، $0 < \alpha$ نسبة الموت بسبب التدخين، $0 < \gamma$ نسبة الطلاب التاركين للتدخين بصورة نهائية او مؤقتة وأخيراً $0 < \theta$ هي نسبة الطلاب العائدين للتدخين. وبناء على ذلك نفرض ان العدد الكلي لمجتمع الطلاب هو $N = P(t) + S(t) + Q(t)$.

ومن الواضح ان المتغيرات في النظام (1) تكون في مجال:

نسبة الوفاة المبكرة للمدخنين قد تصل الى (50%) في كل عام [1]. ومن هنا ظهرت أهمية النماذج الرياضية والتي تعتبر واحدة من اهم الوسائل التي تساعده دراسة وتحليل بعض المشاكل في الحياة وتقديم الحلول المناسبة لها، ففي عام (2000) وضع Castillo-Garsow et al [1] نموذج رياضي لدراسة ظاهرة التدخين، وبعدها قام Sharomi and Gumel [2,3] بالعمل على تطوير نظام التدخين بإضافة صنف التاركين للتدخين، وقام Lahrouz [4] بدراسة ديناميكية لنموذج التدخين. في هذا البحث اقترحنا نموذج رياضي درسنا فيه تأثير ظاهرة انتشار التدخين بين طلاب المدارس الثانوية عن طريق الاتصال المباشر بينهم وعن طريق المصادر الخارجية. درسنا الاستقرارية المحلية والكلية لكل نقاط التوازن المحتملة لنموذج وكذلك قمنا بمحاكاة عدديه لنموذج المقترن بإستخدام برنامجي الماتلاب والـ C++.



شكل (1): عدة صور تمثل المكونات السامة الموجودة في السجائر والامراض التي تسببها وتاثيرها على الجهاز التنفسى

3. إيجاد نقاط التوازن للنظام (1):

في هذا الجزء نناقش وجود كل نقاط التوازن المحتملة للنظام (1). هنا نلاحظ ان النظام (1) يمتلك اثنين من نقاط التوازن المحتملة وسوف نرمز لها بالرمز $E_i = (P_i, S_i, Q_i)$ $i = 0, 1$ حيث تم وضع شروط الوجود لكل نقاط التوازن كما مبين ادناه:

اذا كان $S = Q = 0$ يتبع ان النظام (1) يمتلك نقطة توازن تسمى نقطة التوازن الحالية من الطلاب المدخنين $E_0 = (P_0, 0, 0)$ والذاركين للتدخين ويرمز لها بالرمز (1) حيث ان:

$$P_0 = \frac{\Lambda}{\mu} \quad (2)$$

اذا كان $Q \neq 0, S \neq 0$ فان النظام (1) يمتلك نقطة توازن تسمى نقطة التوازن في حالة وجود كل من الطلاب المدخنين والطلاب الذاركين للتدخين ويرمز لها بالرمز $E_1 = (P_1, S_1, Q_1)$ حيث ان S_1, P_1 و Q_1 تمثل الحل

الموجب للمعادلات ادناه:

$$\begin{aligned} \Lambda - (\beta S + \sigma + \psi Q + \mu)P &= 0 \\ (\beta S + \sigma)P - (\mu + \alpha + \gamma)S + \theta Q &= 0 \\ \gamma S + (\psi P - \mu - \theta)Q &= 0 \end{aligned} \quad (3)$$

من المعادلة الاولى في النظام (3) يتبع ان:

$$P_1 = \frac{\Lambda}{\beta S + \sigma + \psi Q + \mu} \quad (4a)$$

وبتعويض قيمة P_1 في المعادلة الثالثة من النظام (3) نحصل على:

$$S_1 = \frac{-D_2}{2D_1} + \frac{1}{2D_1} \sqrt{D_2^2 - 4D_1D_3} \quad (4b)$$

حيث ان:

$$D_1 = \beta$$

$$D_2 = [\gamma(\sigma + \psi Q + \mu) - \beta Q(\mu + \theta)]$$

$$D_3 = Q[\Lambda \psi - (\mu + \theta)(\sigma + \psi Q + \mu)]$$

$$\mathfrak{R}_+^3 = \{(P, S, Q) \in \mathfrak{R}_+^3, P \geq 0, S \geq 0, Q \geq 0\}$$

أي ان النظام (1) له ثبات ايجابي. اضافة الى ذلك ان المعادلات في النظام (1) هي مستمرة ومشتقاتها مستمرة وتحقق دالة ليشيزين من هذا يتبع ان الحل موجود ووحيد في \mathfrak{R}_+^3 ، كما ان جميع حلول النظام (1) لا تمتلك شروط ابتدائية سالبة وتكون مقيدة بانتظام كما مبين في النظرية ادناه: مبرهنة 1: كل الحلول للنظام (1) تكون في \mathfrak{R}_+^3 هي مقيدة بانتظام.

البرهان:

ليكن $(P(t), S(t), Q(t))$ هي أية حلول للنظام (1) مع شروط ابتدائية غير سالبة $(P(0), S(0), Q(0))$ حيث ان $N(t) = P(t) + S(t) + Q(t)$ وهذا يتبع:

$$\begin{aligned} \frac{dN}{dt} &= \frac{dP}{dt} + \frac{dS}{dt} + \frac{dQ}{dt} \\ &= \Lambda - \mu(P + S + Q) - \alpha S \end{aligned}$$

ومنها نحصل على:

$$\frac{dN}{dt} \leq \Lambda - \mu(P + S + Q)$$

أي ان:

$$\frac{dN}{dt} + \mu N \leq \Lambda$$

والآن باستخدام نتيجة كرونوال [5] نحل المعادلة التفاضلية اعلاه نحصل على:

$$N(t) \leq \frac{\Lambda}{\mu} \left(1 - e^{-\mu t}\right) + N(0)e^{-\mu t}$$

وعندما يتبع ان $t \rightarrow \infty$ عندما $N(t) \leq \frac{\Lambda}{\mu}$ أي ان كل حلول النظام (1) تبدأ في \mathfrak{R}_+^3 وتكون في المنطقة $\Omega = \{(P, S, Q) \in \mathfrak{R}_+^3 : N \leq \frac{\Lambda}{\mu}\}$ وهذا نهاية البرهان.

$$F(x) = \begin{pmatrix} (\beta S + \sigma)P \\ 0 \\ 0 \end{pmatrix}, \quad V(x) = \begin{pmatrix} (\mu + \alpha + \gamma)S - \theta Q \\ -\gamma S - (\psi P - \mu - \theta)Q \\ (\beta S + \sigma + \psi Q + \mu)P - \Lambda \end{pmatrix}$$

حيث ان:

$$F = \begin{bmatrix} \beta \Lambda \\ \mu \end{bmatrix}, \quad V = [\mu + \alpha + \gamma]$$

وبحساب المشقة نحصل على:

$$V^{-1} = \frac{1}{\mu + \alpha + \gamma}$$

ومنها نحصل على ان:

ولذلك فأن $F \cdot V^{-1}$ يمثل عدد الانتاج الاساسي ومن خلال النظرية (2) في [6]، فأن:

$$R_o = \frac{\beta \Lambda}{\mu(\mu + \alpha + \gamma)} \quad (5)$$

5. تحليل الاستقرارية المحلية للنظام (1):

في هذا الجزء ندرس الاستقرارية المحلية للنظام (1) ولكل نقاط التوازن الخاصة بالنظام وذلك بالاعتماد على مصفوفة الجاكوبيةً وكما مبين في المبرهنة التالية:

مبرهنة 2: نقطة التوازن الحالية من الطلاب المدخنين والطلاب الناركين للتدخين الخاصة بالنظام (1) وهي $E_0 = \left(\frac{\Lambda}{\mu}, 0, 0 \right)$ تكون مستقرة استقراراً محلياً إذا تحققت الشرط أدناه إضافة إلى أن $R_o < 1$.

$$\frac{\theta(\sigma + \mu)}{\sigma\psi} < R_o < \max \left\{ \frac{\mu + \alpha + \gamma}{\beta}, \frac{\mu + \theta}{\psi} \right\} \quad (6a)$$

$$[\beta P_o - (\mu + \alpha + \gamma)][\psi P_o - (\mu + \theta)] > \gamma\theta \quad (6b)$$

$$2(\sigma + \mu)[\beta P_o - (\mu + \alpha + \gamma)][\psi P_o - (\mu + \theta)] > \sigma\gamma\psi P_o. \quad (6c)$$

البرهان:

بما ان النظام المقترن مكون من معادلات غير خطية فان مصفوفة الجاكوبيةً له وعند نقطة التوازن الحالية من المدخنين والتاركين للتدخين E_0 والتي يمكن كتابتها بالشكل التالي:

$$J(E_0) = \begin{bmatrix} a_{11} & a_{12} & a_{13} \\ a_{21} & a_{22} & a_{23} \\ a_{31} & a_{32} & a_{33} \end{bmatrix}$$

وعليه فإن $S_1 > 0$ إذا تحققت الشروط التالية:

$$\gamma(\sigma + \psi Q + \mu) < \beta Q(\mu + \theta) \quad (4c)$$

$$\Lambda\psi < (\mu + \theta)(\sigma + \psi Q + \mu) \quad (4d)$$

الآن نعرض قيمتي P_1 و S_1 في المعادلة الثانية من النظام

(3) وبإجراء عمليات جبرية بسيطة نحصل على:

$$Q_1 = \frac{-K_2}{2K_1} + \frac{1}{2K_1} \sqrt{K_2^2 - 4K_1K_3} \quad (4e)$$

$$K_1 = \psi\theta$$

$$K_2 = \theta(\beta S_1 + \sigma + \mu) - \psi S_1(\mu + \alpha + \gamma)$$

$$K_3 = \Lambda(\beta S_1 + \sigma) - S_1(\mu + \alpha + \gamma)(\beta S_1 + \sigma + \mu)$$

وعليه فإن $Q_1 > 0$ إذا تحققت الشروط التالية:

$$\theta(\beta S_1 + \sigma + \mu) < \psi S_1(\mu + \alpha + \gamma) \quad (4f)$$

$$\Lambda(\beta S_1 + \sigma) < S_1(\mu + \alpha + \gamma)(\beta S_1 + \sigma + \mu) \quad (4g)$$

والآن النقطة $E_1 = (P_1, S_1, Q_1)$ تكون موجودة ووحيدة ومحببة إذا تحققت الشرط (4a)-(4g).

4. عدد الانتاج الاساسي للنظام (1):

عدد الانتاج (الاستنساخ) الاساسي، ويسمى أحياناً معدل الانجاب الاساسي او النسبة الانجابية الاساسية، هو واحد من المعلومات المفيدة التي تميز المشاكل الرياضية المتعلقة بالأمراض. هذا المقياس هو مفيد لأنّه يساعد على تحديد ما إذا كان أحد الأمراض المعديّة أو من غير المعديّة سوف يتشرّش في المجتمع السكاني أو كلا. في هذا القسم سوف نقوم بحساب عدد الانتاج الاساسي للنظام (1) عند النقطة E_0 . والآن من السهولة مشاهدة ان النظام (1) دائمًا يمتلك نقطة خالية من المرض (التدخين) والتاركين للتدخين وهي $E_0 = \left(\frac{\Lambda}{\mu}, 0, 0 \right)$

أي ان كل من $S = Q = 0$ ، ليكن $X = (S, Q, P)^T$ ، عندها يمكن كتابة النظام (1) بالصورة الآتية:

$$\frac{dX}{dt} = F(x) - V(x),$$

$$(\beta S + \sigma + \psi Q)P_0 < (\mu + \alpha)S + \mu Q \quad (10)$$

البرهان:

لتكن V_1 دالة موجبة حيث ان:

$$V_1 = \left(P - P_0 - P_0 \ln \frac{P}{P_0} \right) + S + Q$$

من الواضح ان $V_1 : R_+^3 \rightarrow R$ هي دالة مستمرة ومشتقتها مستمرة ايضاً بحيث ان:

$$V_1 = (P_0, 0, 0) = 0, \quad V_1(P, S, Q) > 0 \quad \forall (P, S, Q) \neq (P_0, 0, 0)$$

وبأخذ المشتقة للدالة V_1 نحصل على:

$$\begin{aligned} \frac{dV_1}{dt} &= \left(\frac{P - P_0}{P} \right) \frac{dP}{dt} + \frac{dS}{dt} + \frac{dQ}{dt} \\ &= \left(\frac{P - P_0}{P} \right) (\Lambda - (\beta S + \sigma + \psi Q + \mu)P) + (\beta S + \sigma)P \\ &\quad - (\mu + \alpha + \gamma)S + \theta Q + \gamma S + (\psi P - \mu - \theta)Q \end{aligned}$$

وبتبسيط هذه المعادلة يتبع:

$$\frac{dV_1}{dt} = \frac{-\mu}{P} (P - P_0)^2 - ((\mu + \alpha)S + \mu Q) + (\beta S + \sigma + \psi Q)P_0$$

وإذا كان الشرط (10) متحقق فان:

$$\frac{dV_1}{dt} \leq \frac{-\mu}{P} (P - P_0)^2 - ((\mu + \alpha)S + \mu Q) + (\beta S + \sigma + \psi Q)P_0$$

حيث ان $\frac{dV_1}{dt} < 0$ و V_1 تحقق دالة ليابانوف اذا تحقق الشرط (10) وهذا ينبع بان نقطة التوازن الحالية من التدخين والتاركين للتدخين (E_0) تكون مستقرة استقراراً كلياً.

مبرهنة 5: نقطة التوازن الثانية (E_1) تكون مستقرة استقراراً كلياً اذا تحققت الشروط الآتية:

$$P_1 < \max \left\{ \frac{\mu + \alpha + \gamma}{\beta}, \frac{\mu + \theta}{\psi} \right\} \quad (11a)$$

$$[\beta S + \sigma - \beta P_1]^2 < (\beta S + \sigma + \mu + \psi Q)(\mu + \alpha + \gamma - \beta P_1) \quad (11b)$$

$$[\psi(P_1 + Q)]^2 < (\beta S + \sigma + \mu + \psi Q)(\mu + \theta - \psi P_1) \quad (11c)$$

$$[\theta + \gamma]^2 < (\mu + \alpha + \gamma - \beta P_1)(\mu + \theta - \psi P_1) \quad (11d)$$

البرهان:

لتكن V_2 دالة موجبة ومعرفة بالشكل الآتي:

$$V_2 = \frac{(P - P_1)^2}{2} + \frac{(S - S_1)^2}{2} + \frac{(Q - Q_1)^2}{2}$$

$$+ \gamma \psi (\beta S_1 + \sigma) P_1]$$

ومن هنا نجد ان:

$$\Delta = B_1 B_2 - B_3$$

$$\begin{aligned} &= -(b_{11} + b_{22} + b_{33})(b_{11} b_{22} - b_{12} b_{21} + b_{11} b_{33} - b_{13} b_{31} \\ &+ b_{22} b_{33} - b_{23} b_{32}) + (b_{11} b_{22} b_{33} + b_{12} b_{31} b_{23} + b_{13} b_{21} b_{32} \\ &- b_{11} b_{23} b_{32} - b_{33} b_{12} b_{21} - b_{22} b_{13} b_{31}) \end{aligned}$$

وبتبسيط مقدار الدلتا اعلاه نحصل على:

$$\begin{aligned} \Delta &= [b_{11} + b_{22}] [b_{12} b_{21} - b_{11} b_{22}] + [b_{11} + b_{33}] [b_{13} b_{31} - b_{11} b_{33}] \\ &+ [b_{22} + b_{33}] [b_{23} b_{32} - b_{22} b_{33}] - 2b_{11} b_{22} b_{33} + b_{13} b_{21} b_{32} \\ &= \{-(\beta S_1 + \sigma + \psi Q_1 + \mu) + (\beta P_1 - (\mu + \alpha + \gamma))\} \{ -\beta (\beta S_1 + \sigma) P_1 \\ &+ (\beta S_1 + \sigma + \psi Q_1 + \mu) (\beta P_1 - (\mu + \alpha + \gamma)) \} + \{-(\beta S_1 + \sigma + \psi Q_1 + \mu) \\ &+ (\psi P_1 - (\mu + \theta))\} \{ -\psi^2 P_1 Q_1 + (\beta S_1 + \sigma + \psi Q_1 + \mu) (\psi P_1 - (\mu + \theta)) \} \\ &+ \{(\beta P_1 - (\mu + \alpha + \gamma)) + (\psi P_1 - (\mu + \theta))\} \{ \gamma \theta - (\beta P_1 - (\mu + \alpha + \gamma)) \\ &\times (\psi P_1 - (\mu + \theta)) \} + 2(\beta S_1 + \sigma + \psi Q_1 + \mu) (\beta P_1 - (\mu + \alpha + \gamma)) \\ &\times (\psi P_1 - (\mu + \theta)) - \gamma \psi (\beta S_1 + \sigma) P_1 \end{aligned}$$

والآن عند تطبيق قاعدة روث-هوارتز [7] تكون نقطة التوازن الثانية E_1 الخاصة بالنظام (1) مستقرة استقراراً محلياً اذا كانت الشروط $A_1 > 0; A_3 > 0$ و $\Delta = A_1 A_2 - A_3 > 0$ متحققة. وبسهولة نلاحظ ان $A_1 > 0; A_3 > 0$ تكون موجبة إذا تحقق الشرط (8a)، بينما $\Delta = A_1 A_2 - A_3 > 0$ تكون متحققة اذا تحقق الشرط (8a)-(8c).

6. تحليل الاستقرارية الكلية للنظام (1):

في هذا الجزء سندرس الاستقرارية الكلية للنظام (1) ولكل نقاط التوازن الخاصة بالنظام وذلك بالاعتماد على دالة ليابانوف [8] وكما مبين في النظريات أدناه.

مبرهنة 4: نقطة التوازن الحالية من المدخنين والتاركين للتدخين (E_0) تكون مستقرة استقراراً كلياً اذا تحقق الشرط الآتي:



من الواضح ان $V_2 : R_+^3 \rightarrow R$ هي دالة مستمرة ومشتقتها مستمرة ايضاً بحيث ان: $V_2 = (P_1, S_1, Q_1) = 0, V_2(P, S, Q) > 0 \forall (P, S, Q) \neq (P_1, S_1, Q_1)$
لنا الحالات الآتية:

❖ نقطة التوازن الاولى أي في حالة عدم وجود كل من المدخنين والتاركين للتدخين E_0 اخترنا البيانات ادناه:

$$\begin{aligned} \Lambda &= 350 ; \beta = 0.0000001 ; \sigma = 0 ; \psi = 0.00001 ; \mu = 0.0 \\ \alpha &= 0.0 ; \gamma = 0.0 ; \theta = 0.0 ; R_0 = 0.11666 \end{aligned} \quad (12)$$

حيث ان نقطة التوازن الاولى للنظام (1) تكون مستقرة استقراراً كلياً والنظام يقترب الى (3500,0,0)، (انظر الشكل 2).

❖ نقطة التوازن الثانية أي في حالة وجود كل من المدخنين والتاركين للتدخين E_1 اخترنا البيانات ادناه:

$$\begin{aligned} \Lambda &= 350 ; \beta = 0.0003 ; \sigma = 0.0 ; \psi = 0.0001 ; \mu = 0.1 \\ \alpha &= 0.0 ; \gamma = 0.0 ; \theta = 0.0 ; R_0 = 8.3 \end{aligned} \quad (13)$$

حيث ان نقطة التوازن الثانية للنظام (1) تكون مستقرة استقراراً كلياً والنظام يقترب الى (1159,625,1622)، (انظر الشكل 3).

❖ الان نغير قيمة نسبة الطلاب المدخنين عن طريق الاتصال المباشر والقصد بها (β) لتأخذ القيم على $\beta = 0.0003, 0.0005, 0.001, 0.003$ التوالي مع ثبيت قيم جميع الباراميتراط الموجودة في المعادلة (13). عندها نلاحظ ان السلوك للنظام (1) لا يزال يقترب لنقطة الثانوية (E_1) ولكن نلاحظ نقصان في عدد الطلاب المعرضين للتدخين والتاركين له ايضاً مع زيادة في عدد المدخنين، (انظر الاشكال 4a-4c).

❖ أما إذا قمنا بتغيير قيمة نسبة الطلاب المدخنين عن طريق المصادر الخارجية والتي يرمز لها بالرمز (σ) لتأخذ القيم $\sigma = 0.02, 0.05, 0.1, 0.3$ على التوالي

والآن نحسب المشتقه للدالة V_2 نحصل على:

$$\begin{aligned} \frac{dV_2}{dt} &= (P - P_1) \frac{dP}{dt} + (S - S_1) \frac{dS}{dt} + (Q - Q_1) \frac{dQ}{dt} \\ &= (P - P_1)[\Lambda - (\beta S + \sigma + \psi Q + \mu)P] + (S - S_1)[(\beta S + \sigma)P \\ &\quad - (\mu + \alpha + \gamma)S + \theta Q] + (Q - Q_1)[\gamma S + (\psi P - \mu - \theta)Q] \end{aligned}$$

وبتبسيط المعادلة اعلاه يتتج:

$$\begin{aligned} \frac{dV_2}{dt} &= \frac{-1}{2} q_{11}(P - P_1)^2 + q_{12}(P - P_1)(S - S_1) - \frac{1}{2} q_{22}(S - S_1)^2 \\ &\quad - \frac{1}{2} q_{11}(P - P_1)^2 + q_{13}(P - P_1)(Q - Q_1) - \frac{1}{2} q_{33}(Q - Q_1)^2 \\ &\quad - \frac{1}{2} q_{22}(S - S_1)^2 + q_{23}(S - S_1)(Q - Q_1) - \frac{1}{2} q_{33}(Q - Q_1)^2 \end{aligned}$$

حيث ان:

$$\begin{aligned} q_{11} &= (\beta S + \sigma + \mu + \psi Q) ; q_{12} = (\beta S + \sigma - \beta P_1) \\ q_{22} &= (\mu + \alpha + \gamma - \beta P_1) ; q_{13} = \psi(P_1 + Q) ; q_{33} = (\mu + \theta - \psi P_1) \\ q_{23} &= \theta + \gamma \end{aligned}$$

وإذا كانت الشروط (11a-11d) متحققة نحصل على:

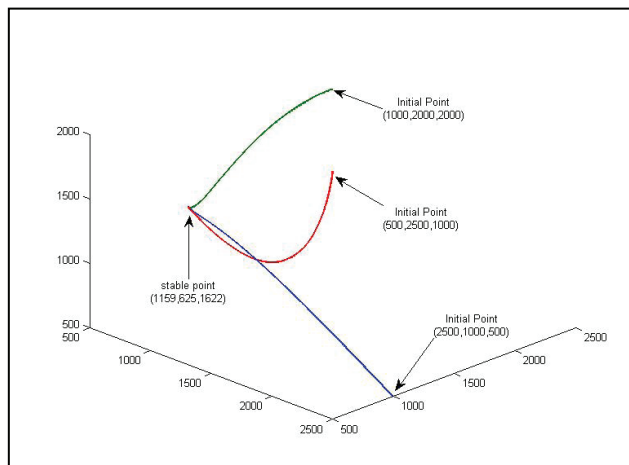
$$\begin{aligned} \frac{dV_2}{dt} &\leq - \left[\sqrt{\frac{q_{11}}{2}}(P - P_1) + \sqrt{\frac{q_{22}}{2}}(S - S_1) \right]^2 \\ &\quad - \left[\sqrt{\frac{q_{11}}{2}}(P - P_1) + \sqrt{\frac{q_{33}}{2}}(Q - Q_1) \right]^2 \\ &\quad - \left[\sqrt{\frac{q_{22}}{2}}(S - S_1) + \sqrt{\frac{q_{33}}{2}}(Q - Q_1) \right]^2 \end{aligned}$$

وببساطة، $\frac{dV_2}{dt} < 0$ و V_2 هي دالة ليابانوف اذا تحققت الشروط (11a-11d) ومن هذا يتتج باان نقطة التوازن الثانية (E_1) تكون مستقره استقراراً كلياً.

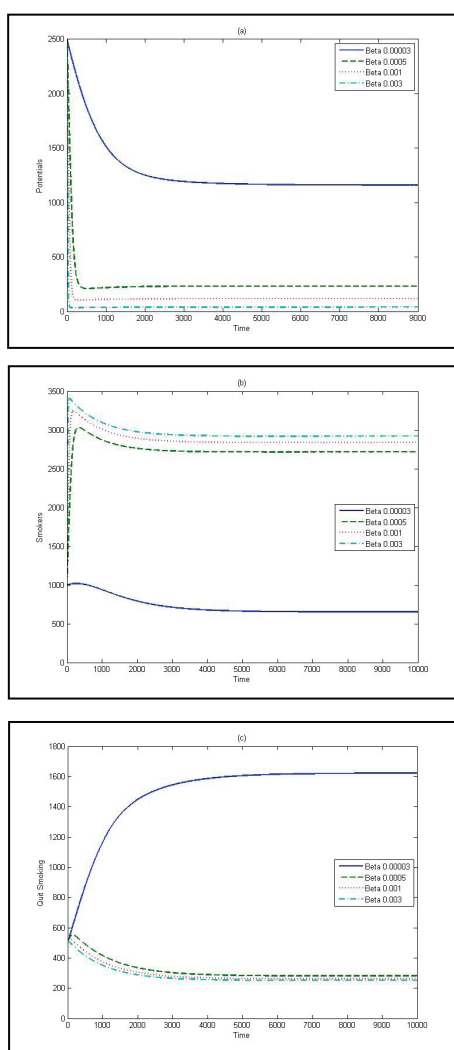
6. المحاكاة العددية للنظام (1):

في هذا البند ندرس الديناميكية الكلية للنظام (1). الهدف الرئيسي من هذه الدراسة هو فهم وتحليل نتائج تأثير كل باراميتر موجود في النظام (1) على السلوك الديناميكي للنموذج المقترن. حيث تم الحل العددي للنظام (1) من خلال مجموعة مختلفة من الشروط الابتدائية وهي (2500,1)

شكل (2): يمثل الاستقرارية الكلية لنقطة التوازن الاولى E_0 للنظام (1).



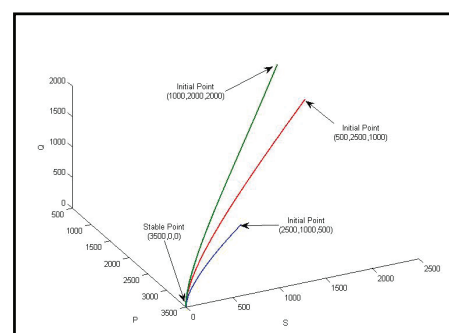
شكل (3): يمثل الاستقرارية الكلية لنقطة التوازن الثانية E_1 للنظام (1)

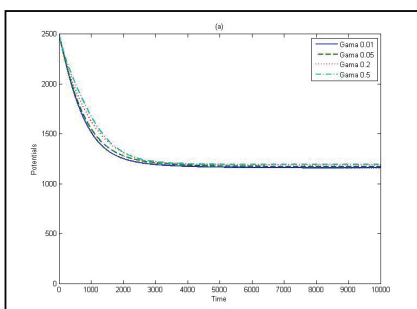


مع تثبيت قيمة جميع الباراميترات الموجودة في المعادلة (13). عندما نلاحظ أن السلوك للنظام (1) لا يزال يقترب لنقطة الثانية (E_1) أيضاً نلاحظ نقصان في عدد الطلاب المعرضين للتدخين والتاركين له أيضاً مع زيادة في عدد المدخنين، (انظر الاشكال 5a-5c).

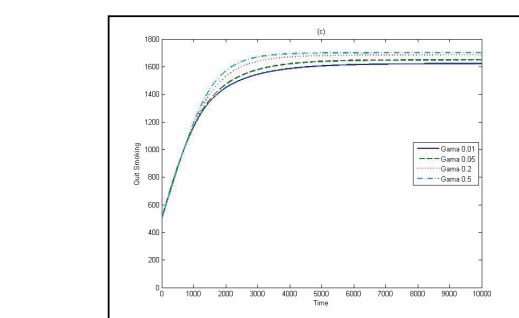
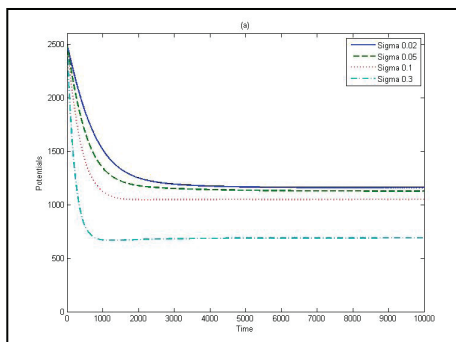
❖ الان ندرس تأثير نسبة الطلاب التاركين للتدخين والتي يرمز لها بالرمز (γ) لتأخذ القيم $0.01, 0.05, 0.2, 0.5$ على التوالي مع تثبيت قيمة جميع الباراميترات الموجودة في المعادلة (13). عندما نلاحظ أن السلوك للنظام (1) لا يزال يقترب لنقطة الثانية (E_1) ولكن نلاحظ نقصان في عدد الطلاب المدخنين مع زيادة بسيطة جداً في عدد الطلاب المعرضين للتدخين والتاركين للتدخين، (انظر الاشكال 6a-6c).

❖ أخيراً ندرس تأثير نسبة الطلاب العائدين للتدخين والتي يرمز لها بالرمز (θ) لتأخذ القيم $0.02, 0.05, 0.1, 0.4$ على التوالي مع تثبيت قيمة جميع الباراميترات الموجودة في المعادلة (13). عندما نلاحظ أن السلوك للنظام (1) لا يزال يقترب لنقطة الثانية (E_1) ولكن نلاحظ نقصان في عدد الطلاب التاركين للتدخين مع زيادة في عدد كل من الطلاب المعرضين للتدخين والمدخنين، (انظر الاشكال 7a-7c).

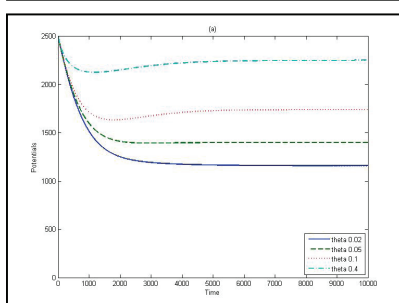
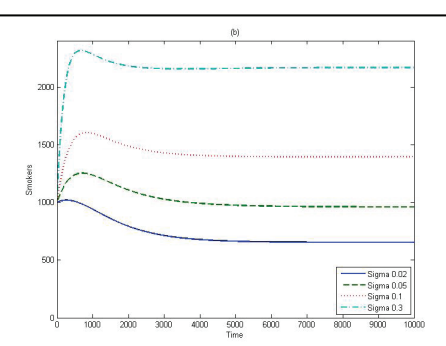
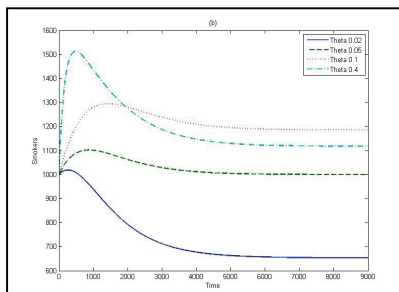




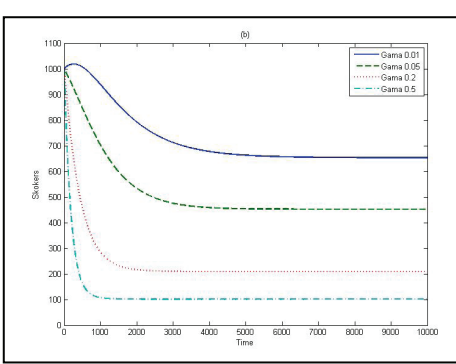
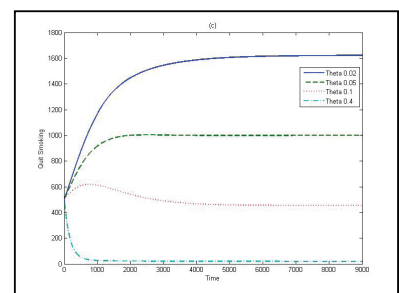
شكل (4): يمثل المتسلسلة الزمنية حل النظام (1). حيث ان (a) يمثل الطالب المعرضين للتدخين. (b) يمثل الطالب المدخنين. (C) يمثل الطالب التاركين للتدخين.



شكل (6): يمثل المتسلسلة الزمنية حل النظام (1). حيث ان (a) يمثل الطالب المعرضين للتدخين. (b) يمثل الطالب المدخنين. (C) يمثل الطالب التاركين للتدخين.



شكل (5): يمثل المتسلسلة الزمنية حل النظام (1). حيث ان (a) يمثل الطالب المعرضين للتدخين. (b) يمثل الطالب المدخنين. (C) يمثل الطالب التاركين للتدخين.



شكل (7): يمثل المتسلسلة الزمنية حل النظام (1). حيث ان (a) يمثل الطالب المعرضين للتدخين. (b) يمثل الطالب المدخنين. (C) يمثل الطالب التاركين للتدخين.



7. الاستنتاجات والمناقشة:

- عن طريق المصادر الخارجية.
4. عند زيادة نسبة العائددين للتدخين θ نلاحظ زيادة في اعداد S ونقصان في اعداد P, Q . ولكن النظام (1) يبقى متوجه نحو نقطة التوازن E_1 .
5. في حالة زيادة نسبة التاركين للتدخين γ , نلاحظ زيادة بسيطة في اعداد P, Q , ونقصان في اعداد كل من S . والنظام يقترب من نقطة التوازن E_1 .

8. التوصيات:

انتشار التدخين في المدارس وحتى خارج المدارس أصبح مشكلة حقيقة يجب التوقف عنها وتشخيص اسباب إنتشارها ودراسة أثارها السلبية لتمكن من وضع الحلول المناسبة للحد من انتشارها. وهذا يتطلب توحيد الجهد للكل المعنيين بالعملية التربوية و غيرها للقضاء على هذا الوباء الذي بدأ يهدد كل افراد المجتمع الطلابي وغير طلابي وبجميع اعماهم. من هنا نريد ان طبق امر الله تعالى في الحفاظ على افسنا واولادنا وكما قال الله تعالى في محكم كتابه الكريم "يَا أَيُّهَا الَّذِينَ آمَنُوا قُوْا أَنفُسُكُمْ وَأَهْلِيْكُمْ نَارًا وَقُوْدُهَا النَّاسُ وَالْحِجَارَةُ عَلَيْهَا مَلَائِكَةٌ غِلَاظٌ شِدَادٌ لَا يَعْصُمُنَّ اللَّهُ مَا أَمْرَهُمْ وَيَفْعَلُونَ مَا يُؤْمِرُونَ" (6) سورة التحرير. ولحماية الطلاب من سموم التدخين يجب التعاون بين كل من إدارة المدرسة وعوائل الطلاب والمتمثلة بالوالدان او من ينوب عنهم، فالعائلة تقع عليها المسؤولية الاكبر في تربية الابناء وتنشئتهم تنشئة صالحة وسليمة وذلك عن طريق مراقبة سلوك الابناء وكذلك مراقبة اصدقاء السوء وتوجيه النصائح لهم و معرفة مكان صرف النقود وغيرها. أما المدرسة ومن منطلق العقل السليم في الجسم السليم أيضا لها دورها البارز في القضاء او الحد من مشكلة التدخين تم في توعية الطلاب بالأثار السلبية للتدخين عن طريق عمل

في هذا الجزء، اقترحنا وحللنا نموذج رياضي يدرس السلوك الديناميكي لتأثير انتشار التدخين التي تؤثر على سلوك وصحة الطالب. حيث يتكون النظام من ثلاثة معادلات تفاضلية غير خطية تمثل ثلاثة مجتمعات مختلفة P مجتمع الطلاب المعرضين للتدخين، S مجتمع الطلاب المدخنين و Q مجتمع الطلاب التاركين للتدخين. درسنا وحدانية وجود وقيود الحل للنظام المقترن. تم ايجاد نقطتي التوازن المحتملة للنظام المقترن وهي ($E_i, i=0,1$), حيث تم ملاحظة ان جميع نقاط التوازن تكون مستقرة استقرار محليا اذا تحققت الشروط (6a-6c), (8a-8c). كما ان نقطة التوازن الاولى E_0 تكون مستقرة استقرارا كلها اذا تحقق الشرط (10)، والنقطة الثانية E_1 تكون مستقرة استقرار كلها اذا تحقق الشرطين (10d-11a). ولفهم تأثير كل الباراميرات على الديناميكية الكلية للنظام (1) ولتقدير صورة اووضح للحل التحليلي للنظام قمنا بدراسة عدديه للنظام من خلال عدد من الشروط الابتدائية المختلفة وقيم لعدد من الباراميرات الافتراضية والملخصة بالاتي:

1. من خلال مجموعة الباراميرات الافتراضية المعطاة في المعادلة (12) نلاحظ ان النظام مستقر استقرارا كلها نحو نقطة التوازن الاولى وهي ($E_0 = 3500, 0, 0$). ومن خلال مجموعة الباراميرات الافتراضية المعطاة في المعادلة (13) نلاحظ ان النظام مستقر استقرارا كلها نحو نقطة التوازن الثانية وهي ($E_1 = 1159, 625, 1622$).
2. النظام دائمًا مستقر وغير متذبذب.
3. عند زيادة نسبة التدخين عن طريق الاتصال المباشر بزيادة نسبة β النظام يتوجه نحو نقطة التوازن E_1 كما نلاحظ زيادة في اعداد S ونقصان في اعداد P, Q . كذلك نحصل على نفس النتائج عن زيادة نسبة المدخنين

المصادر

- [1] G.C. Castillo, S.G. Jordan, and A.H. Rodriguez. Mathematical models for the dynamics of tobacco use, recovery and relapse. Technical Report Series, BU-1505-M. Department of Biometrics, Cornell University, (2000).
- [2] O. Sharomi, A.B. Gumel, Curtailing smoking dynamics a mathematical modeling approach, J. Applied Math., and Comp., 195, 475-499, (2008).
- [3] Gumel Zaman, Optimal Campaign in the Smoking Dynamics, J., Hindawi Publishing Corp., Comp., and Math., Meth., in Med., ID 163834, pp 9, (2011).
- [4] Lahrouz, L. Omari, D. Kiouach, A. Belmaati, Deterministic and stochastic stability of a mathematical model of smoking. J. Statistics and Probability Letters, (2011).
- [5] Hirsch, M. W. and Smale, S., Differential Equation, Dynamical System, and Linear Algebra. Academic Press, Inc., New York. p 169-170, (1974).
- [6] Van den Driessche P, Watmough J. Reproduction numbers and sub-threshold endemic equilibria for compartmental models of disease transmission. Mathematical Biosciences; 180:29–48. DOI: 10.1016/S0025-5564(02)00108-6, (2002).
- [7] May R. M., Stability and Complexity in model ecosystem, Princeton, New Jersey : Princeton University press, (1973).

مؤتمرات إعلامية يبين فيها دور كل معلم واجبه للمساعدة في الحد من هذه المشكلة الخطيرة على مجتمعنا، فمثلاً مدرس الرياضية له الدور الكبير في توضيح سمات التدخين وتأثيرها على صحة الطالب ولياقته البدنية وعدم قدرته على إداء التمارين الرياضية وحرمانه من مزاولة هواياته الرياضية. أما مدرس الاحياء فعليه ان يبين تأثير التدخين على صحة الانسان مما يؤدي الى إصابته بالكثير من الامراض الخطيرة التي تصيب الجهاز التنفسى والجهاز الهضمى وامراض القلب والشرايين وذلك عن طريق عرض صور ووسائل إيضاح للجهاز التنفسى تبين الفرق بين رئة انسان مدخن وأخر غير مدخن او صور تبين تأثير التدخين على القلب وما سببه من تضخم فيه. أما مدرس الاجتماعيات يبين للطلاب تأثير التدخين على العلاقات الاجتماعية والضرر الحاصل لأفراد المجتمع كذلك يبين لهم تأثير التدخين اقتصادياً حيث يسبب هدر ميزانيات البلد وذلك بشراء وتوفير العلاجات اللازمة لعلاج المدخنين. أما واجب مدرس الاسلامية ان يشرح لهم حكم الضرر في النفس وبالآخرين من الناحية الشرعية وان الدين الاسلامي حرم كل ما يفعله الانسان من ضرر في نفسه. وآخر مدرس الفنية فيجب عليه ان يقوم بعمل بعض الرسومات المعبرة عن تأثير التدخين والامتناع عنه وايضاً يحث الطلاب على ذلك. ففرض التدخين ومسؤولية الحد من انتشاره هي مسؤولية عامة اي تقع على جميع مكونات المجتمع ولا تخص شخصاً دون آخر لأن أبنائنا وطلابنا هم اللذين سيدفعون الثمن غالياً وبما انهم يمثلون مستقبل البلد فهذا يعني ان دمارهم هو دمار البلد كاملاً.



تأثير نوع الولادة وجنس الحمل في التركيب الكيميائي لحليب الأغنام العربية

إسراء عبد الحسن حمدان و فرhan علي عبيد

قسم علوم الحياة، كلية التربية للعلوم الصرفة، جامعة المثنى، المثنى، العراق

تاريخ الاستلام: 9 / 4 / 2016

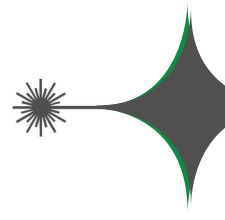
تاريخ قبول النشر: 8 / 9 / 2016

Abstract

This study was conducted at the research station of the Faculty of Agriculture - Agricultural experiments / Al-Muthanna University, for the period from November 2014 until March 2015, and have been used (23 Head) of ewes arabi, which are healthy animals, ranging in age (4-6 years) and an average weight of 40 kg , hand milked twice (morning and night) daily .The results shows that sex effect on the protein that was (5.92%) in male and (6.23%) for females and the existence of significant differences ($P>0.05$). Sex birth had no significant effect at ($p>0.05$) for milk fat, SNF, and lactose but have significant effect at ($p>0.05$) for electrical conductivity and freezing point. Type of birth had no significant effect at ($p>0.05$) electrical conductivity, but have significant effect at ($p>0.05$) freezing point .while PH did not affect with sex birth or type of birth.

Key words

Ewes arabi, Percentage of milk components, Lactose ratios in milk.



الخلاصة

أجريت هذه الدراسة في محطة الابحاث والتجارب الزراعية التابعة لكلية الزراعة - جامعة المثنى للمرة من تشرين الثاني 2014 ولغاية آذار 2015 ، واستخدمت فيها (23) رأساً من النعاج العرائية السليمة من الامراض ، تراوحت اعمرها (4-6) سنوات وبمعدل وزن (40) كغم. وحلبت يدوياً مرتين صباحاً ومساءً يومياً. أظهرت النتائج ان جنس المولود تأثير على البروتين الذي بلغ (%) 5.92 في الذكور و (6.23%) للإناث وبوجود فروق معنوية ($P < 0.05$). بينما لم يكن هناك تأثير معنوي لجنس المولود على نسب مكونات الحليب: الدهن والمواد الصلبة الладهنية واللاكتوز. أما نوع الولادة له تأثير معنوي على مكونات الحليب كالدهون والمواد الصلبة الladhennie والبروتين وغير معنوي على نسبة اللاكتوز في الحليب. واثر جنس المولود معنويًا على نقطة التجمد والتوصيل وغير معنوي على الاس الهيدروجيني وأما نوع الولادة كان لها تأثير معنويًا على نقطة التجمد وغير معنوي على التوصيل والاس الهيدروجيني.

الكلمات المفتاحية

النعاج العرائية، نسب مكونات الحليب، نسبة اللاكتوز في الحليب.

ونوع الولادة على بعض مكونات الحليب وبعض من صفاته الفيزيائية في الأغنام العرابية في محافظة المثنى.

1. المقدمة

يوصف الحليب كيميائياً كنظير دهن في محلول مائي من سكر وأملاح معدنية مع بروتين في عالق غروي [1]، ويعرف وظيفياً بأنه جوهر الغذاء أو مادة التركيب الأصلي للغذاء [2]. ويعتبر الحليب مصدر غذائي مهم للإنسان لاحتواه على معظم ما يحتاجه في مراحل نموه وبخاصة في الطفولة [3]. أن بروتينات حليب الأغنام هي الأيسر هضماً ومحتوياتها مهمة كغذاء حمية Diet للناس الذين يعانون من الحساسية [4]. كما ان الحليب ومشتقاته عندما لا تؤخذ خلال سنوات البلوغ ربما تسبب المشاشة لعظام جسم الإنسان مما يحرز الحاجة لهذه التغذية الأساسية ويوجب اخذ الحليب ومشتقاته [5].

أجريت هذه الدراسة خلال الفترة من تشرين الثاني 2014 لغاية اذار 2015 في محطة الابحاث والتجارب الزراعية التابعة لكلية الزراعة - جامعة المثنى في منطقة ام العكف، شمال مدينة السماوة. جمعت عينات الحليب من (23) رأساً) من النعاج العرابية السليمية من الامراض وترواحت اعمارها بين (4-6) سنوات وبمعدل وزن (40) كغم. واستخدمت طريقة الحلب اليدوي مباشرة من النعاج ووضع الحليب في قناني بلاستيكية معقمة معدة لهذا الغرض وتم نقله الى المختبر مباشرة وبواقع مرتين في اليوم صباحاً» ومساءً» EKO-MILK TOTAL ULTRASONIC ANALYZERS المتوج من شركة EON TRADING المملكة المتحدة- لتقدير النسب المئوية لكل من الدهن والبروتين والمواد الصلبة اللادهنية واللاكتوز وكذلك قياس بعض صفات الحليب الفيزيائية كنقطة التجمد والتوصيل والاس الهيدروجيني PH .

3. التحليل الاحصائي

أجري التحليل الاحصائي وفق برنامج احصائي هو SPSS لسنة (1995) وتطبيق المعادلة الرياضية التالية:

$$Y_{ij} = M + A_i + B_j + (AB)_{ij} + e_{ij}$$

حيث ان (Y_{ij}) قيمة اي مشاهدة و(A_i) تاثير العامل الاول و(B_j) تاثير العامل الثاني (AB) التداخل بين العوامل و(e_{ij}) الانحراف المعياري و(M) قابل المثل للمتوسط العام .

يتأثر تركيب الحليب وأنتاجه بالعديد من العوامل المتضمنة سلالة النعجة والอายุ ومرحلة الرضاعة وموسم الحملان والتغذية وجهاز الحليب [6]. وكذلك نوع الولادة والمواليد تؤثر على تركيب وانتاج الحليب في الأغنام [7,8,9]. كما ان نوع الولادة و الجنس الحملان تؤثر على انتاج وتركيب حليب الأغنام النجدية [10]. وهناك عوامل فيزيائية لها بالغ الاثر على تركيب الحليب، فمثلاً "تأثير انجام حليب الأغنام على تختير الحليب وتكون الجنين [11]. كما ان الاس الهيدروجيني PH او الدالة الحموضة تظهر اهميتها من خلال ان الحليب والاغذية التي يكون فيها PH قريب من التعادل تفسد بفعل البكتيريا عادةً، ويصنف الحليب من الاغذية قليلة الحموضة والاحياء المجهرية المحبة للوسط المتعادل تفضل العيش في PH قيمته (8-6) [12]. اما التوصيلية ويقصد بها قابلية المواد لتوصيل التيار الكهربائي، فتوصيل الحليب يعتمد على التغيرات في توازن المحتويات الايونية ، وهو يفيد كمقاييس لتقدير صحة الغدد اللبنية (الضرع) وصفات التختير [13]. لذا تهدف الدراسة الحالية معرفة تاثير جنس المولود



4. النتائج والمناقشة

يعود لجملة عوامل منها سلالة النعجة وبرامج الغذاء وغيرها من العوامل الأخرى. كما ان هناك تاثيرًا غير معنوي لجنس المولود على نسبة الدهن في الحليب وهذا يتفق مع ما وجده وقد أظهرت نتائج الدراسة ان هناك تاثير غير معنوي لجنس المولود على نسبة الدهن في الحليب وتتفق مع ما وجده [10] في الأغنام التجذيدية ومع [20] الذي لم يجد تاثير معنوي لجنس المولود على نسبة الدهن في حليب الأغنام العربية. أما نوع الولادة فله تاثير معنوي على نسبة الدهن في الحليب بينما لم يكن هناك تاثير معنوي لنوع الولادة في دراسة كل من [8] في الأغنام التركية [9] في الأغنام الحمدانية في العراق و [10] في الأغنام التجذيدية في السعودية.

4. المواد الصلبة اللادهنية : كانت النتائج (11.96%) للذكور و(11.54%) للإناث و(11.41%) للمفردة و(10.14%) للتوائم جدول (1) وهذه النتائج تتماشى مع نتائج باحثين آخرين مثل [14,21] جدول (3). ولم يكن تاثير معنوي لجنس المولود على نسبة المواد الصلبة اللادهنية بينما لنوع الولادة تاثير معنوي على نسب المواد الصلبة اللادهنية. في حين لم يكن هناك تاثير معنوي لنوع الولادة في دراسات كل من [8,9,14]، والسبب في الاختلافات ربما يعود لكون المواد الصلبة الكلية (الدهن + المواد الصلبة اللادهنية) تزداد في الأغنام مع تقدم موسم الحليب [22,23]. ان الاختلافات بين نتائج الدراسات بخصوص مكونات الحليب وتاثير جنس المولود ونوع الولادة ربما تفسر على ضوء قانون واينكر Weigner's law الذي يتضمن ان مكونات الحليب التي تمتلك حجم اكبر سوف تمتلك اعلى تغيراً من (اختلافاً) وعلى اساس الحجم فان المكونات تكون مرتبة تنازلياً كالتالي: الدهن، البروتين، المعادن والسكريات، والدهون تظهر تغيراً كبيراً بعدها البروتين والمعادن والسكريات تكون اقل مكونات الحليب تغيراً [24].

1. اللاكتوز: أظهرت نتائج الدراسة أن نسبة اللاكتوز في حليب الأغنام هي (4.56%) جنس المولود ذكر و(4.54%) في حالة الانثى و(4.57%) للولادة المفردة و(4.41%) لولادة التوائم جدول (1) وهذه النتائج تتماشى مع [9] في النعاج الحمدانية و [14] في النعاج الجزائرية ومع [15] في الأغنام الحمدانية جدول (3). لم يكن هناك تاثير معنوي لجنس المولود ونوع الولادة على نسبة اللاكتوز في حليب الأغنام العربية وهذا يتفق مع [10] في الأغنام التجذيدية وان كانت قيم اللاكتوز (3.43%) للذكور و(3.5%) للإناث في دراسته ومع [8,9].

2. البروتين : كانت نسبة البروتين هي (5.92%) للذكور و(6.23%) للإناث و(6.17%) للولادة المفردة و(5.00%) للتوائم جدول (1) وهذه النتائج تتماشى مع [1] في أغنام العواسى [15] في الأغنام الحمدانية، وقد كان لجنس المولود ونوع الولادة تاثير معنوي على نسبة البروتين في الحليب وبهذا تختلف عن كل من [8,9,10] في الأغنام التجذيدية جدول (3). ان الاختلاف بين النتائج والدراسات الاخرى ربما يعلل على اساس ان محتويات البروتين تختلف باختلاف انواع وسلالة الأغنام والتغذية والمناخ والموسم ومرحلة الرضاعة وصحة الضرع [6,16,17].

3. الدهون: كانت النتائج هي (3.88%) للذكور و(4.12%) للإناث وللولادة المفردة (4.39%) للتوائم (3.76%) جدول (1) وهذه النتائج تعتبر منخفضة عند مقارنتها مع الجليلي وجماعته (1999) في الأغنام العواسى (6.25%) والحسناوي (1986) في الأغنام العربية (6.05%) في البصرة ومع [18] في النعاج العواسى (7.4%) ومع [19] في الأغنام السودانية (6.90%). وقد اعزى [10] اختلافات النتائج لنسب الدهن في الحليب بين الدراسات

5. نقطة التجمد : يتضح من النتائج ان جنس المولود للإناث وذات تأثير معنوي و(6.61) للولادة المفردة نوع الولادة تأثيراً معنوياً على قيمة نقطة التجمد لحليب و(6.48) للتوائم ولم يظهر تأثير معنوي لنوع الولادة على الأغنام العربية والقيم المسجلة كانت (-0.6088) قيم الاس الهيدروجيني وهذه النتائج تتماشى مع ما وجده الذكور و(0.6131) للإناث و(-0.6093) للولادة للذكور و(-0.6131) ومع [14,15].

7. التوصيل: كانت النتائج هي (4.88) للذكور المفردة و(0.5310) للتوائم جدول(2) وهذه النتائج تتماشى مع [14] حيث سجل نقطة تجمد حليب الأغنام (5.36) للتوائم (5.58) للإناث و(5.46) للمفردة و(5.36) للتوائم جدول (2) وان هناك تأثيراً معنوياً لجنس المولود اما نوع الولادة فلم يكن لها تأثيراً معنوياً. والتوصيلية بشكل عام تعتمد على تغيرات المحتوى الاليوني بصورة رئيسة وتشير الى (0.53)، وكذلك وجد [25] ان نقطة تجمد حليب الأغنام (0.53)، و كذلك ظهر من النتائج ان PH كانت (6.62) للذكور (-0.6048).

6. الاس الهيدروجيني PH او الدالة الحامضية ظهر من النتائج ان PH كانت (6.62) للذكور (5.58) تراكيز الصوديوم والبوتاسيوم والكلوريد [13].

جدول (1): تأثير جنس المولود ونوع الولادة على مكونات حليب الأغنام العربية

المادة الصلبة الالادئية المعدل ± الانحراف المعياري	مكونات الحليب				العوامل
	% الدهن المعدل ± الانحراف المعياري	% البروتين المعدل ± الانحراف المعياري	% اللاكتوز المعدل ± الانحراف المعياري	% البروتين المعدل ± الانحراف المعياري	
11.96 ± 1.07	3.88 ± 0.30	5.92 ± 0.53 b	4.56 ± 0.42	ذكر	جنس المولود انثى
	11.54 ± 1.11	4.12 ± 0.33	6.23 ± 0.69 a	0.39 ± 4.54	
NS	NS	*	NS	مستوى الاهمية	
11.41 ± 1.12 a	4.39 ± 0.42 a	6.17 ± 0.66 a	4.57 ± 0.53	مفردة	نوع الولادة
10.14 ± 2.01 b	3.76 ± 0.73 b	4.03 ± 1.02 b	4.41 ± 0.97	توئم	
*	*	*	NS	مستوى الاهمية	

جدول (2): تأثير جنس المولود ونوع الولادة على بعض الصفات الفيزيوكيميائية لحليب الأغنام العربية

الاس الهيدروجيني PH المعدل ± الانحراف المعياري	الصفات				العوامل
	نقطة التجمد المعدل	نقطة التجمد المعدل ± الانحراف المعياري	نقطة التجمد المعدل	نقطة التجمد المعدل ± الانحراف المعياري	
6.62 ± 0.40	4.88 ± 0.40 b	- 0.5288 ± 5.84 b	ذكر	جنس المولود انثى	جنس المولود انثى
	5.58 ± 0.46	5.58 ± 0.46 a	- 0.5331 ± 6.07 a		
NS	*	*	NS	مستوى الاهمية	
6.61 ± 0.85	5.46 ± 0.53	- 0.5293 ± 6.17 a	مفردة	نوع الولادة	
6.48 ± 1.04	5.34 ± 0.86	- 0.531 ± 9.04 b	توئم		
NS	NS	*	NS	مستوى الاهمية	

- الحرروف المختلفة ضمن العمود الواحد تشير الى وجود فروق معنوية بين المتوسطات.
- * تشير الى وجود فروق معنوية بين المتوسطات في العمود الواحد عند مستوى احتمال $P \leq 0.05$.
- NS تشير الى عدم وجود فروق معنوية بين متوسطات في العمود الواحد.

جدول (3): يبين نسب مكونات الحليب في الدراسات السابقة والدراسة الحالية

البلد	المصدر	لاكتوز %	بروتين %	المواد الصلبة % اللادهنية	دهن %	مكونات الحليب		انواع الاغنام	
						الصفات المدروسة			
العراق	الجليلي واخرون، (1999)	4.88	5.40	11.35	6.25	معدل عام		الاغنام العواسى	
جمهورية الجياد	Kuchtik, et.al. (2009)	4.87	4.69	10.63	4.96	معدل عام		الاغنام الفريزية الغربية	
السودان	Sabahelkhier, et.al. (2012)	5.00	6.35	12.40	6.90	معدل عام		الاغنام السودانية	
العراق	جاسم وجماعته (2013)	4.30	5.90	12.90	6.40	معدل عام		الاغنام الحمدانية	
الجزائر	Yabrir, et.al. (2013)	4.89	5.91	11.19	5.66	مجموعة اغنام روبى		النعام الجزائرية	
		4.38	5.54	10.24	6.26	مجموعة اغنام اولدو جلال			
تركيا	Yilmaz, et.al. (2011)	5.12	6.23	11.04	6.31	معدل عام		الاغنام الكرمان الحمر	
		5.23	6.34	11.02	6.39	مفرد	نوع الولادة		
		5.01	6.35	11.06	6.23	توئم			
العراق	الدابغ، وجماعته (2013)	4.58	6.53	12.07	4.75	معدل عام		النعام الحمدانية	
		4.58	6.51	12.04	4.78	مفرد	نوع الولادة		
		4.60	6.60	12.16	4.65	توئم			
العربية السعودية	Ayadi, et.al. (2014)	3.43	5.09		4.50	ذكر	جنس المولود	النعام النجدية	
		3.55	5.19		5.37	انثى			
		3.53	5.04	9.74	4.94	مفرد	نوع الولادة		
		3.51	5.24	9.15	4.93	توئم			
العراق	الدراسة الحالية	4.56	5.92	11.96	3.88	ذكر	جنس المولود	الاغنام العربية	
		4.54	6.23	11.54	4.12	انثى			
		4.57	6.17	11.41	4.39	مفرد	نوع الولادة		
		4.41	5.00	10.64	3.76	توئم			



- fектs of lactation stage, age, birth type and body weight on chemical composition of red karaman sheep milk. YYU Vet Fak-Derg, 17(3): 383-386, (2011).
- [9] الدباغ، ازادشمس الدين صالح، دراسة إنتاج الحليب ومكوناته في النعاج الحمدانية. مجلة جامعة تكريت للعلوم الزراعية. المجلد(13) العدد (3):75-82، (2013).
- [10] Ayadi,M.,Matar, A.M.; Aljumaah ,R.S. & et.al., Factors affecting milk yield, compositions and udder health of Najdi ewes. Int. J. Anim. Veter. Adv., 6(1):28-33, (2014).
- [11] Jooyandeh , H. and Aberoumand, A., Physico-chemical, nutritional, heat treatment effects and dairy products uspeects of goat and sheep milks. World Appl. Sci.J. 11(11):1316-1322, (2010).
- [12] المصباح، رشيد محجوب و معروف، بهاء الدين حسين، علم الاحياء المجهرية في الاغذية والالبان. مطبع مديرية دار الكتب والنشر جامعة الموصل، (1981).
- [13] Boselli , C. ; Rosati, R. ;Giangolini& et.al., Reliefs on the electrical conductivity in sarda milk sheep in the Lazio region. Italy. IDF 27th International congress and World dairy summit Shanghai,China, (2006).
- [14] Yabrir, B., Hakem, A. ,Laoun, A.& et.al., Composition and nitrogen distribution of Duled- Djellal and Rumbi Algerian ewes milk. Adv. J. Food. Sci. Technol., 5(9):1220-1226, (2013).
- المصادر**
- [1] Chandan ,R., Dairy based on ingredients Newer Knowledge of dairy foods. Cited inhttp://w.w.w. National dairy council. Org./ med cent / newer knowledge / nkuHtml, (1997).
- [2] McGee, Harold, Milk & dairy products on food and cooking: The science and lore of the kitchen (2nd Ed). New York, Scribner. 7-67, (2004).
- [3] الجليلي، زهير فخري، محمد طه علوان و عمر محمد علي الشيخ صالح، إنتاج الحليب و تركيبته في الأغنام العواسية والماعز المحلي. مجلة العلوم الزراعية العراقية(1)، 30 .(1999).
- [4] Raynal-Ljutovac, K.; Lagriffoul , P. , Pacard, I.& et.al., Composition of goat and sheep milk products: an update, Small Rumin. Res., 79:57-72, (2008).
- [5] Gamal, N., Nutritional effect of milk products on the body. Manual of pediatric, Egyptian, (1999).
- [6] Bocquier, F.&Caja, G., Recent advances on nutrition and feeding of dairy sheep. Proceedings of the 5th International Symposium on Machine Milking of small Rumaniants. Budapest, pp: 580-607, (1993).
- [7] Pelmus, R.S., Pistol, G.C., Lazar, C. & et.al., Preliminary study on milk, Composition and milk protein polymorphism in the Romanian local sheep breed Teleorman Black ItardTsigai. Roman. Biotechnol. Lett. , 17(5):7582-7591, (2012).
- [8] Yilmaz, O. ,Cak, B. and Bolacali, M., Ef-

- net curdling duality during lactation of east Friesian ewes. Aweth Vol.5. (4): 76-83, (2009).
- [22] Abou- Dawood,A.E.,Chita& S.M. Taha, Major and minor components and hace elements of the egyptianAwassi and goats milk. Egypt.J.Dairy Sci. 8:109-155, (1982).
- [23] Aboul-Naga, I.G.,El-Dahan,A.S. &Ridah ,S.H., The composition of karadi ewe's and goat's milk. Nahrung.29:197-200, (1985).
- [24] Arun Kumar, M. Islam, A.A. Ansari, Manoj Kumar, V. Yadavand& S Nandi, Designer Milk:ANutraceutical., Int.J.livestock line .5(6):31-33, (2011).
- [25] Hanus, O.,Gencurova ,V. ; Vyletelova , M. & et.al., Impact of some udder health state indicators on milk freezing point in small ruminants and cattle. Eg. J. of Sh. & G. Sci., Vol.5 (1):299-305, (2010).
- [15] جاسم ، محمد احمد،محمد ، محمد جمیل ، محمد ، احمد رمضان ، دراسة التركيب الكيميائي والخصائص الفيزيائية لحليب الابقار،الاغنام،الماعز،والابل في مدينة تكريت العراق . مجلة جامعة تكريت للعلوم الزراعية - عدد خاص بوقائع المؤتمر العلمي الاول لقسم علوم الاغذية:7-1، (2013).
- [16] Abdallah, M., Abass, S.F. &Allam,F.M., Factors affecting the milk yield and composition of Rahmani and chios sheep. International Journal of livestock production.2 (3):24-30, (2011).
- [17] Park, Yw, Juarez, M.; Ramos; M.;&Haenlein, GFW, physic-chemical Characteristics of goat and sheep milk, small Rumin Res., 68, 88-113, (2007).
- [18] Nudda, A., R.S. Bencini, S. Mijatovic& G. Pulina, The yield and composition of milk unilaterally at different frequencies. J.Dairy Sci., 85:2879-2884. (2002).
- [19] Sabahelkhier , M.K. , Faten , M. M. ,and Omer, F.I., Comparative determinationof biochemical constituents between animals (goat, sheep, cow, and camel) milk with human milk . Res. , J. , Recent. ,Sci. , Vol. 1(5), 69-71, (2012).
- [20] الحسناوي ، دايخ مطلوب ، تأثير عمر الام ونظام الرضاعة ومستويات التغذية اللاحقة على اداء الحملان وامهات في الاغنام العرابي. رسالة ماجستير، كلية الزراعة جامعة البصرة.203 ص، (1986).
- [21] Kuchtik, J. ;Sustova, K. , Zapletal, D. , and Vrban, T. , Changes in basic milk-Components , properties of milk and ren-



تحليل عمل المرشح المتكيف وتميز المنظومات باستخدام خوارزمية مربع المتوسط الاصغر (LMS)

سفیان هزاع علی

قسم الكهرباء، كلية الهندسة، جامعة تكريت، العراق.

تاريخ الاستلام: 5 / 6 / 2016

تاريخ قبول النشر: 13 / 10 / 2016

Abstract

Due to the development in the electronics industry, it has become easy to use digital filters in many digital applications. This paper includes adaptive digital filter simulations by using Leas Mean Square (LMS) algorithm, which changed its coefficients repeatedly to become so controlled filter to input signal to be passed without the unwanted signals. An application for this filter that have been addressed in this research is to characterize (recognition of the) systems. The signals used in the simulation are the amplitude modulated signals and sinusoidal signal. The results show that these two application signals have good result when the proposed adaptive filter is used.

Key words

Adaptive digital filter, Leas Mean Square (LMS), Amplitude modulated signals, Characterize systems.

الخلاصة

نظراً للتطور الحاصل في الصناعة الإلكترونية أصبح من السهولة استخدام المرشحات الرقمية في كثير من التطبيقات العملية. يتضمن البحث إجراء محاكاة للمرشح الرقمي المتكيف باستخدام خوارزمية LMS الذي تغير معاملاته طوعياً لكي يصبح ذلك المرشح منظماً على اشارة الدخل لتمريرها بدون الاشارات غير المرغوب بها . أحد التطبيقات لهذا المرشح التي تم التطرق إليها في هذا البحث هو تميز (معرفة) المنظومات. الاشارات التي استخدمت هنا الاشارة المضمنة سعوياً و اشارة جيبيه. كانت نتائج المحاكات لهذه التطبيقات جيدة اي ان خواص المترافق المتكيف قد حققت تلك النتائج.

الكلمات المفتاحية

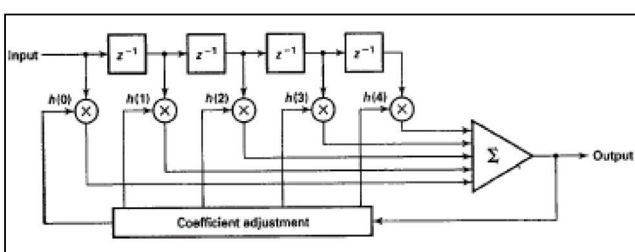
المرشح الرقمي المتكيف، خوارزمية LMS، الاشارة المضمنة سعوياً، تميز المنظومات.

التشویش ضيق النطاق الترددی في منظومات الطيف المتشر.

الکثير من الباحثین عملوا في مجال المرشحات الرقمية المتکیفة. الباحث (Mbachu C.B) [4] عمل في استخدام المرشح الرقمي المتکیف لتقلیل التداخل في الاشعاعات من الأجهزة المجاورة على جهاز تخطیط القلب الذي يستخدم في الطب وتم تقلیل قدرة اشعة التداخل بمقدار (13) dB. الباحث (Pawan Nagle) والبروفسور (Sumitsharma) [5] عملوا على تقلیل الضوضاء في قنوات الاتصال الرقمية باستخدام المرشح المتکیف. المحاکات التي قاموا بها بینت ان الخطأ قل بدرجہ کییره مقارنة مع نتائج القياسات بدون مرشح متکیف. (Yuka Morishita) و (Yusukashi-) [6] عملوا بالمرشح المتکیف باستخدام العتبة (threshold) مع الضوضاء النبضیة بخوارزمیه "LMS". (Zdravko Uskokovic) و (Boso Krstajic) [7] عملوا على معدل القناة باستخدام خوارزمیه "LMS" جديدة.

2. المرشح الرقمي المتکیف باستخدام خوارزمیه LMS

المرشحات FIR و IIR يمكن أن تكون متکیفة . مرشحات FIR أكثر استخداماً في التطبيقات العملية والسبب يعود لأنها مستقرة لكونها تمتلك اصفار فقط في دائرة Z [1,2,8,9]. مرشحات IIR تحتاج إلى تنظیم موقع الأقطاب والاصفار. الشکل المباشر للمرشح المتکیف FIR موضح في الشکل رقم (1)



الشكل رقم (1): مرشح رقمي متکیف

المعاملات التي يتم تغیرها للحصول على خاصیة المرشح المتکیف

1. المقدمة والأعمال السابقة

في الوقت الحاضر المرشحات الرقمية حلّت محل المرشحات التماهیلیة في كثير من التطبيقات لأنها أكثر مرونة وملائمة وكفاءة في كثير من التطبيقات. المرشحات الرقمية يمكن أن تكون ذات استجابة نبضیة محددة (FIR) أو استجابة نبضیة غير محددة (IIR). عند تحويل المرشح التناظري الى رقمي يتم تحويل دالة النقل ($H(s)$) الى دالة النقل المقطعي ($H(z)$). من المرشحات الرقمية الواسعة الاستخدام هي المرشحات المتکیفة. المرشح الرقمي المتکیف متعدد الاستخدامات والبحث مستمر بهذا المرشح في مجالات متعددة. المرشحات الرقمية المتکیفة تلعب دوراً مهمـاً في مجال حذف الضوضاء وتعريف المنظومات وتصحیح خواص المنظومات الرقمية وغيرها. توجد أثناـن من الخوارزمیات للمرشحات الرقمية المتکیفة هما خوارزمیه مربع المتوسط الاصغر (Least mean square) و خوارزمیه مربع الاصغر التراجعي (Recursiveleast squares) [1,2,3]. خواص المرشحات المتکیفة تعتمد على ثوابت تلك المرشحات. تلك الثوابت لا يمكن أيجادها مسبقاً. مثلاً عند استخدام مودم (modem) سريع لأرسال البيانات خلال قناة تلفونیة. ذلك المودم يمتلك مرشح يسمى بالمعدل (equalizer) لتصحیح خواص القناة بتقلیل التشویش. المودم يجب أن يقوم بإرسال البيانات عبر قنوات الاتصال التي تمتلك خواص مختلفة الاستجابة التردیدیة مما يسبب تأثیرات مختلفة وتشویه بخواص القنوات. الوسیلة الوحيدة لمعالجة ذلك التشویه هو أن تكون ثوابت المعدل متغیره بشكل يؤمن تقلیل التشویه. ذلك المعدل عباره عن مرشح رقمي متکیف. في هذا المشروع سنبحث بالتفصیل عن خواص المرشحات الرقمية المتکیفة وتطبیقاتها في معرفة خصائص المنظومات الغیر معروفة، وكذلك حذف

$$\sum_{k=0}^{N-1} h(k) r_{xx}(k-m) = r_{dx}(m) \quad (4)$$

وكذلك
 $0 \leq m \leq N-1$

العلاقة الأخيرة تمثل معادلات خطية التي بواسطتها يمكن الحصول على معاملات المرشح المثلث. حل تلك المعادلات الخطية مباشرة يجب في البداية ايجاد الترابط الذاتي $\{r_{xx}(k)\}$. لإشارة الداخل والترابط المتقطع $\{r_{xx}(k)\}$ بين الإشارة المطلوبة $d(n)$ وإشارة الداخل $x(n)$. الطريقة اعلاه الخاصة بإيجاد معاملات المرشح معقدة وصعبه لذلك تستخدم خوارزمية LMS لايجاد القيم المثلث لمعاملات المرشح.

بدون التعقيد الخاص بإيجاد $r_{xx}(k)$ و $r_{dx}(k)$.
 تلك الخوارزمية تعتمد على طريقة شدة الانحدار (steepest descent) التي بواسطتها يمكن ايجاد القيمة الصغرى لمربع الخطأ ويتبع ذلك ايجاد القيم المثلث لمعاملات المرشح الرقمي.

في البداية يتم اختيار قيم ابتدائية لمعاملات $(h(k))$ ، مثلاً ببدأ بالمعاملات $\{h_0(k)\}$. بعد ذلك بوصول كل نموذج (sample) جديد للإشارة $\{x(n)\}$ على دخل (input) المرشح التكيف FIR يتم حساب الخارج $\{y(n)\}$ وحساب الخطأ.

$e(n) = d(n) - y(n)$ وتحديث معاملات المرشح

بالمعادلة التالية:

$$h_n(k) = h_{n-1}(k) + \Delta e(n) x(n-k) \quad (8)$$

$0 \leq k \leq N-1, \quad n = 0,1,2,\dots$

Δ - مقدار التدرجية.

$x(n)$ - نموذج اشارة الدخل في المرحلة (k) للمرشح التكيف.

وفي زمن n $x(n-k)$ هو القيمة التقريرية أو التخمينية للانحدار السالب (negative gradient) لمعامل رقم k للمرشح التكيف. هذه هي خوارزمية "LMS".

المطلوبة هي $(h(0))$ و $(h(N-1))$.
 نأخذ المرشح FIR بالمعاملات المغيرة و اشارة الدخل $(-)x(n)$. اشارة الخرج $y(n)$ تصبح كما في العلاقة التالية:

$$y(n) = \sum_{k=0}^{N-1} h(k) x(n-k) \quad (1)$$

$n = 0,1,2,\dots, M$

نفرض أن الاشارة المطلوبة هي $d(n)$ التي تم مقارنتها مع الاشارة $y(n)$. الخطأ الناتج من المقارنة كما في العلاقة التالية:

$$e(n) = d(n) - y(n) \quad (2)$$

$n = 0,1,2,3,\dots, M$

معاملات مرشح FIR يتم تنظيمها لتقليل الخطأ، لذلك يمكن كتابة متوسط تربع الخطأ بالعلاقة التالية

$$\begin{aligned} \varepsilon &= \frac{1}{M} \sum_{n=0}^M e^2(n) = \sum_{n=0}^M \left[d(n) - \frac{1}{N} \sum_{k=0}^{N-1} h(k) x(n-k) \right]^2 \\ &= \sum_{n=0}^M d^2(n) - 2 \sum_{k=0}^{N-1} h(k) r_{dx}(k) + \sum_{k=0}^{N-1} \sum_{l=0}^{N-1} h(k) h(l) r_{xx}(k-l) \end{aligned} \quad (3)$$

where

$$r_{dx}(k) = \sum_{n=0}^M d(n) x(n-k) \quad (4)$$

$0 \leq k \leq N-1$

$$r_{xx}(k) = \sum_{n=0}^M x(n) x(n+k) \quad (5)$$

$0 \leq k \leq N-1$

- الترابط المتقطع $r_{dx}(k)$ بين الاشارة المطلوبة $(d(n))$ و اشارة الدخل $(x(n))$.

- الترابط الذاتي $r_{xx}(k)$ للإشارة $(x(n))$.

مجموع مربع الخطأ " ε " هو حاله تربيعية لمعاملات FIR. بذلك فأن تقليل " ε " بالنسبة الى المعاملات $\{h(k)\}$ يمكن الحصول عليه بمجموعة معادلات خطية. بتفاضل " ε " بالنسبة لكل من المعاملات نحصل على ما يلي:

$$\begin{aligned} \frac{d\varepsilon}{dh(m)} &= 0 \\ 0 \leq m &\leq N-1 \end{aligned} \quad (6)$$



لتنتظيم (تغيير) المعاملات تكيفيا (adaptively) أي أن تكون اشارة الخطأ ($e(n)$) كبيرة وبعد ذلك تتغير معاملات المريح الى ان تصبح ($e(n)$) اقل مما يمكن وهذا يعني ان الاشارة الخارجية من المريح ($y(n)$) اصبحت تقريباً تساوي الاشارة الداخلية من المنظومة الغير معروفة ($d(n)$). اي ان الاستجابة التردية للمريح اصبحت مشابه للاستجابة التردية للمنظومة الغير معروفة وبذلك اصبح بالإمكان تمييز (معرفة) المنظومة. المريح يعمل بخوارزمية (LMS) التي بواسطتها تغير المعاملات الى ان تصبح ($e(n)$) قريبة من الصفر. الاشارات التي تستخدم في تلك الخوارزمية هي اشارة الدخل (اشارة الضوضاء) والاشارة المطلوبة (خارج المنظومة الغير معروفة) ($d(n)$). تلك الخوارزمية سitem توضيحيها بشكل مفصل في الفصل القادم الخاص بالمحاكاة.

$$\Delta < \frac{1}{10NP_X} < 0 \quad (9)$$

- طول المريح المتكيف FIR و - قدرة الاشارة الداخلية وقيمتها التقريرية كما يلي:

$$P_X \approx \frac{1}{1+M} \sum_{n=0}^M x^2(n) = \frac{r_x^{(0)}}{M+1} \quad (10)$$

M - طول اشارة الدخل.

المريح المتكيف تم شرح عمله و رسمه شكل (1).
محاكاة المريح باستخدام الماتلاب كما في الاشكال التالية:-
الشكل رقم (3) يمثل اشارة مضمنة سعوية مع طيفها والشكل رقم (4) يمثل الضوضاء الغاويسية و طيفه والشكل رقم (5) يمثل الاشارة و الضوضاء و طيفهما. هذه الاشارة و الضوضاء هما الدخل (للمريح المتكيف).

المريح المتكيف يعمل بخوارزمية LMS التي تم شرحها في اعلاه. توليف (Tuning) هذا المريح على تردد الاشارة يتم طوعيا. الشكل رقم (6) يوضح الاشارة وطيفها في خارج المريح. نلاحظ من الاشكال الاربعة الاخيرة ان المريح المتكيف يعمل بشكل جيد. بنفس الطريقة يمكن ترشيح الاشارات بترددات اخرى وكذلك لأنواع التضمين الاخرى.

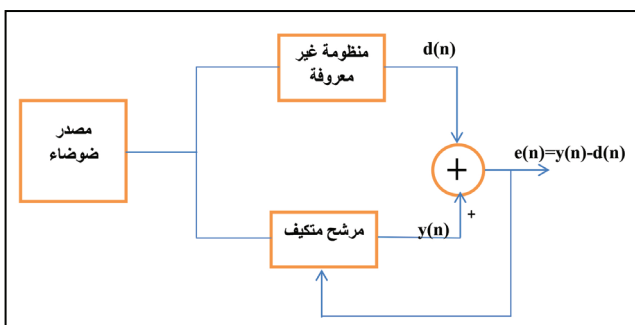
كذلك قمت بمحاكاة المريح المتكيف بتوليفه على اشارة

جيبيه باستخدام خوارزمية LMS لإشارة الدخل المكونة من اربعة موجات جيبيه. الشكل رقم (7) يوضح الطيف المنظومة الغير معروفة وكذلك الى المريح المتكيف. في البداية

3. تمييز المنظومات باستخدام المريح المتكيف

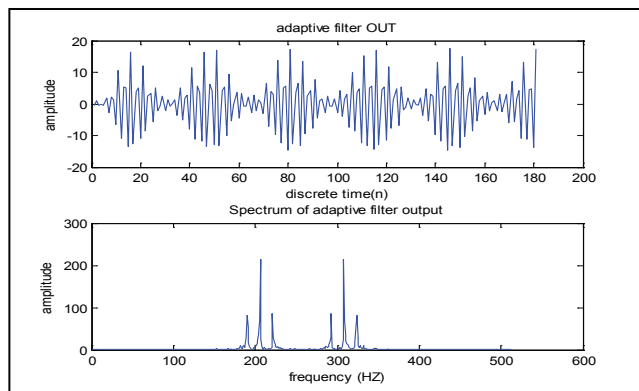
(System identification using adaptive filter)

احد استخدامات المريح المتكيف هو تمييز (معرفة) المنظومات [1,12] يمكن توضيح ذلك الاستخدام في الشكل (2).

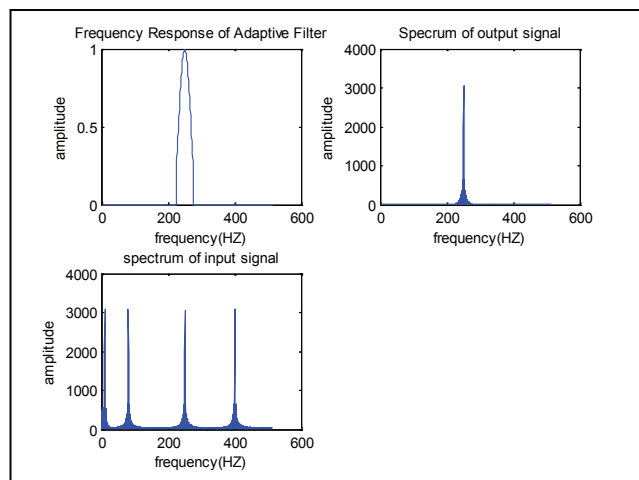


الشكل (2): تمييز المنظومات

الضوضاء ذات الطيف الترددي العريض تدخل الى المنظومة الغير معروفة وكذلك الى المريح المتكيف. في البداية

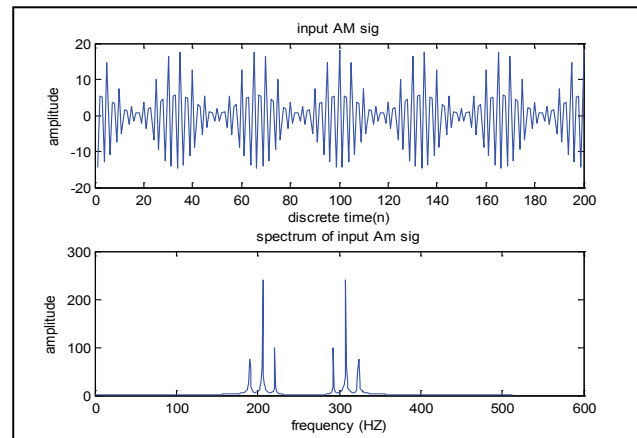


الشكل (6): الإشارة في خارج المرشح المتكيف وطيفها الترددية

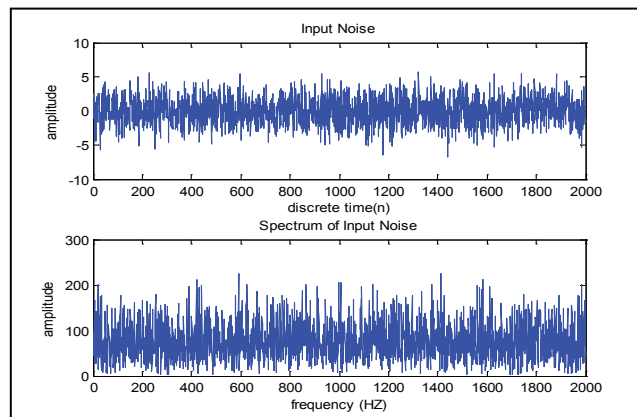


الشكل (7): الطيف الترددية لإشارة الخارج والاستجابة الترددية للمرشح والطيف الترددية لأربعة اشارات جيبية على دخل المرشح .

لإشارة الدخل وكذلك للإشارة الخارجية والاستجابة الترددية للمرشح المتكيف. وبنفس الطريقة يمكن توليف المرشح المتكيف على اي من الامواج الجيبية الاربعة لإشارة الداخلي.



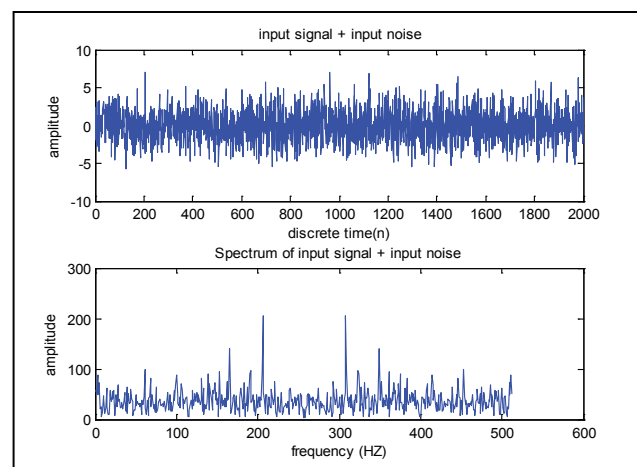
الشكل (3): اشارة الداخل المضمنة سعوباً وطيفها الترددية



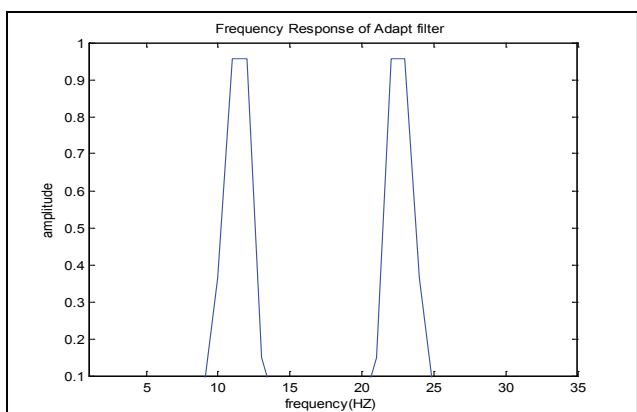
الشكل (4): ضوضاء الدخل وطيفه الترددية

5. محاكاة المرشح المتكيف لتمييز المنظومات غير المعروفة

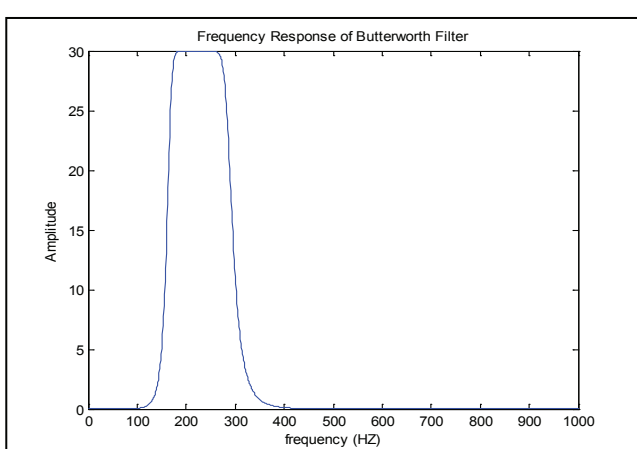
الشكل (2) يوضح كيفية تميز(معرفة) المنظومات الغير معروفة . المنظومة الغير معروفة التي تم اختيارها هي مرشح نطاقي . الشكل (8) يمثل الاستجابة الترددية للمرشح الذي تم فرضه (المرشح الغير معروف). اشارة الضوضاء الغاوسي تدخل الى ذلك المرشح الى المرشح المتكيف. كما ذكر سابقاً المرشح المتكيف يعمل بخوارزمية LMS . الاشارة الخارجة من المرشح الذي تم فرض استجابته الترددية تعتبر الإشارة المطلوبة (desired) للمرشح المتكيف. الاشارة الأخيرة ناتجة عن الالتفاف (convolution) بين اشارة الضوضاء والاستجابة النسبية (impulse re-



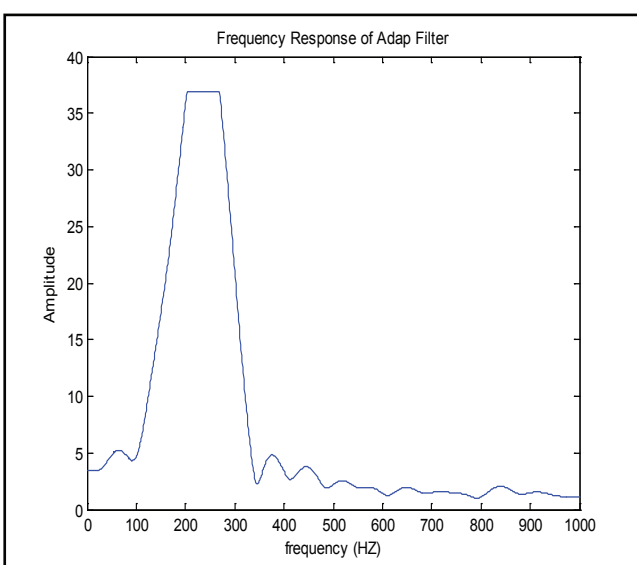
الشكل (5): مجموع الإشارة والضوضاء على دخل المرشح مع الطيف الترددية



الشكل (9): الاستجابة التردية للمرشح المتكيف

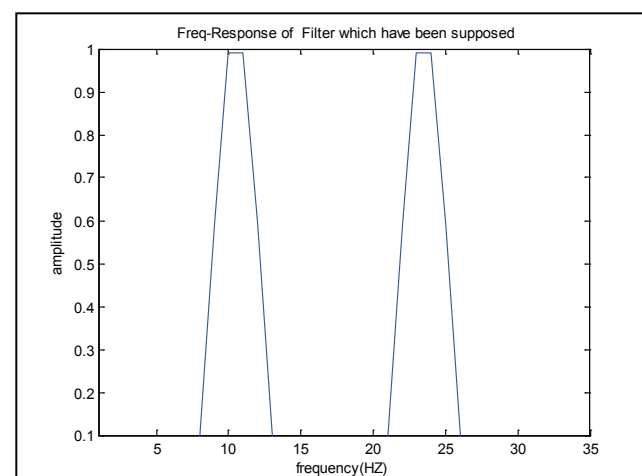


الشكل (10): الاستجابة التردية لمرشح بترورث



الشكل (11): الاستجابة التردية للمرشح المتكيف

(sponse) للمرشح الذي تم فرض استجابته التردية. بخوارزمية LMS يمكن الحصول على الاستجابة النسبية للمرشح المتكيف بعد ادخال كل من الاشارتين المطلوبة والداخلة في برنامج الماتلاب لتلك الخوارزمية. الاشارة الدخلة هي التي تدخل الى المرشحين. الان نفرض ان المرشح الاول الغير متكيف غير معروف فعند ادخال اشارة خارجه الى المرشح المتكيف واعتبار تلك الاشارة بالمطلوبية يبدئ المرشح المتكيف بتغير معاملاته الى ان يصبح ناتج الطرح بين الاشارة الخارجية من المرشح المتكيف والاشارة الخارجية من المرشح الغير معروف صغيرة جدا وبما ان اشارة الصوضاء تدخل الى كل من المرشح المتكيف والغير معروف فهذا يعني ان خارج المرشحين اصبح متساوي، اي ان الاستجابتين النسبية والتردية للمرشحين متشابه. الشكل (9) يمثل الاستجابة التردية للمرشح المتكيف التي تم ايجادها باستخدام تحويل فوريير السريع للاستجابة النسبية التي تم ايجادها بخوارزمية LMS. من الشكلين (8 و 9) نلاحظ ان الخصائص التردية للمرشحين متشابه وبذلك تم تميز (معرفة) المرشح الغير معروف. كذلك تم اجراء حمакات لمميز مرشح نوع بترورث (Butterworth) وبنفس الطريقة اعلاه اخذنا الاشارة الخارجية من ذلك المرشح واعتبارها الاشارة المطلوبة للمرشح المتكيف الذي يعمل بخوارزمية LMS واما الاشارة الدخلة للمرشحين فهي اشارة ضوضاء غاوسي.



الشكل (8): الاستجابة التردية التي تم فرضها



المصادر

- [1] Viay K.Ingle,John G. Proakis,»Digital signal processing using MATLAB», Brooks/cole,(2000).
- [2] Samir S. Soliman,»Continuous and Discrete signals and systems», Second edition. Prentice- Hall of India, (2003).
- [3] Forhang-Boroujeny, B., «Adaptive filters theory and applications», John Wiley and Sons. Chichester, UK, (1998).
- [4] Mbachu C. B, «Suppression of power line interference in electrocardiogram (ECG) using adaptive digital filter», International Journal of Engineering and Technology, Volume 3 August (2011).
- [5] Pawan Nagle and Sumit Sharma, «Reduction of noise impacting the performance of digital communication system by adaptive filter», International Journal of Engineering science and technology, Vol 3 august (2011).
- [6] Yuka Morishita ,Yusuka Tsuda,Toshiro Fujii and Tetsuya Shimamura, «An LMS adaptive equalizer using threshold in impulse noise environments», IEEE 10th international conference on communications, (2003).
- [7] Bozo Krstajic, Zravko Uskokovic, Ljubisa Stankovic, “Adaptive channel Equalizer with new VSS LMS algorithm”, In poc of seventh international symposium on signal processing and its applications,

نلاحظ ان تلك الاستجابتين متشابهتين. بنفس الطريقة اعلاه تم فرض مرشح بتروث غير معروف والاشارة الخارجة منه تعتبر الاشارة المطلوبة للمرشح المتكيف الذي يعمل بخوارزمية LMS. المرشح المتكيف يستمر بتغير معاملاته الى ان تصبح الاشارة الخارجة منه مشابهة للإشارة الخارجة من المرشح (او المنظومة) الغير معروف. بخوارزمية LMS يتم ايجاد الاستجابة النسبية وباستخدام تغير فوريير السريع(FFT) يمكن الحصول على الاستجابة التردية للمرشح المتكيف التي تعتبر الاستجابة التردية للمرشح الغير معروف. و نؤكد مرة اخرى ان المرشح الغير معروف أصبح معروف و هو مرشح نطاقي.

6. الاستنتاجات

المرشحات المتكيفة سهلة التوليف وذلك بتغيير معاملاتها ويمكن توليفها على اي تردد وفي جميع الحزم التردية. المرشح المتكيف الذي يعمل بخوارزمية LMS جيد ولكن بطيء نسبياً لصغر التدرية (Δ) التي ذكرت سابقاً. زيادة تلك التدرية تؤدي الى جعل المرشح المتكيف غير مستقر. يستخدم المرشح المتكيف بخوارزمية LMS لتميز (معرفة) المنظومات وبالاخص المرشحات ذات نطاق سماح التردد القليل نسبياً.

نقترح في المستقبل تطوير المرشح المتكيف بخوارزمية LMS لكي يعمل مع الانواع الاخري من المرشحات لتحقيق المرونة العالية في الاستخدام.



Vol 2, pp 567-570, (2003).

- [8] Vijay K. Madisetti and Douglas B. Williams,"Introduction to adaptive filters", CRC press LLC, (1999).
- [9] Sanjit K. Mitra, "Digital signal processing, Third edition", McGraw Hill, (2006).
- [10] Y.Der Line and Y. Hen Hu, "Power line interference detection and suppression in ECG signal processing".IEEE Trans. Biomed.Eng., vol.55,pp.354-357,Jan (2008).
- [11] Chinmay Chandrakar , M.K.Kawar, "De-noising ECG signals using adaptive algorithm", International Journal of soft computing and engineering, March (2012).
- [12] Irina Dornean,Marina Tora, Botond Sandor Kirel, Erwin Szopos, "System identification with least mean square adaptive algorithm", Scientific international conference, TG MURES – RAMANIA,15-16 November (2007).



تأثير بعض المضادات الحيوية على مستوى الكلوبيلين المناعي الإفرازي AgIs في إدراز مرضى خمج السبيل البولي

وفاء صادق ألوzioni و سلطان كريم سلطان

قسم علوم الحياة، كلية العلوم، جامعة كربلاء، العراق

تاريخ الاستلام: 4 / 8 / 2016

تاريخ قبول النشر: 7 / 10 / 2016

Abstract

The current study Designed to demonstrate the overlap between the most common antibiotics used to treat urinary tract infections and the immune system of the patients with urinary tract infection, this overlap studied by estimating the level of Secretory antibodies in the urine of the patients.

The results showed insignificant increase in the concentration of these antibodies in the urine of patients During Taking Anti biotics to reach (0.300) mg/ ml compared with the control (0.255) mg/ ml, As for the patients before taking antibiotics, the concentration of Secretory antibodies insignificantly decreased to reach (0.228 mg / ml) compared with the control.

The results also showed that there is no significant increase in antibody titer between study groups, which ranged between (256-128) in patients during taking antibiotics, while in the patients before taking anti biotics the titer ranged between (256-64) compared with the control (32-64).

Keywords

Urinary tract infections, Immune system, Level of Secretory antibodies.

الخلاصة

صممت الدراسة الحالية لبيان التداخل بين أكثر المضادات الحيوية شيوعاً لعلاج أخماج السبيل البولي والجهاز المناعي للمرضى من خلال تقدير مستوى الأضداد الإفرازية الموضعية في إدرار المصابين.

أظهرت النتائج ارتفاع غير معنوي في تركيز تلك الأضداد في إدرار المرضى المصابين أثناء تناولهم العلاج لتصل إلى (0.300 mg/ml) مقارنة مع السيطرة (0.255 mg/ml)، أما بالنسبة إلى للمرضى المصابين بأخماج السبيل البولي قبل تناولهم العلاج فقد وجد انخفاض غير معنوي في مستوى الأضداد المناعية الموضعية في إدرارهم ليصل إلى (0.288 mg/ml) (مقارنة بالأصحاء).

بيّنت النتائج وجود ارتفاع معنوي في عيار تلك الأضداد بين مجتمع الدراسة والذي تراوح بين (128-256) في المرضى أثناء تناولهم العلاج، أما المرضى قبل تناولهم العلاج فقد تراوح العيار لديهم بين (32-64) مقارنة بالسيطرة (64-256).

الكلمات المفتاحية

أخماج السبيل البولي، الجهاز المناعي، الأضداد الإفرازية الموضعية.

IgA الموجود في الدم بارتباطه بجزء بروتيني افرازي إضافي [3]، كما إن IgA المصليلي يتبع من الخلايا البلازمية الموجودة في نخاع العظم [6]، بينما sIgA الإفرازي ينبع من الخلايا البلازمية الموجودة موضعياً في موقع الإصابة بالخمى [7] كما يتبع أيضاً من الخلايا الطلائية المبطنة للمثانة والاحليل، كما يعمل IgA المصليلي كمضاد قوي للالتهاب [8]، بينما يعمل sIgA على إزالة المستضدات التي تخترق الأغشية المخاطية [9].

يوجد تداخل مباشر بين المضادات الحيوية والجهاز المناعي للمربيض، فقد تم اثبات هذا التداخل من خلال البحوث السريرية والمخبرية، فعندما يقوم مضاد حيوي معين بكبح الاستجابة المناعية فهذا بدوره يؤثر على فعالية ذلك المضاد ضد البكتيريا، وبالتالي فإن التداخل بين المضادات الحيوية وجهاز المناعة يكون مهم جداً وخصوصاً في المرضى الذين لديهم ضعف في الجهاز المناعي [10]، يستعمل المضاد الحيوي (Ciprofloxacin) بشكل واسع في علاج أمراض القناة البولية لكونه قليل التأثير على الفلورا الطبيعية الموجودة في الاحليل كما ويتحقق تراكيز عالية في الانسجة الرخوة والأدرار بصورة سريعة [11] بالإضافة إلى أنه لا يؤثر سلباً على الجهاز المناعي، بل له تأثيرات إيجابية غير مباشرة عليه، إذ يحسن من عملية الطهو (Opsonization) وعملية البلعمية بسبب تأثيره المثبط للنمو البكتيري أولًا وتأثيره على التراكيب الخلوية وعوامل الضراوة البكتيرية ثانياً [12,13].

في حين تؤثر التراكيز العالية من المضاد الحيوي (Trime-thoprim) تأثيراً سلبياً على الجهاز المناعي للمربيض لقدرته المباشرة على كبح عملية البلعمية نتيجة تأثيره الممحوظ على حيوية الخلايا البلعمية متعددة أشكال النوى بالإضافة إلى تثبيطه إنتاج بيروكسيد الهيدروجين في حين لم يكن لهذا المضاد الحيوي أي تأثير على عملية هجرة تلك الخلايا [14].

1. المقدمة

تعد الخلايا اللمفية البائية (Lymphatic B-Cells) خصوصاً المستحثة منها مسؤولة عن إنتاج الأجسام المضادة وإفرازها إلى الدم والسوائل الجسمية الأخرى والتي تبدأ بالتفاعل المتخصص مع المستضدات (Antigens) للإسراع في بلعمتها لذا تشتهر الخلايا اللمفافية مع ما تنتجه من الأضداد المناعية كالضد IgA دوراً مناعياً مهماً في منع الإصابة بخمج السبيل البولي الذي يمنع الضد الإفرازي (Secretory IgA) البكتيريا من الالتصاق بسطح الخلايا الطلائية المبطنة للقناة البولية عن طريق الارتباط بالتراكيب البكتيرية الخاصة بالالتصاق مثل الأهلاب (Fimbriae) الشيء الذي يسبب تلازن البكتيريا المرضية عند ارتباطه بها مسهلاً بذلك بلعبة البكتيريا المرضية بواسطة الخلايا البلعمية [1]، وبالتالي يكون له دور مباشر في إزالة البكتيريا المرضية من الطبقة المخاطية المبطنة للقناة البولية ومنع تكوين المستعمرات [2]، يرتفع مستوى الضد الإفرازي (sIgA) في الأشخاص المصابين بخمج السبيل البولي وخصوصاً المرضى الذين يعانون من الإصابة بالنوع المعقد من الخمج [1]، حيث إن زيادة الفراغات (Interstitial Space) بين الخلايا الطلائية المبطنة للقناة البولية ووجود علامات الالتهاب (Inflammation) يسع ويزيد من إفرازه [3]، كما ويلعب sIgA دوراً مهماً في معادلة متعدد السكرييد الشحمي (Lipopoly saccharides) الذي يعد أحد السموم البكتيرية الداخلية الخطيرة [4]، بالإضافة إلى تدخله مع عوامل النمو والإنزيمات المهمة وعوامل الضراوة الخاصة بالبكتيريا المرضية [5].

يعتبر sIgA الضد المناعي الرئيسي في الإفرازات المخاطية للقناة البولية وهو مختلف عن الضد المناعي

وحدتها لغرض تقدير مستوى الأضداد الإفرازية الموضعية في الجزء الثاني من عينة الأدرار.

3.2. الفحص المجهرى المباشر لعينات للإدرار
تم الفحص المجهرى للقسم الأول من كل عينة إدرار حسب ما جاء في [16]، لتأكيد الإصابة بخمج السبيل البولى من خلال عدده كل من خلايا الخراج (Pus Cells) وكريات الدم الحمراء (RBCs) والمخاط (Mu-cus) وغيرها من المؤشرات الأخرى.

4.2. الكشف عن الأضداد الإفرازية الموضعية في الإدرار

1.4.2. تحضير كل من:

- عالق كريات الدم الحمراء للإنسان حضر وفقا لطريقة [17] حيث استخدم هذا محلول في تقدير عيارية الأضداد الإفرازية الموضعية في عينات الأدرار العائد لمرضى خمج السبيل البولى وكذلك الأصحاء.

- محلول صبغة الكوماسي الزرقاء G-250 الذي حضر حسب الطريقة المبينة في [18].

- محلول كبريتات الامونيوم (40%) الذي حضر بتركيز (%) 40 وفقا للطريقة المبينة في [19]، حيث استخدم هذا محلول لفصل الأضداد الإفرازية الموضعية في عينات الأدرار العائد لمرضى خمج السبيل البولى والأصحاء.

- محلول الفورمالين (5%) حضر محلول بتركيز 5% وفقا للطريقة المبينة في [19] والذي استخدم في فصل الأضداد الإفرازية

نظرا للتدخل الكبير بين المضاد الحيوي المستعمل في علاج أخماج السبيل البولي والحالة المناعية للمريض الذي لوحظ من خلال التغير الواضح في استجابة المرضى المصابين للعلاج وال فترة المطلوبة لشفائهم جاءت هذه الدراسة ليبيان تأثير أكثر المضادات الحيوية استعمالا لعلاج أخماج السبيل البولي على مستوى الأضداد الإفرازية الموضعية في إدرار المصابين بالخمج باعتبار ان تركيز تلك الأضداد يعد مؤشرا لمناعة السبيل البولي ضد الممرضات.

2. طرائق العمل

1.2. جاميع الدراسة

تمت الدراسة بالاعتماد على مقارنة حالات المرضى المصابين بخمج السبيل البولي مع السيطرة Case Control (trol Study) حيث تم خلال مدة الدراسة الحالية من شهر تشرين الأول عام 2014 وإلى نهاية شهر حزيران عام 2015 التعامل مع (80) مريض من المرضى المصابين بخمج السبيل البولي المراجعين لمستشفى الحسين التعليمي (من كلا الجنسين وبفئة عمرية واحدة 20-25 عام) حيث توزعوا بين (40) مريض مصابين بخمج السبيل البولي قبل استخدامهم للعلاج، و(40) مريض مصابين بخمج السبيل البولي أثناء تناولهم للعلاج، وتم تدوين معلوماتهم في استمارة استبيان خاصة.

2.2. جمع عينات الإدرار

جمعت عينات الأدرار حسب طريقة [15]، وقسمت بعد ذلك كل عينة إدرار إلى قسمين: القسم الأول اجري عليه الفحص المجهرى المباشر Direct Microscopic Examination) وبالاعتماد على نتائج هذا الفحص تم انتقاء 20 مريض من كل مجموعة اعتمادا على شدة الإصابة

5. نبذ المزيج بسرعة (5000) دورة في الدقيقة لمدة (20) دقيقة.

6. تم التخلص من الراشح والاحتفاظ بالراسب.
7. تم اضافة (3) ملليلتر من محلول الفورمالين مع (3) ملليلتر من محلول كبريتات الامونيوم (40%) الى راسب الادرار ومزج جيداً.

8. ترك المزيج في درجة حرارة الغرفة لمدة (10) دقائق قبل الاستعمال.

• التقدير الكمي لمستوى الأضداد الإفرازية الموضعية

تم تقدير مستوى الأضداد الإفرازية الموضعية حسب طريقة براد فورد [18] باستخدام صبغة الكوماسي Bo-Bزرقاء والبومين المصل البكري كبروتين قياسي (vine Serum Albumin (BSA)) وذلك من خلال عمل المنحنى القياسي للبروتين (BSA)، حيث تم تحضير تراكيز متدرجة منه حسب الجدول التالي:

2.4.2. الكشف عن الأضداد الإفرازية

الموضعية في الادرار

قدر الضد الإفرازي في عينات الادرار المجموعة من الأشخاص قيد الدراسة وحسب الخطوات التالية:

• فصل الأضداد الإفرازية الموضعية

تم فصل الأضداد الإفرازية الموضعية [19] وذلك باستخدام محلول كبريتات الامونيوم (40%) وكالاتي:

1. تم اخذ حجم معين من الادرار ووضع في انبوبة اختبار نظيفة ومعقمة.

2. نبذ الادرار بسرعة (4000) دورة في الدقيقة لمدة (5) دقائق.

3. تم اضافة حجم معين من راشح الادرار الى حجم مماثل له من كبريتات الامونيوم (40%).

4. ترك المزيج في الثلاجة لمدة نصف ساعة بدرجة حرارة (4) °C.

جدول (1): التراكيز المتدرجة لألبومين المصل البكري.

كمية البروتين (μg) مايكرو غرام	الحجم الكلي (μl) مايكرو ليتر	حجم الماء المقطر (μl) مايكرو ليتر	حجم محلول B.S.A الخزين (μl) مايكرو ليتر
10	1000	900	100
30	1000	700	300
50	1000	500	500
70	1000	300	700
90	1000	100	900
100	1000	0	1000

ومن ثم أكملت الخطوات لرسم المنحنى القياسي وكما تحضيره من الأدرار وفقاً للخطوة 4-B، والذي يحتوي على الأضداد الإفرازية الموضعية، بعدها تم تطبيق معادلة برادفورد وتسجيل تركيز البروتين.

3.4.2. تقدير عيار الأضداد الإفرازية الموضعية

استخدمت طريقة تلازن كريات الدم الحمراء [17]

وكالاتي:

1. وضع (50) ميكرو ليتر من محلول الملحى الفسلجي في كل حفرة من حفر طبق المعايرة.
2. أضيف (50) ميكرو ليتر من الكلوبويولين المناعي البولي المفصول بطريقة كبريتات الامونيوم (40%) للحفرة الأولى وخلط جيداً بالماصة الدقيقة.
3. نقل (50) ميكرو ليتر باستخدام الماصة الدقيقة من الحفرة الأولى إلى الحفرة الثانية وخلط جيداً ثم كررت العملية لحين الوصول إلى آخر حفرة في الصف الواحد، أي بواقع صف واحد لكل عينة حيث تكون آخر حفرة هي الحفرة رقم (12)، ثم أهمل منها (50) ميكرو ليتر وبذلك يكون الكلوبويولين المناعي قد خفف مرات عديدة بحيث يبقى حجم السائل في الحفر ثابتًا.

4. أضيف إلى كل حفرة (50) ميكرو ليتر من عالق كريات الدم الحمراء للإنسان ورج الطبق بلطف ثم حضن الطبق بدرجة حرارة (37) °م لمرة (45) دقيقة عندها أخرج الطبق من الحاضنة وتم تدويره بلطف وسجل مقدار العيار.

3. التحليل الإحصائي

استعمل التصميم العشوائي الكامل وتم إجراء التحليل الإحصائي للبيانات وذلك باستخدام برنامج

مبين بالخطوات التالية:

1. أضيف (2.5) ملليلتر من محلول صبغة الكوماسي

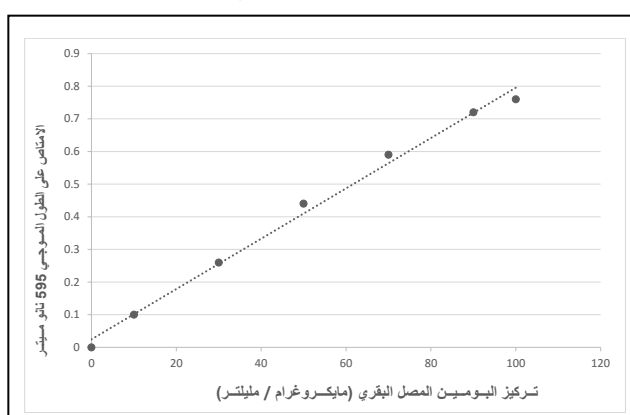
الزرقاء إلى (0.5) ملليلتر من كل تركيز من التراكيز المحضررة أعلىه ومزجت الانابيب جيداً وتركت لمدة (5) دقائق.

2. عمل محلول كفاء (Blank) وذلك بإضافة (2.5)

ملليلتر من محلول الصبغة إلى (0.5) ملليلتر من مزيج المكون من محلول كبريتات الامونيوم (40%) (0.25) ملليلتر و محلول الفورمالين (0.25) ملليلتر الممزوج جيداً.

3. قراءة الامتصاصية عند طول موجي

(595) نانومتر ورسم المنحنى القياسي لتركيز البروتين من رسم العلاقة بين امتصاص الضوء وتركيز البروتين BSA كما في الشكل (1).



الشكل (1): المنحنى القياسي للأبومين المصل البقرى لتقدير البروتين بطريقة برادفورد (Bradford, 1976)

ثم قدر تركيز الأضداد الإفرازية الموضعية من خلال تصفيير الجهاز أو لاً باستخدام محلول الكفاء ومن ثم قياس الكثافة الضوئية للعينات وذلك بإضافة (2.5) ملليلتر من محلول الصبغة إلى (0.5) ملليلتر من محلول العينة الذي تم

(ic) حيث يتاسب عدد الخلايا القيحية مع شدة الإصابة، كما ويافق ذلك في أحيان كثيرة ظهور كريات الدم الحمراء فضلاً عن احتواء بعض العينات على البلورات الملتحية، والخلايا الطلائية والتي تشير إلى حدوث خلل في حيوية السبيل البولي. يعتبر الفحص المجهرى ضرورياً للتحري عن وجود الخلايا القيحية وزيادتها والذي يعد دليلاً على الإصابة بخمج السبيل البولي، [21] ، كما أكد الباحث Vandepitte (2003) [22] على أهمية تعداد الخلايا القيحية للكشف عن وجود خمج السبيل البولي وشدته ، بينما اشار الباحثان Newman و Rose (1997) [23] إلى ان وجود الخلايا القيحية يساعد في تشخيص خمج السبيل البولي ويعتبر دليلاً على شدة الإصابة، لذا فإن وجود خلايا الخراج وكريات الدم الحمراء بأعداد أكثر من خمس خلايا في الحقل المجهرى عند فحص راسب الإدرار دلالة على وجود خمج السبيل البولي عند المريض [24].

جدول (2): نسبة الخلايا القيحية وخلايا الدم الحمر في إدرار المرضى المصابين بخمج السبيل البولي.

عينات الإدرار الموجبة للفحص النسبة المئوية %	عدد العينات	فحص عينات الإدرار *	الخلايا القيحية . 1	
			لا يوجد	15-16 خلية في الحقل المجهرى
8.75	7			
36.25	29			
31.25	25			
12.5	10			
11.25	9			
100	80			
			المجموع الكلى	

Excel Professional Plus 2016 For Windows في جهاز الحاسوب حيث تم استخراج قيمة المعدل والانحراف المعياري وعمل جدول تحليل تباين--Sin-Factor ANOVA للنتائج وایجاد قيمة اقل فرق معنوي (LSD) ومقارنتها مع الفرق بين متostein عند مستوى احتمالية (0.05) [20].

4. النتائج والمناقشة

1.4. الفحص المجهرى المباشر لعينات الأدرار

اظهرت نتائج الفحص المجهرى العام لعينات الأدرار للمصابين بأخماج السبيل البولي المبينة في الجدول رقم (2) احتواها على خلايا قيحية (Pus Cells) وكريات دم حمراء، اذ لوحظ زيادة نسبة الخلايا القيحية فيأغلب العينات المفحوصة ويعود السبب في ذلك الى ان اغلب انواع البكتيريا المسببة لأخماج السبيل البولي هي من النوع القيحي (Pyogen-).



كريات الدم الحمراء .2		
15	12	لا يوجد
50	40	15-1 كرية في الحقل المجهرى
15	12	35-16 كرية في الحقل المجهرى
12.5	10	100-36 كرية في الحقل المجهرى
7.5	6	تغطية كاملة للحقل المجهرى
100	80	المجموع الكلى

2.4. تقدير مستوى تركيز الأضداد الإفرازية الموضعية في الإدرار

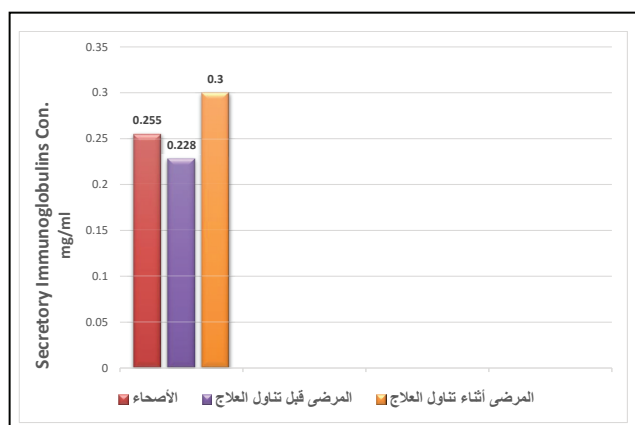
يعتبر الكلوبيلين المناعي الافرازي IgA عامل حماية للأسطح المخاطية في الجسم ويرتبط بطبيعة الإصابة وخصوصا الإصابة بالجراثيم الغازية لذلك يرتفع تركيزه بشكل كبير [27]، وهذا دلالة على الدور المهم الذي يلعبه sIgA في مناعة السبيل البولي، حيث يثبط غزو البكتيريا (Invasion) وذلك عن طريق الارتباط بالجراثيم ومنع التصاقها بالطبقة المخاطية المبطنة للقناة البولية [26]، يؤثر على حساسية بكتيريا *E.coli* تجاه المضاد الحيوي Ciprofloxacin، اذ لاحظ ان وجود sIgA يقلل من مقاومة بكتيريا *E.coli* تجاه هذا المضاد، والسبب في ذلك هو تأثير sIgA على طبيعة الغشاء الحيوي (Biofilm) بالشكل الذي يجعل الغشاء الحيوي أكثر حساسية للمضاد المذكور، ويمكن ان يكون ارتفاع تركيزه بعد تناول العلاج يعود الى ان نسبة انتاجه أصبحت أكثر من نسبة استهلاكه حيث ان المضاد الحيوي ساعد بصورة مباشرة على القضاء على المسبب [28] المرضي مما أدى الى زيادة تركيز sIgA [28].

أظهرت النتائج المبينة في الجدول (3) والشكل (2) وجود ارتفاع غير معنوي في مستوى تركيز الأضداد الموضعية في إدرار المرضى المصابين بخمى السبيل البولى أثناء تناولهم العلاج ليصل الى (0.300 mg /ml) مقارنة مع الأشخاص الأصحاء (0.255 mg /ml)، أما بالنسبة للمرضى قبل تناولهم للعلاج فأظهرت النتائج وجود انخفاض غير معنوي في تركيز الأضداد المناعية الموضعية في إدرارهم (0.228 mg /ml) مقارنة مع الأشخاص الأصحاء، تقارب نتائج هذه الدراسة مع نتائج دراس محلية للباحث Ahmed (2005) [25]، حيث كان تركيز الأضداد الإفرازية الموضعية في ادرار الأشخاص المصابين بخمى السبيل البولي (0.324 mg /ml)، في حين وجد الزبيدي (2005) [26] ان تركيز الأضداد الإفرازية الموضعية في الادرار وصل الى (0.304 mg /ml).

مستوي الأضداد المناعية mg/ml		مجاميع الدراسة
المعدل ± الانحراف المعياري	العدد الكلي	الأصحاء
0.067±0.255	20	المرضى قبل تناول العلاج
0.103 ± 0.228	20	المرضى أثناء تناول العلاج
0.099 0.300±	20	المرضى قبل تناول العلاج
لا يوجد فرق معنوي بمستوى معنوية P > 0.05		

جدول (3): مستوى الأضداد الإفرازية الموضعية في إدرار المرضى المصابين بخمج السبيل البولي قبل وأثناء اخذهم العلاج مقارنة بالأشخاص الأصحاء.

(4) وجود اختلاف واضح في عيار الضد بين الأشخاص الأصحاء والمرضى، حيث تراوح العيار لديهم بين (32-64) بينما المرضى المصابين بخمج السبيل البولي أثناء تناولهم للعلاج فقد تراوح العيار لديهم بين (128-256) كما كان الاختلاف واسع بين مرضى خمج السبيل البولي قبل استخدامهم للعلاج حيث تراوح العيار لديهم بين (64-256)، وبصورة عامة كان الارتفاع في عيار الضد معنوي لمجموعتي المرضى قبل تناول العلاج والمرضى أثناء تناول العلاج قياسا بمجموعة السيطرة، اختلفت هذه النتائج مع النتائج التي توصل إليها الجميلي (2007) [29] حيث كان عيار الضد غير المتخصص يتراوح بين (32-2048).



شكل (2): مستوى الأضداد الإفرازية الموضعية في إدرار المرضى المصابين بخمج السبيل البولي قبل وأثناء أخذهم العلاج مقارنة بالأشخاص الأصحاء.

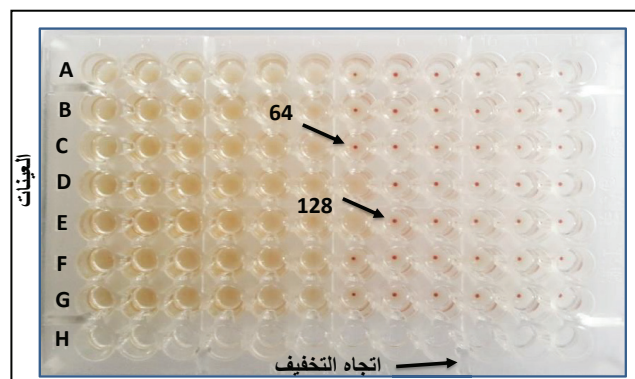
كما أظهرت النتائج الموضحة في الشكل (3) والجدول

جدول (4): العلاقة بين عيار الضد غير المتخصص مع عالي كريات الدم الحمراء للإنسان وتركيز الأضداد الإفرازية الموضعية لمجاميع الدراسة

المرضى أثناء تناول العلاج n=20		المرضى قبل تناول العلاج n=20		الاصحاء n=20		ت
عيار	sIgG تركيز	عيار	sIgG تركيز	عيار	sIgG تركيز	
256	0.177	128	0.184	32	0.292	1

128	0.339	64	0.183	32	0.272	2
128	0.332	64	0.183	32	0.269	3
128	0.333	256	0.207	4 64 0.204		
128	0.274	64	0.224	64	0.181	5
128	0.380	64	0.443	64	0.229	6
128	0.156	128	0.184	64	0.178	7
128	0.332	64	0.185	64	0.156	8
128	0.272	64	0.137	128	0.157	9
256	0.497	64	0.136	128	0.232	10
128	0.228	256	0.152	64	0.193	11
256	0.159	128	0.357	64	0.187	12
128	0.305	256	0.207	16	0.327	13
64	0.497	128	0.370	32	0.355	14
128	0.380	64	0.493	32	0.281	15
128	0.305	256	0.243	32	0.305	16
128	0.332	256	0.152	32	0.373	17
256	0.155	128	0.146	32	0.288	18
128	0.337	128	0.182	32	0.305	19
128	0.218	128	0.192	32	0.314	20
<hr/>						
* 134.4	0.300	* 150.4	0.228	52	0.225	
* يوجد فرق معنوي بمستوى معنوية $P > 0.05$						

- 749, (2003).
- [5] Brandtzaeg, P. ."Role of secretory antibodies in the defence against infections." International Journal of Medical Microbiology 293(1): 3-15, (2003).
- [6] Jørgensen, G. "Selective Immunoglobulin A deficiency in Iceland. Epidemiology, clinical features and genetic analysis", (2013).
- [7] Woof, J. M. and M. A. Kerr. "The function of immunoglobulin A in immunity." The Journal of pathology 208(2): 270-282, (2006).
- [8] Wolf, H., I. Hauber, H. Gulle, A. Samstag, M. Fischer, R. Ahmad and M. Eibl. "Anti-inflammatory properties of human serum IgA: induction of IL-1 receptor antagonist and Fc α R (CD89)-mediated down-regulation of tumour necrosis factor-alpha (TNF- α) and IL-6 in human monocytes." Clinical & Experimental Immunology 105(3): 537-543, (1996).
- [9] Monteiro, R. C.. "Role of IgA and IgA fc receptors in inflammation." Journal of clinical immunology 30(1): 1-9, (2010).
- [10] Van Vlem, B., R. Vanholder, P. De Paepe, S. Ringoir and D. Vogelaers. "Immunomodulating effects of antibiotics: literature review." Infection 24(4): 275-291, (1996).
- [11] Gupta, K., T. M. Hooton and W. E. Stamm. "Increasing antimicrobial resistance and the management of uncompli-



شكل (3): طبق معايرة الضد غير المتخصص مع عالق كريات الدم الحمراء للإنسان لعدة عينات بواقع صف واحد (12) حفرة لكل عينة.

المصادر

- [1] Trinchieri, A., L. Braceschi, D. Tiranti, S. Dell'Acqua, A. Mandressi and E. Pisani. "Secretory immunoglobulin A and inhibitory activity of bacterial adherence to epithelial cells in urine from patients with urinary tract infections." Urological research 18(5): 305-308, (1990).
- [2] Chen, J., M. Trounstein, F. W. Alt, F. Young, C. Kurahara, J. F. Loring and D. Huszar. "Immunoglobulin gene rearrangement in B cell deficient mice generated by targeted deletion of the JH locus." International immunology 5(6): 647-656, (1993).
- [3] Smee, N. Investigations into the urinary tract, Kansas State University, (2012).
- [4] Fernandez, M. I., T. Pedron, R. Tournebize, J.-C. Olivo-Marin, P. J. Sansonetti and A. Phalipon. "Anti-inflammatory role for intracellular dimeric immunoglobulin a by neutralization of lipopolysaccharide in epithelial cells." Immunity 18(6): 739-

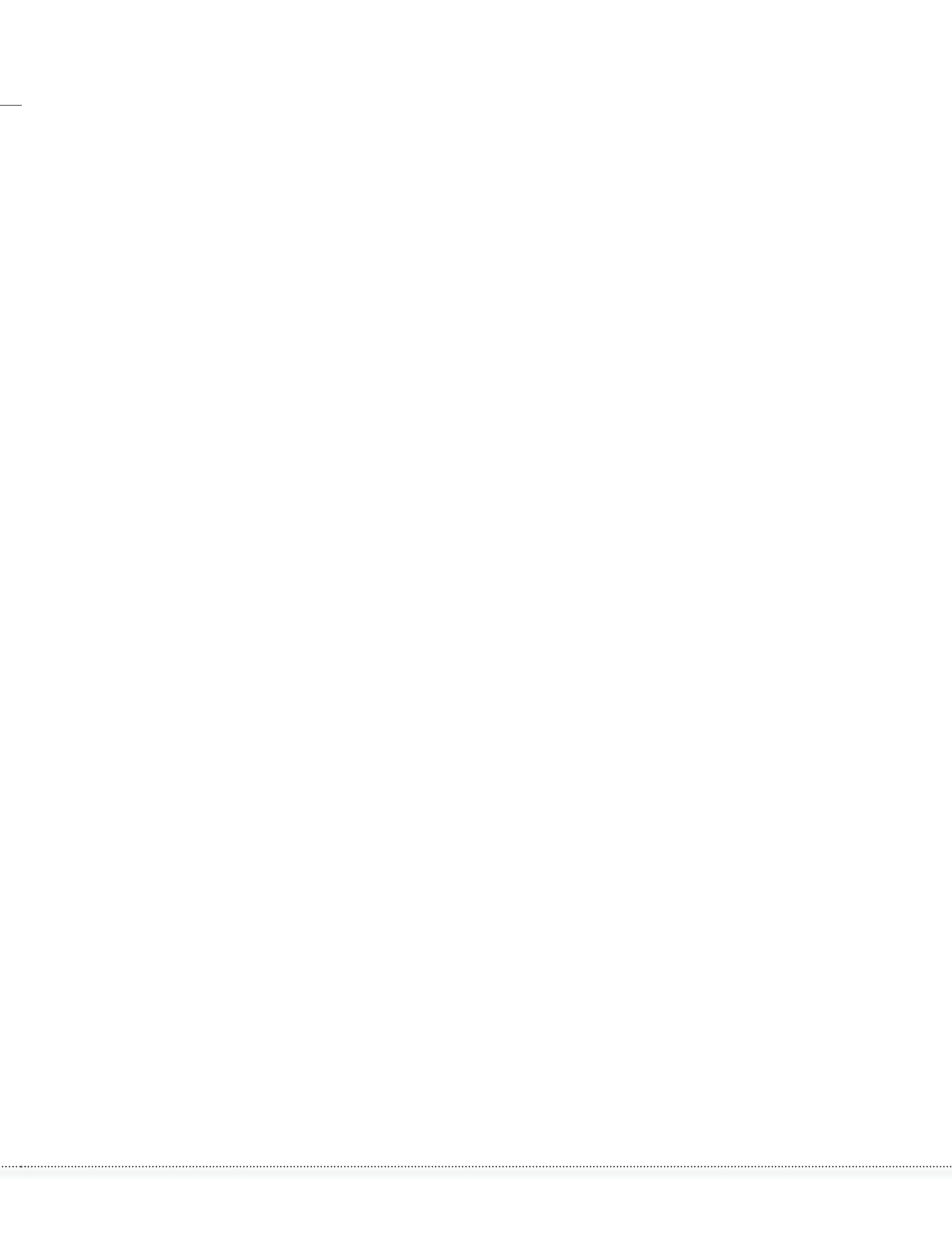
- Edition, Addison-wesley, (1977).
- [18] Bradford, M. M.. "A rapid and sensitive method for the quantitation of microgram quantities of protein utilizing the principle of protein-dye binding." *Analytical biochemistry* 72(1-2): 248-254, (1976).
- [19] Boyer, R.F. Modern experimental biochemistry. Massachusetts, Addison-Wesley Publishing Company, (1986).
- [20] Steel, R.G and Torrie, J.H. Principles and Procedures of Statistics., 2nd.ed,McGraw. Hill Book Co .New York , Ny., (1980).
- [21] Braunwald, F., A. Fauci, E. Kasper, C. Hauser, W. Longo and B. Jameson (Harrison's Principles of Internal Medicine 2001), 15th edition. London, (2001).
- [22] Vandepitte, J., J. Verhaegen, K. Engbaek, P. Rohner, P. Piot and C. Heuck. Basic laboratory procedures in clinical bacteriology, World Health Organization, (2003).
- [23] Newman, T. and V. Rose. "Unexplained fever may indicate urinary tract infections." *American Family Physician* 56(4): 1166, (1997).
- [24] الحميداوي، طالب فالح حسن. النشاط الاهيموليسيني لبكتيريا اشيريكيا القولون المسيبة لالتهاب المجاري البولية و مقاومتها لمضادات الحياة. أطروحة دكتوراه، كلية العلوم، الجامعة المستنصرية، (2005).
- [25] Ahmed, Z. K.. Effect of Human Male Senescence on Mucosal Immune Responses During Bacterial Urinary Tract Infections, University of Babylon, (2005).
- cated community-acquired urinary tract infections." *Annals of internal medicine* 135(1): 41-50, (2001).
- [12] Raponi, G., N. Keller, B. Overbeek, M. Rozenberg-Arska, K. van Kessel and J. Verhoef. "Enhanced phagocytosis of encapsulated Escherichia coli strains after exposure to sub-MICs of antibiotics is correlated to changes of the bacterial cell surface." *Antimicrobial agents and chemotherapy* 34(2): 332-336, (1990).
- [13] Forsgren, A. and P.-I. Bergkvist. "Effect of ciprofloxacin on phagocytosis." *European journal of clinical microbiology* 4(6): 575-578, (1985).
- [14] Anderson, R., G. Grabow, R. Oosthuizen, A. Theron and A. Van Rensburg. "Effects of sulfamethoxazole and trimethoprim on human neutrophil and lymphocyte functions in vitro: in vivo effects of co-trimoxazole." *Antimicrobial agents and chemotherapy* 17(3): 322-326, (1980).
- [15] Rajehwari ,H. ; Nagaveni ,S .; Oli , A. and Chandrakanth,K. Multiple Antibiotic Resistance and Esbl Producing Klebsiella pneumonia isolated from clinical Urine Samples . 5(1): 89-9, (2010).
- [16] Schrier, R. and Gottschalk, C.. *Disease of the Kidney*. 1. 15th ed., Little, Brown & Company, London., 125, 200, (1993).
- [17] Garvey, J. S., N. E. Cremer and D. H. Sussdorf. Methods in immunology: a laboratory text for instruction and research,3rd

[26] الزبيدي، نهاد خلاوي تكتوك. دراسة بكتريولوجية ومصلية لمرضى السكري المصابين بالتهابات المجاري البولية واعتلال الشبكية. رسالة ماجستير، كلية العلوم، جامعة المستنصرية، (2005).

[27] Shaker, A. E. (2001). Immuno status in diabetic patients M.SC thesis Al-Mustansiriya university.

[28] Lee, Y. H., K. Y. Su, A. Wyse, A. Barbas, D. Palestrandt, K. Shieh, M. Lou Everett, A. Devalapalli, P. E. Orndorff and R. R. Bollinger. "Incorporation of secretory immunoglobulin A into biofilms can decrease their resistance to ciprofloxacin." Microbiology and immunology 55(3): 174-183, (2011).

[29] الجميلي، علي مالك سعد. دراسة الحساسية الدوائية والاستجابة الخلاطية الموضعية للبكتيريا المسببة لالتهاب المجاري البولية لمرضى مستشفى المحاويل العام. رسالة ماجستير، كلية للعلوم للبنات، جامعة بابل، (2007).



بناء نموذج رياضي للتنبؤ بعدد أيام التوقف عن العمل في مشاريع المدارس في محافظة بغداد

غافل كريم اسود و محمد نعمة احمد الغانمي

قسم الهندسة المدنية، كلية الهندسة، جامعة كربلاء، العراق

تاريخ الاستلام: 8 / 7 / 2016

تاريخ قبول النشر: 7 / 10 / 2016

Abstract

This study was conducted to examine the influence of the project size (CV), financial efficiency (CFS) and the rank of the contractor (CR) to predict the number of work stoppage days (WS) before work starts. The historical data of (59) secondary schools having (18) classes in Baghdad city that completed in (2005-2011) are used to develop the nonlinear regression model. Based on the study analysis, it was found that the number of days of work stoppage could be predicted (at pre-tendering stage) using the size of the project, the financial efficiency and the rank degree of the contractor as independent variables to build the mathematical model with coefficient of determination ($R^2=66.5\%$). Model validation test showed the goodness of prediction for the number of work stoppage days with ($R^2=82\%$) and deviation (-0.07) to (-0.52).

Keywords

Work stoppage, nonlinear regression, School projects, Execution time, Claims, Change order.

الخلاصة

اجريت هذه الدراسة لأختبار تأثير حجم المشروع (CV) والكفاءة المالية للمقاول (CFS) على امكانية التنبؤ بعدد ايام التوقف عن العمل (WS) قبل بدء العمل. تم دراسة البيانات التاريخية لعينة من (59) مدرسة ثانوية ذات (18) صف في مدينة بغداد والمنفذة للأعوام (2005-2011) لبناء نموذج الانحدار غير الخطى المتعدد. تبين بعد اجراء التحليل للبيانات انه يمكن التنبؤ بعدد ايام التوقف عن العمل (قبل مرحلة التعاقد) باستخدام حجم المشروع والكفاءة المالية للمقاول ودرجة تصنيفه كمتغيرات مستقلة لبناء النموذج الرياضي بمعامل تحديد = 66.5% (R²). بين التحقق من صحة النموذج الرياضي انه جيد جدا في التنبؤ بعدد أيام التوقف عن العمل وبمعامل تحديد = 82% (R²) وبانحراف يتراوح بين (-0.07) إلى (0.52).

الكلمات المفتاحية

توقف العمل، الانحدار غير الخطى، مشاريع المدارس، زمن التنفيذ، المطالبات، أوامر الغيار.

4. النقص أو الشحة في بضائع أو عماله بسبب الإجراءات

الحكومية غير متوقعة.

5. أي تأخير يحصل بسبب إجراءات رب العمل أو موظفيه أو المتعاقدين معه.

أما الشروط العامة لمقاولات أعمال الهندسة المدنية العراقية فبالمادة الخامسة والأربعون فقد تضمنت الحالات التي يحق للمقاول فيها طلب تمديد مدة إكمال العمل وخلال ثلاثون يوماً من نشوء سبب التمديد [3]:

أ- إذا طرأت أي زيادة أو تغير في الأعمال كما أو نوعاً وكان من شأن ذلك أن يؤثر على سير الأعمال بحيث لا إكمالها ضمن مدة إكمال الأعمال.

ب- إذا كان تأخير إكمال الأعمال لأسباب أو إجراءات تعود لصاحب العمل أو لآية جهة مخولة قانوناً أو لأسباب تعود لمقاولين آخرين يستخدمهم صاحب العمل.

ج- إذا وجدت بعد التعاقد ظروف استثنائية لا يد للمقاول فيها ولم يكن بالواسع توقعها أو تفاديتها وترتبط عليها تأخير إكمال الأعمال ضمن هذه إكمال الأعمال. هذا البحث يتناول التنبؤ بالمدد الإضافية التي قد يستحقها المقاول بموجب الشروط أعلاه وقبل المباشرة بالتنفيذ.

2. مبررات البحث (Research Justifications)

كثرة الطلب على مشاريع بناء المدارس حسب خطة البلد يرافقها عدم انجاز هذه المشاريع في الوقت المحدد لها وكثرة مطالبات المقاولين لتمديد مدة المشروع الإنساني من أهم المبررات التي حفظت الباحث على إجراء هذا البحث للتحري عن إمكانية تحديد عدد أيام التوقفات المحتمل أن يطالب بها المقاول المنفذ للمشروع الإنساني الخاص بالمدارس لمساعدة كل من المقاول ورب العمل في اتخاذ التدابير اللازمة لمواجهة خاطر تمديد العمل. وبالتالي تحقيق المشروع ضمن الخطة الزمنية المثبتة عقد المقاولة.

1. المقدمة (Introduction)

تم بناء (2716) مدرسة في العراق وتعتبر مشاريع المدارس من المشاريع المتكررة حيث تقدر وزارة التخطيط حاجة العراق لغاية عام (2017) لبناء (791) مدرسة ثانوية و(2250) مدرسة ابتدائية لإنهاء ظاهرة الدوام الثنائي والثلاثي [1]. يتضح من هذه الإحصائيات إن هناك زيادة مطردة في الحاجة لبناء المدارس بسبب النمو السكاني الطبيعي وإنهاء ظاهرة الدوام المزدوج والثلاثي. تعد الإخفاقات الزمنية من الأمور التي لا يمكن ضمان عدم حصولها في المشروع الإنساني ويتيح عنها مطالبات ومنازعات كثيرة بين المقاول ورب العمل. يتاثر المشروع الإنساني خلال فترة التنفيذ بجملة من العوامل التي تؤخر الوقت التعاقدى لتنفيذ المشروع. من هذه العوامل ما يربى حق للمقاول في طلب تمديد زمن المشروع ومنها ما يتطلب التعويض والتمديد معاً. معظم هذه العوامل غير قابلة للقياس الكمي أو لا توفر بيانات تاريخية لقياسها لعدم وجود توثيق لدى اغلب إدارات المشاريع. من المهم جداً أن يكون لدى رب العمل تصور أولي أو معرفة بالوقت المتوقع لإنجاز مشروعه. هذا البحث هو الأول من نوعه (على حد اطلاع الباحثين) الذي استخدم عوامل قابلة لقياسها وتحت يد رب العمل في مرحلة تحليل العطاءات وقبل بدء التنفيذ للتنبؤ بعدد الأيام المتوقع إن يطلبها المقاول كمدد إضافية للعمل والتي تساعده رب العمل في توقع تاريخ الإنجاز الفعلي لمشروعه.

1.1. توقف العمل (Work Stoppage)

يعرف بأنه مقدار التمديد بوقت إكمال المشروع الذي يستحقه المقاول للأسباب التالية [2]:

1. أي تغيير كبير بالكميات الواردة بجدول الكميات المتعاقد عليها.
2. أي سبب تم ذكره بالعقد يعطي المقاول حق طلب تمديد الوقت.
3. الظروف المناخية السيئة والاستثنائية.

S-Curve ,Time Impact Analysis ,Analysis of (dollar-to-time relationship or). دراسة (سوسن وعلاء, 2014)[8] تناولت التحديد النوعي والكمي للخطر وكيفية الاستجابة للخطر والمطالبات الناشئة عن المخاطر وذكرت العديد من الدراسات والبحوث التي تناولت موضوع المخاطر التي تواجه المشروع الإنساني وتؤدي إلى تأخير تسليم المشروع في الوقت المحدد له.

هذه الطرق استخدمت في حل المنازعات والمطالبات الناشئة بين المقاول ورب العمل عن طريق تبع تنفيذ المشروع كما مخطط له مقابل المدة الفعلية للفقرة المنفذة او للمشروع ككل وتوزيع المسؤولية الناجمة عن التأخير على طرف العقد (المقاول ورب العمل).

دراسة (John, 2003)[9] تناولت حساب مقدار

الوقت الإضافي لتعطية الخطر الناتج من عامل الوقت باعتماد نسبة احتمالية من الوقت التعاقدى للعمل للحصول على الوقت المتوقع لإنجاز العمل. لم يجد الباحثون (على حد اطلاعهم) دراسة تناولت التنبؤ بعدد أيام التوقف المحتملة للعمل وقبل التعاقد مع المقاول الفائز بالعطاء.

6. البرنامج الإحصائي SPSS

برنامج الـ SPSS أو (Statistical package for social sciences) الخزم الإحصائية للعلوم الاجتماعية، هو عبارة عن حزم حاسوبية متكاملة لإدخال البيانات وتحليلها. ويحتوي على معظم الاختبارات الإحصائية (تقريباً) يمتاز بقدرته الفائقة في معالجة البيانات وتوافقه مع معظم البرمجيات المشهورة مما جعل منه أداة فاعلة لتحليل شتى أنواع البحوث العلمية. يستطيع برنامج SPSS قراءة البيانات من معظم أنواع الملفات ثم يستخدمها لاستخراج التائج على هيئة تقارير إحصائية أو أشكال الأمر الذي شجع الباحث على استخدام هذا البرنامج والشكل (1) يبين واجهة البرنامج مع جزء من البيانات المستخدمة في البحث.

3. أهداف البحث (Research Objectives)

يهدف البحث إلى بناء (نموذج) موديل رياضي باستخدام الانحدار غير الخططي Nonlinear Regression للتنبؤ بعدد أيام التوقف عن العمل في مشاريع المدارس في محافظة بغداد لمساعدة رب العمل في اتخاذ القرار قبل مرحلة التعاقد وفي مرحلة تحليل العطاءات.

4. فرضية البحث (Research Hypothesis)

قبل أحوال العمل وفي مرحلة تحليل العطاءات، يمكن القول بأن كفاءة المقاول المالية وتصنيفه وحجم المشروع (كلفته التعاقدية) هي عوامل تنبؤية (متغيرات مستقلة) جيدة لمعرفة عدد الأيام المتوقعة للتوقف عن العمل وبالتالي معرفة الزمن النهائي المتوقع لإنجاز المشروع.

5. الأدبيات السابقة (Literature Review)

دراسة (العجيبي وعبد السلام, 2016)[4] تضمنت سرد العديد من الدراسات في مختلف بلدان العالم لتحديد العوامل التي تؤدي إلى التأخير الزمني لتنفيذ المشروع الإنساني وتحديد أهمية وزن (weight) كل عامل وبيان مسؤولية كل طرف من فريق المشروع عن هذا التأخير دون حماولة تحديد العدد المتوقع لأيام التأخير. دراسة [5](Kolawole, 2016)

تناولت فحص واختبار تأثير حجم المشروع والفرق بين الكلفة التخمينية والمبلغ التعاقدى الأولى للمشروع في التنبؤ بمعدل أوامر الغيار. دراسة كل من (Vasilyeva-

[6](Lyulina, 2015) و(Braimah, 2013)[7] تناولتا استعراض للطرق او النماذج الرياضية المستخدمة في تحليل التأخير الزمني في المشاريع وجوانب القصور في كل منها وهي Net Impact,Global Impact Method Impact ,As-Planned vs. As-Built,Method Window ,Collapse As-Built ,As-Planned

	Schoolname	year	Contractorfinancial status	Contractvalue	Duration	Contractor rank	Changeorder	Workstopage	
1	Khawla Bint AlAz...	2007	228851521	864473000	240	4	75	109	
2	AlRawabi	2007	475208800	989172000	240	4	111	90	
3	AlAdala	2007	521504008	992242142	240	5	100	93	
4	AlGhazaliya	2008	457080500	910517760	240	3	125	87	
5	AlShmus	2005	341528205	741001608	240	4	99	68	
6	AlUkhaydir	2006	278707820	827075340	240	4	114	44	
7	AlZubair	2005	123508205	779772690	240	4	67	17	
8	Aum AlMuminin	2005	93722057	485539380	240	4	77	40	
9	Dhu AlNurain	2006	133822005	716089680	240	4	64	29	
10	Allkhlass	2007	89515205	1024066552	240	5	55	14	
11	AlManar	2006	106820472	920851223	240	5	45	11	
12	Dhabab AlAswad	2006	145820005	853002982	240	5	59	35	
13	AlBilad	2011	105605320	994700580	360	2	80	32	
14	Aweys AlQarani	2006	144852360	695029680	240	4	63	27	
15	AlAmal	2005	40000000	828548050	240	5	15	4	
16	Sanaa	2006	200000000	638075232	240	4	65	16	
17	AlBukhari	2010	245115328	950444751	360	3	65	16	
18	AlThyir AlArabi	2005	196325410	750095640	240	4	52	13	
19	AlAfaq	2008	150202100	986234400	240	5	44	11	
20	AlMuthana	2011	230741258	912632070	360	2	30	8	
21	Akad	2005	47000000	593152740	240	5	35	9	
22	AlBahir	2007	98267456	1000000000	240	4	45	75	

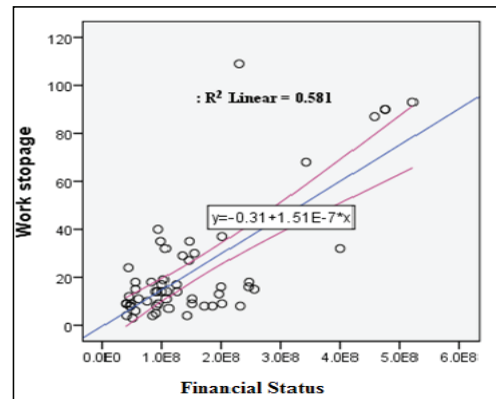
شكل رقم (1): واجهة البرنامج الإحصائي SPSS

7. طريقة البحث (Research Methodology)

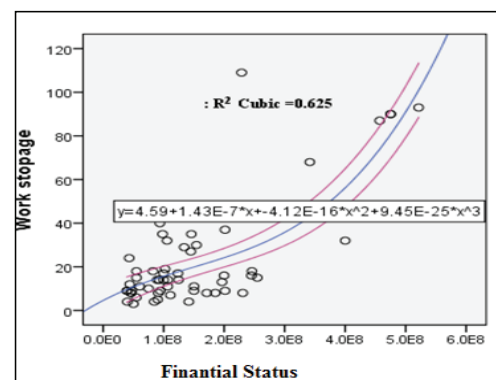
تم الحصول على البيانات المستخدمة في هذا البحث من (2) بين اختبار العلاقة الخطية لأحد هذه المتغيرات. بطريقة تخمين المتنحني (curve estimation) لكل متغير مستقل على حدة تم الحصول على القيم الأولية للثوابت والمعاملات (18) صف محالة بطريقة البيانات هي مدارس ثانوية ذات (18) صف محالة بخطىء أو طأ العطاءات ولها نفس التصميم الإنساني ونفس عدد الطوابق وبنفس المساحة الإجماليةنفذت في محافظة بغداد الشكل رقم (3) بين أفضل علاقة رياضية بين كفاءة المقاول والمالية وعد أيام التوقف عن العمل الفعلية. تم استخدام (59) بين الأعوام (2005-2011) الملحق (A). تم اختيار (5) حالات (مدرسة) بطريقة عشوائية لبناء النموذج الرياضي. تم فحص البيانات باستخدام برنامج الحزمة الإحصائية للعلوم الاجتماعية (SPSS) الإصدار (23) لاختبار العلاقة الخطية (5) نماذج رياضية يوفرها برنامج (SPSS). تم عزل (5) حالات (مدارس) بطريقة عشوائية لم تستخدم في بناء الموديل لغرض استخدامها في فحص كفاءة التنبؤ للنموذج الرياضي. (10) نماذج رياضية يوفرها برنامج (SPSS). تم عزل (5) الحالات (مدارس) بطريقة عشوائية لم تستخدم في بناء الموديل عن طريق رسم المخطط النقطي (Scatter Plot) لكل متغير مستقل على حدة ولم تتوصل إلى بناء نموذج رياضي أو أية علاقة منتجة لأي من المتغيرات المستقلة والشكل رقم (10).

1.7 الانحدار غير الخطى (Nonlinear Regression)

يعتبر تحليل الانحدار اداة فعالة في التنبؤ في مختلف المجالات وتستخدم لتخمين العلاقة بين المتغيرات في النموذج. ويتم ذلك عن طريق فحص كيفية تصرف العلاقة بين المتغير المعتمد ومتغير مستقل واحد اذا ما تم ثبيت بقية العوامل (المتغيرات المستقلة). يمكن أيضاً بتحليل الانحدار وصف التغير في المتغير التابع في دالة الانحدار عن طريق التوزيع الاحتمالي [10]. من اهم ميزات تحليل الانحدار غير الخطى هو امكانية استخدام العديد من الدوال وال العلاقات غير الخطية والتي تلائم معظم الظواهر والعمليات الفيزيائية أو العلمية. يمكن التوصل الى تقدير جيد للعوامل غير المعرفة في النموذج باستخدام عينة قليلة نسبياً من البيانات [11]. الجدول (1) يبين بعض الدوال غير الخطية التي يتعامل معها برنامج SPSS [12].



شكل رقم (2): اختبار العلاقة الخطية بين المتغير المستقل كفاءة المقاول المالية مع عدد أيام التوقف عن العمل



شكل رقم (3): أفضل علاقة رياضية تم الحصول عليها للمتغير المستقل كفاءة المقاول المالية مع عدد أيام التوقف عن العمل

جدول (1) انواع الدوال غير الخطية في برنامج SPSS

Quadratic	$y=x^2+b*x+c$
Cubic	$y=a*x^3+b*x^2+c*x+d$
Quartic	$y=a*x^4+b*x^3+c*x^2+d*x+e$
Exponential	$y=a*e^{b*x}$
Logarithmic	$y=a+b*\ln x$
Power	$y=a*x^b$
Inverse	$y=a+(b/x)$
S-curve	$y=e^{(a+(b/x))}$
Compound	$y=a*b^x$
Growth	$y=e^{a+b*t}$
Logistic	$y=1/(1/u+(a*(b^x))), u \text{ is the upper boundary value.}$

7. بناء النموذج الرياضي (Model Develop-
ment) معلمات المعادلة وفحصها بواسطة قيمة معامل التحديد
الناتجة (R^2). يتم الحصول على أفضل قيم للمعلمات في

تم استخدام برنامج (SPSS) لبناء النموذج الرياضي باستخدام الانحدار غير الخططي بتقنية (-Levenberg Marquardt) باعتبارها التقنية الافتراضية في البرنامج والتي تسمح بأقصى عدد من الدورات (iterations) لفحص النموذج [12]. تعتمد هذه التقنية على إدخال التغيرات المستقلة في المعادلة غير الخططية وفقاً لبعض قيم (CV) ودرجة تصنيف المقاول (CR) هي:

$$WS = b_0 + b_1 * (CFS) - b_2 * (CFS)^2 + b_3 * (CFS)^3 + b_4 - b_5 * (CV) + b_6 * (CV)^2 + b_7 - b_8 * (CR) + b_9 * (CR)^2 - b_{10} * (CR)^3 \quad \dots \dots \dots \quad (1)$$

جدول (2): القيم المقدرة لمعلمات النموذج الرياضي (WS)

الثابت	القيمة	الخطأ المعياري	درجة الثقة٪٩٥	
			الحد الأعلى	الحد الأدنى
b0	-3296811.765	1.84427E+20	3.70815E+20	3.70815E+20
b1	2.12E-07	0	5.83E-07	-1.58E-07
b2	7.44E-16	0	2.49E-15	-1.00E-15
b3	1.31E-24	0	3.62E-24	-9.97E-25
b4	-3420035.941	193764752.2	386170109.5	-393010181.424
b5	1.26E-07	0	4.55E-07	-2.02E-07
b6	9.07E-17	0	3.07E-16	-1.25E-16
b7	6716917.033	1.84427E+20	3.70815E+20	-3.70815E+20
b8	44.428	40.31	125.477	-36.622
b9	18.388	13.527	45.586	-8.809
b10	2.152	1.393	4.953	-0.649

ومن رسم المخطط النقاطي للبواقي (Residuals) شكل رقم (4) يتضح ان النقاط لا تتبع شكلًا بيانيًا معين بل تتوزع مقبولة النموذج الرياضي للتنبؤ بعدد أيام التوقف عن العمل.

$$MAPE = \left\{ \sum_{j=1}^n \frac{|A-E|}{A} * 100 \right\} / n \quad \dots \dots \dots \quad (2)^{[13]}$$

$$RMSE = \sqrt{\frac{\sum_{j=1}^n (E-A)^2}{n}} \quad \dots \dots \dots \quad (3)^{[14]}$$

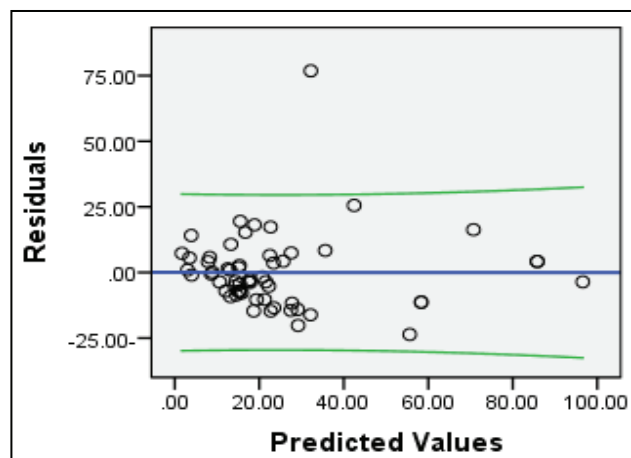
$$AA\% = 100\% - MAPE \quad \dots \dots \dots \quad (4)^{[15]}$$

$$R^2 = \frac{\sum(E-A)^2}{\sum A^2 - n \sum E^2} \quad \dots \dots \dots \quad (5)^{[16]}$$

حيث ان:

A = القيمة الفعلية، E = القيمة المحسوبة من الموديل، n = عدد الحالات (cases) (5 حالة)

تم حساب العدد المتوقع لأ أيام التوقف عن العمل للمشاريع الخمسة باستخدام المعادلة التي تم الحصول عليها للنموذج الرياضي ومقارنتها بالعدد الفعلي المسجل (المشاهد) لأ أيام التوقف وتبين ان الموديل الرياضي جيد جدا في التنبؤ بالنتائج وبمعامل تحديد ($R^2=82\%$) والانحراف يتراوح مقداره (0.07 - الى 20.5) والنتائج مدرجة بالجدول رقم (3). ولتقييم صحة المعادلة المشتقة لحساب عدد الايام المتوقعة لتوقف العمل في المشاريع تم رسم العلاقة بين عدد ايام توقف العمل الفعلي وعدد الايام المحسوب من المعادلة ويتبين من الشكل (5) امكانية تعميم نموذج الانحدار غير الخططي في العمل بمثل هذا النوع من البيانات. الجذر التربيعي لمعدل مربع الخطأ (RMSE) للنموذج الرياضي بلغت (6.82) ومعدل النسبة المئوية للدقة (AA) بلغت (73%) والنتائج كما في الجدول رقم (5).



شكل رقم (4): المخطط النقاطي للبواقي

8. التحقق من صحة النموذج (Model Validation)

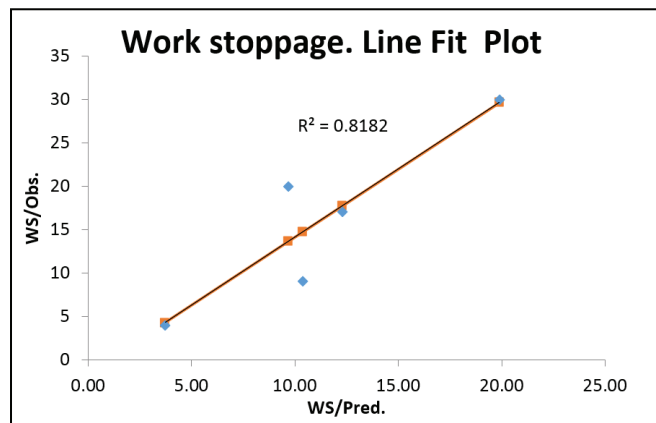
من الخطوات الهامة في بناء النماذج الرياضية هو اختبار مدى دقتها وكفائتها في التنبؤ. تتم هذه الخطوة باختبار النموذج بواسطة عينة من البيانات التي لم تستخدم في اي مرحلة من مراحل بناء النموذج الرياضي. في هذا البحث تم اختيار عينة عشوائية من خمسة مشاريع إضافية من نفس مجتمع الدراسة وتم فحصها وتحليلها باستخدام برنامج Excel 2013. المشاريع الخمسة المختارة لفحص الموديل (النموذج) لم تكن من ضمن الـ (59) مشروع التي استخدمت لبناء النموذج. المعلمات (Parameters) الاحصائية المستخدمة للتتحقق من امكانية تعميم النموذج الرياضي وكفاءته في التنبؤ بعدد الأيام المتوقعة لتوقف عن العمل هي النسبة المئوية للقيمة المطلقة الخطأ RMSE، الجذر التربيعي لمعدل مربع الخطأ AA ومعدل النسبة المئوية للدقة R² حيث:

جدول رقم (3): مقارنة بين القيم الفعلية لأ أيام التوقف عن العمل والمحسوبة من النموذج الرياضي (WS)

رقم الحالة	ايام التوقف الفعلية	ايام التوقف المحسوبة	Deviation* الانحراف٪	Residuals البواقي
60	17	12.30	-0.28	-0.72154

61	9	10.38	0.15	-5.71341
62	30	19.89	-0.34	0.386729
63	4	3.74	-0.07	-0.30885
64	20	9.69	-0.52	6.357076

[Deviation % = {(Predicted days – Observed days)/Observed days}*100]^[17]*



شكل رقم (5): القيم الفعلية لعدد ايام التوقف عن العمل مرسومة مقابل المحسوبة من النموذج الرياضي (WS)

جدول رقم (4): نتائج فحص كفاءة الاداء للنموذج الرياضي (WS)

الوصف	قيم المعلمات الإحصائية
النسبة المئوية للفariance المطلقة الخطأ	MAPE % 26.95581
الجذر التربيعي لمعدل مربع الخطأ	RMSE 6.820657645
معدل النسبة المئوية للدقة	AA 73.04419%
معامل التحديد	R ² 82%

المتغيرات المستقلة التي استخدمت لبناء النموذج التنبؤى

9. الأستنتاجات (Conclusions)

تبين من نتائج الدراسة انه يمكن التنبؤ بـ عدد ايام التوقف عن العمل في مشاريع المدارس العامة (الحكومية) العراقية وقبل التعاقد مع المقاول الفائز بالمناقصة باستخدام نموذج رياضي يعتمد على تحليل الانحدار غير الخطى . باعتبار الكفاءة المالية للمقاول، حجم المشروع ودرجة تصنيف المقاول هي وبمعامل تحديد (R²) مقداره (66.5%). وبنسبة دقة (73%) وتبين صحة فرضية البحث. أظهر فحص كفاءة النموذج درجة تنبؤ جيدة جدا وبمعامل تحديد (R²) مقداره (82%) ويمكن القول ان البحث قد حقق اهدافه . رب العمل يمكنه الاستفادة من هذا النموذج الرياضي في معرفة

- [3] MOP, "General Conditions for Contracts of Civil Engineering Works" Part I & II, Planning Board, Iraq (in Arabic), (2005).
- [4] Hatem Khaleefah Al-Ageeli and Abdul Salam, J. Ali Alzobaee "The Most Influential Factor on the Stumble and Failure of the governmental Projects" Journal of Engineering Volume 22, Issue 2, p. 93–110, (2005).
- [5] Kolawole, A., G. Munala, and K. Kamau, "Predictors of change order rates in building projects under" due process" in Northern Nigeria. (2016).
- [6] Vasilyeva-Lyulina, A., M. Onishi, and K. Kobayashi, "Delay Analysis Methods for Construction Projects: Mathematical Modelling" International Journal of Transportation, 3(1): p. 27-36, (2015).
- [7] Braimah, N., "Approaches to Delay Claims Assessment Employed in the UK Construction Industry" Buildings, 3(3): p. 598 -620K, (2013).
- [8] Sawsan Rasheed Mohammad and Alaa Mohsin Mahdi "Risks causing claims and the Adopted procedures to avoid or reduce Them to the least we can" Journal of Engineering Volume 20, Issue 10, p. 1–18. (in-Arabic), (2014).
- [9] John, N., "Project management for business and technology", Prentice Hall, (2003).
- [10] Elhag,Taha, M.S., "Tender Price Modeling: Artificial Neural Networks and Regression Techniques", PhD Dissertation

عدد ايام التوقف عن العمل التي يتحمل ان يطالب بها المقاول الذي سيتم التعاقد معه وبالتالي معرفة الزمن الذي سيتم فيه الانتهاء من تسليم المشروع. بالمقابل فان المقاول ايضا يمكنه استخدام هذا النموذج الرياضي لأخذ احتياطاته الممكنة لتلافي النتائج العكسية لتأخير المشروع.

10. التوصيات (Recommendations)

1. عدم اعتماد مبدأ الإحالة لأوطال العطاءات.
2. الاهتمام بالتوثيق وتسجيل الأحداث أول بأول لضمان تسجيل الحالات التي يستحق فيها المقاول التمديد وفق الشروط العامة لمقاولات أعمال الهندسة المدنية.
3. إعداد جدول تقدم عمل حقيقي باستخدام البرامج الهندسية المعروفة والمواظبة على تحديده باستمرار.
4. الاهتمام بالتصميم التكامل للمشروع وأعداد جدول كميات دقيق بحيث يتم تجنب أوامر الغيار.
5. إجراء دراسات مماثلة على أنواع مختلفة أخرى من المشاريع الإنسانية للتنبؤ بعدد أيام التوقف عن العمل.
6. إجراء دراسة تنبؤية حول كلف مشاريع المدارس بالاعتماد على نفس هذه البيانات المتوفرة مع اخذ نسبة التضخم بعين الاعتبار .

المصادر : References

- [1] MOP, "Synopsis of National Development Plan" Issued by Ministry of Planning and Developing Cooperation (In Arabic), (2013-2017).
- [2] Akram, S., et al., "Manual Delays and Disruptions in Construction Projects) , Warsaw, Ankara, Ascot, Mondavio Lifelong Learning Program, (2012).



- for business”, 5th edition, Pearson Education Limited, England, Pp.160 Available at: www.pearsoned.co.uk, ISBN 978-0-273-73947-0, (2011).
- [14] Willmott, C. & Matsuura, K. “Advantages of the mean absolute error (MAE) over the root mean square error (RMSE) in assessing average model performance”, Climate Research, Volume 30, p. 79–82, (2005).
- [15] Vagias, Wade M., “Likert-type scale response anchors” Clemson International Institute for Tourism & Research Development, Department of Parks, Recreation and Tourism Management, Clemson University. South Carolina, USA, (2006).
- [16] Samprit Chatterjee and Ali S. Hadi, “Regression Analysis by Example”, Fourth Edition, John Wiley & Sons, Inc, (2006).
- [17] Memon, A. H., “Structural Modeling of Cost Overrun Factors in Construction Industry”, PhD dissertation, faculty of Civil and Environmental Engineering, University Tun Hussein Onn Malaysia, (2013).
- University of Liverpool: UK, (2002).
- [11] Mondragon, P.F., “A comparison of non-linear regression codes”, New Mexico Institute of Mining and Technology, (2003).
- [12] IBM, “IBM SPSS Regression 23”, IBM: USA. p. 42, (2014).
- [13] Waters, Donald, “Quantitative methods

الملحق (A): بيانات مدارس ذات 18 صف لمحافظة بغداد

No.	School Name	Year	CFS	CV	CD	CR	WS
1	Khawla Bint AlAzwr	2007	2.29E+08	8.64E+08	240	4	75
2	AlRawabi	2007	4.75E+08	9.89E+08	240	4	111
3	AlAdala	2007	5.22E+08	9.92E+08	240	5	100
4	AlGhzaliya	2008	4.57E+08	9.11E+08	240	3	125
5	AlShmus	2005	3.42E+08	7.41E+08	240	4	99
6	AlUkhaydir	2006	2.79E+08	8.27E+08	240	4	114
7	AlZubair	2005	1.24E+08	7.8E+08	240	4	67
8	Aum AlMuminin	2005	93722057	4.86E+08	240	4	77
9	Dhu AlNurain	2006	1.34E+08	7.16E+08	240	4	64

10	AlIkhlass	2007	89515205	1.02E+09	240	5	55
11	AlManar	2006	1.07E+08	9.21E+08	240	5	45
12	Dhahab AlAswad	2006	1.46E+08	8.53E+08	240	5	59
13	AlBilad	2011	1.06E+08	9.95E+08	360	2	80
14	Aweys AlQarani	2006	1.45E+08	6.95E+08	240	4	63
15	AlAmal	2005	40000000	8.29E+08	240	5	15
16	Sanaa	2006	2E+08	6.38E+08	240	4	65
17	AlBukhari	2010	2.45E+08	9.5E+08	360	3	65
18	AlThyir AlArabi	2005	1.96E+08	7.5E+08	240	4	52
19	AlAfaq	2008	1.5E+08	9.86E+08	240	5	44
20	AlMuthana	2011	2.31E+08	9.13E+08	360	2	30
21	Akad	2005	47000000	5.93E+08	240	5	35
22	AlBashir	2007	98257456	1E+09	240	4	45
23	AlAnhar	2005	55000000	7.83E+08	240	4	25
24	Ibn Rushd	2005	94210369	6.37E+08	240	5	34
25	AlNashat AlRiadi	2005	1.42E+08	6.39E+08	240	5	15
26	AlTasamuh	2005	1.71E+08	6.48E+08	240	5	30
27	AlKarnak	2004	45867777	5.24E+08	240	4	33
28	AlSaja	2005	60405201	6.05E+08	240	4	42
29	AlTassami	2006	1.07E+08	5.43E+08	240	3	55
30	Wadi AlRafidain	2004	40000000	5.27E+08	240	4	44
31	AlKawthar	2004	82452010	5.27E+08	240	3	36
32	Wahran	2005	43000000	5.81E+08	240	4	47

33	Fajr AlKhair	2004	44000000	5.25E+08	240	1	46
34	AlNoor	2005	84525620	5.9E+08	240	4	15
35	AlNile	2004	55000000	7.44E+08	240	5	70
36	AlSamaha	2005	1E+08	7.43E+08	240	1	55
37	AlSadrain	2005	55202444	4.9E+08	240	4	60
38	AlMaari	2004	90201250	6.05E+08	240	1	21
39	Badr	2005	1.85E+08	6.05E+08	240	2	30
40	Rusafa AlAwala	2005	91254588	5.65E+08	240	2	30
41	Hittin	2004	39045860	5.65E+08	240	2	35
42	Syd AlShuhada	2005	50000000	5.9E+08	240	5	10
43	Ibn Aqeel	2006	4.1E+08	8.27E+08	240	4	72
44	Ayimmat AlBaqie	2008	1.5E+08	7.48E+08	240	3	35
45	AlAnwar	2005	1.25E+08	5.24E+08	240	2	55
46	Ruqaih	2006	2.02E+08	5.67E+08	240	5	68
47	AlSaqiah	2006	4E+08	8.23E+08	240	4	71
48	AlIthad	2006	1.54E+08	8.28E+08	240	4	57
49	Hussien AlZubaidi	2005	2.46E+08	6.04E+08	240	5	72
50	AlBaraem	2006	1.03E+08	5.85E+08	240	4	75
51	Aisha	2008	2.55E+08	9.84E+08	240	5	60
52	AllIsra	2005	75125680	9.72E+08	240	4	40
53	Ur	2005	1E+08	7.67E+08	240	3	67
54	Ibn Majid	2005	92520660	5.9E+08	240	2	55
55	AllIntifada	2005	1.11E+08	6.33E+08	240	5	29



56	AlRuia	2005	2.02E+08	8.3E+08	240	4	37
57	AlShabab	2008	4.75E+08	9.89E+08	240	4	111
58	AlNidhal	2007	4.1E+08	8.27E+08	240	4	72
59	AlRumaila	2010	45867777	5.24E+08	240	4	33
60	Sidrat AlMuntaha	2005	88152000	4.74E+08	240	5	66
61	AlMasrah	2005	56782103	4.28E+08	240	5	35
62	AlGhassassana	2007	1E+08	5.08E+08	240	1	30
63	Imam Shafii	2005	59483216	4.11E+08	240	5	16
64	AlMasar	2005	50786123	4.03E+08	240	2	20

الملحق (B)^b

It- eration Num- ber ^a	Residual Sum of Squares b0	Parameter									
		b1	b2	b3	b4	b5	b6	b7	b8	b9	b10
1.0	6.13E+38	3.000	1.400E-5	4.100E-7	9.400E-8	20.000	6.400E-5	8.700E-8	26.000	30.000	16.000
1.1	2.18E+22	3.000	1.400E-5	4.828E-7	3.542E-16	20.000	6.400E-5	1.838E-8	26.000	30.000	16.000
2.0	2.18E+22	3.000	1.400E-5	4.828E-7	3.542E-16	20.000	6.400E-5	1.838E-8	26.000	30.000	16.000
2.1	4482921	-4.911-	4.312E-6	7.322E-15	-6.038E-24	98.556	5.212E-7	-1.036E-16	-103.105-	40.561	39.745
3.0	4482921	-4.911-	4.312E-6	7.322E-15	-6.038E-24	98.556	5.212E-7	-1.036E-16	-103.105-	40.561	39.745
3.1	12202.79	-449049.800-	2.109E-7	7.333E-16	1.297E-24	-7641124.436-	1.211E-7	8.762E-17	8090241.506	43.930	18.198
4.0	12202.791	-449049.800-	2.109E-7	7.333E-16	1.297E-24	-7641124.436-	1.211E-7	8.762E-17	8090241.506	43.930	18.198
4.1	12203.371	-7665500.764-	2.087E-7	7.306E-16	1.300E-24	7949562.858	1.173E-7	8.523E-17	-283994.771-	45.815	18.821
4.2	12202.566	-6008230.263-	2.084E-7	7.292E-16	1.298E-24	-2171413.075-	1.175E-7	8.535E-17	8179710.465	45.385	18.685
5.0	12202.566	-6008230.263-	2.084E-7	7.292E-16	1.298E-24	-2171413.075-	1.175E-7	8.535E-17	8179710.465	45.385	18.685
5.1	12201.528	-3296811.765-	2.124E-7	7.440E-16	1.312E-24	-3420035.941-	1.262E-7	9.067E-17	6716917.033	44.428	18.388
6.0	12201.528	-3296811.765-	2.124E-7	7.440E-16	1.312E-24	-3420035.941-	1.262E-7	9.067E-17	6716917.033	44.428	18.388
6.1	12201.773	-4131713.928-	2.125E-7	7.424E-16	1.309E-24	634979.389	1.286E-7	9.226E-17	3496804.738	44.438	18.383
6.2	12201.782	-3710254.593-	2.123E-7	7.412E-16	1.307E-24	-1411995.287-	1.288E-7	9.243E-17	5122320.213	44.491	18.405
6.3	12201.790	-3496483.920-	2.121E-7	7.406E-16	1.306E-24	-2450252.409-	1.290E-7	9.252E-17	5946806.728	44.519	18.416
6.4	12201.795	-3389153.891-	2.121E-7	7.403E-16	1.306E-24	-2971540.780-	1.290E-7	9.257E-17	6360765.104	44.532	18.422

Derivatives are calculated numerically ^b

a. Major iteration number is displayed to the left of the decimal, and minor iteration number is to the right of the decimal.

b. Run stopped after 27 model evaluations and 6 derivative evaluations because the relative reduction between successive parameter estimates is at most PCON = 1.00E-008.